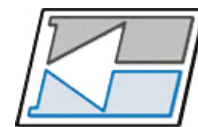


**INSTITUTO FEDERAL DE SANTA CATARINA**  
**Departamento Acadêmico de Eletrônica**  
**Pós-Graduação em Desenvolvimentos de Produtos Eletrônicos**  
**Conversores Estáticos e Fontes Chaveadas**



## Avaliação Final

Conversores CA-CC-CC - Flyback

*Aluno:*

Felipe Castoldi

*Professores:*

Clóvis Antônio Petry, Dr. Eng.

Mauro Tavares Peraça, Dr. Eng.

Florianópolis, 02 de Dezembro de 2009

## SUMARIO

<b>SUMARIO</b> .....	<b>2</b>
<b>LISTA DE FIGURAS</b> .....	<b>5</b>
<b>1. INTRODUÇÃO</b> .....	<b>7</b>
<b>2. DESENVOLVIMENTO</b> .....	<b>8</b>
<b>2.1 Especificações do Projeto</b> .....	<b>8</b>
2.1.1 Considerações preliminares para condições críticas .....	8
2.1.1.1 Potências de saída.....	8
<b>2.2 Diagrama de Blocos</b> .....	<b>9</b>
<b>2.3 Descrição do funcionamento da Fonte Chaveada</b> .....	<b>9</b>
<b>2.4 Projeto do Circuito Retificador, com filtro capacitivo</b> .....	<b>10</b>
2.4.1 Cálculo do capacitor de filtro .....	10
2.4.2 Cálculo dos diodos retificadores .....	11
<b>2.5 Projeto do Transformador</b> .....	<b>12</b>
2.5.1 Considerações iniciais .....	12
2.5.2 Escolha do Núcleo .....	12
2.5.3 Determinação do entreferro .....	13
2.5.4 Número de espiras do primário .....	13
2.5.5 Número de espiras do secundário .....	13
2.5.6 Cálculo das correntes envolvidas .....	14
2.5.7 Cálculo da profundidade de penetração.....	14
2.5.8 Área dos condutores do primário do transformador.....	15
2.5.9 Área dos condutores dos dois secundários do transformador .....	16
2.5.9.1 Cálculos referentes ao primeiro secundário do transformador .....	16
2.5.9.2 Cálculos referentes ao segundo secundário do transformador .....	16
2.5.10 Cálculo das perdas no transformador .....	17
2.5.10.1 No primário .....	17
2.5.10.2 Na primeira saída do secundário .....	17
2.5.10.3 Na segunda saída do secundário.....	17
2.5.10.4 Perdas totais no transformador .....	18
2.5.11 Cálculo do fator de ocupação .....	18
2.5.12 Determinação das indutâncias para simulação .....	18
<b>2.6 Projeto do Estágio de Potência</b> .....	<b>19</b>

---

2.6.1 Cálculo dos tempos envolvidos .....	19
2.6.2 Determinação dos capacitores da saída .....	19
2.6.2.1 Determinação do capacitor da primeira saída .....	19
2.6.2.2 Determinação do capacitor da segunda saída .....	20
2.6.3 Determinação da chave.....	20
2.6.3.1 Cálculos das perdas na chave .....	21
2.6.4 Determinação dos diodos de bloqueio.....	21
2.6.4.1 Determinação do diodo de bloqueio para saída a primeira saída .....	21
2.6.4.2 Determinação do diodo de bloqueio para saída a segunda saída.....	22
<b>2.7 Escolha do circuito integrado dedicado para o comando e controle do conversor</b> .....	<b>22</b>
<b>2.8 Projeto dos Circuitos de Comando, Controle e auxiliares.....</b>	<b>22</b>
2.8.1 Função de transferência do conversor Flyback em Malha Aberta .....	23
2.8.1.1 Diagramas de Bode da planta .....	23
2.8.2 Cálculo do controlador de 1 pólo .....	24
2.8.2.1 Função de transferência do controlador.....	25
2.8.2.2 Diagrama de Bode do sistema .....	25
2.8.2.3 Margem de fase .....	26
<b>2.9 Projeto de Circuitos Auxiliares .....</b>	<b>26</b>
2.9.1 Componentes auxiliares.....	26
2.9.2 Fonte auxiliar para partida.....	26
2.9.2.1 Controle da corrente de partida .....	27
<b>2.10 Lista de Componentes .....</b>	<b>28</b>
2.10.1 Resistores.....	28
2.10.2 Capacitores .....	28
2.10.3 Diodos.....	28
2.10.4 Transformador .....	29
2.10.5 Fios .....	29
2.10.6 Chave.....	29
2.10.7 Circuitos integrados.....	29
<b>2.11 Esquemático Completo .....</b>	<b>30</b>
<b>2.12 Resultados da Simulação .....</b>	<b>30</b>
2.12.1 Simulação em Malha Aberta .....	30
2.12.1.1 Com tensão mínima de entrada .....	30
2.12.1.2 Com tensão máxima de entrada.....	35
2.12.1.3 Com tensão média de entrada.....	40

---

2.12.2 Simulação em Malha Fechada.....	45
<b>3. CONCLUSÕES.....</b>	<b>48</b>
<b>4. REFERÊNCIAS .....</b>	<b>49</b>
<b>5. ANEXOS .....</b>	<b>50</b>
<b>5.1 Datasheet dos Diodos da ponte retificadora .....</b>	<b>51</b>
<b>5.2 Datasheet do Interruptor .....</b>	<b>53</b>
<b>5.3 Datasheet dos Diodos MUR810 e MUR805 .....</b>	<b>61</b>
<b>5.4 Datasheet do Circuito Integrado UC 3524.....</b>	<b>70</b>

**LISTA DE FIGURAS**

Figura 1 - Diagrama de Blocos.....	9
Figura 2 - Projeto do Circuito Retificador, com filtro capacitivo .....	10
Figura 3 - Tabela de Nucleos de Ferrite Tipo E .....	12
Figura 4 - Tabela de Fios Esmaltados .....	15
Figura 5 - Esquemático completo .....	30
Figura 6 - Circuito para simulação com tensão mínima de entrada em Malha Aberta .....	31
Figura 7 - Formas de onda da tensão de entrada e da tensão na saída do retificador com tensão mínima de entrada em Malha Aberta .....	31
Figura 8 - <i>Ripple</i> da forma de onda da tensão na saída do retificador com tensão mínima de entrada em Malha Aberta .....	32
Figura 9 - Ampliação das formas de onda das correntes em dois diodos retificadores e da corrente na chave, com tensão mínima de entrada em Malha Aberta .....	33
Figura 10 - Formas de onda das tensões e correntes nas duas saídas, com tensão mínima de entrada em Malha Aberta .....	34
Figura 11 - Circuito para simulação com tensão máxima de entrada em Malha Aberta.....	35
Figura 12 - Formas de onda da tensão de entrada e da tensão na saída do retificador com tensão máxima de entrada em Malha Aberta.....	36
Figura 13 - <i>Ripple</i> da forma de onda da tensão na saída do retificador com tensão máxima de entrada em Malha Aberta .....	37
Figura 14 - Ampliação das formas de onda das correntes em dois diodos retificadores e da corrente na chave, com tensão máxima de entrada em Malha Aberta .....	38
Figura 15 - Formas de onda das tensões e correntes nas duas saídas, com tensão máxima de entrada em Malha Aberta .....	39
Figura 16 - Circuito para simulação com tensão média de entrada em Malha Aberta.....	40
Figura 17 - Formas de onda da tensão de entrada e da tensão na saída do retificador com tensão média de entrada em Malha Aberta.....	41
Figura 18 - <i>Ripple</i> da forma de onda da tensão na saída do retificador com tensão média de entrada em Malha Aberta .....	42
Figura 19 - Ampliação das formas de onda das correntes em dois diodos retificadores e da corrente na chave, com tensão média de entrada em Malha Aberta.....	43
Figura 20 - Formas de onda das tensões e correntes nas duas saídas, com tensão média de entrada em Malha Aberta .....	44

---

Figura 21 - Formas de onda da tensão de entrada e da tensão na saída do retificador em Malha Fechada.....	45
Figura 22 - Formas de onda das correntes em dois diodos retificadores e da corrente na chave, em Malha Fechada.....	46
Figura 23 - Formas de onda das tensões e correntes nas duas saídas, em Malha Fechada .....	47

## 1. INTRODUÇÃO

O objetivo desta avaliação é projetar um Conversor Flyback, projetando o circuito retificador de entrada com filtro capacitivo, o transformador, os componentes do estágio de potência, o comando e o controle do conversor, simular o circuito no PSim utilizando os dados encontrados e analisar os dados obtidos através da simulação com os dados teóricos.

Para os cálculos serão utilizadas as metodologias apresentadas em sala de aula com a ajuda do *software* Mathcad.

O Conversor Flyback tem a finalidade de transformar a tensão alternada de 220 V da rede elétrica comercial em duas tensões contínuas independentes, uma de 15 V / 0,5 A e outra de 5 V / 1A.

A tensão da rede elétrica comercial entra em um circuito retificador com filtro capacitivo, que tem a finalidade de retificar a onda. Esta tensão retificada entra na fonte chaveada, transformando-a nas duas tensões requeridas. Todos estes passos serão discriminados, simulados e descritos no decorrer deste relatório.

Os componentes listados podem não ser as melhores escolhas, porém, para efeitos de aprendizado, condizem com a realidade.

## 2. DESENVOLVIMENTO

### 2.1 Especificações do Projeto

Foram dadas as seguintes especificações para este circuito:

Vac Universal = 85V a 265V eficazes

Vacmin:= 85 V	Vacmax:= 265 V	Fr := 60 Hz	Vout1 := 15 V	Iout1 := 0.5 A
Vout2 := 5 V	Iout2 := 1 A	$\Delta V_{outret} := 0.05 \text{ V (5\%)}$	Fcon := 5000 Hz	
Vd := 1 V	$\Delta V_{out} := 0.01 \text{ V (1\%)}$	Voutaux := 15 V	Ioutaux := 0.2 A	

$$V_{ac} := \frac{V_{acmax} + V_{acmin}}{2} \quad \boxed{V_{ac} = 175 \text{ V}}$$

$$\Delta V_{ac} := \left( \frac{V_{acmax}}{V_{ac}} \right) - 100 \quad \boxed{\Delta V_{ac} = 51.429 \%}$$

#### 2.1.1 Considerações preliminares para condições críticas

$\eta_{ret} := 0.9$       Rendimento do retificador

$\eta_{con} := 0.7$       Rendimento do conversor

##### 2.1.1.1 Potências de saída

$$P_{con1} := V_{out1} \cdot I_{out1} \quad \boxed{P_{con1} = 7.5 \text{ W}}$$

$$P_{con2} := V_{out2} \cdot I_{out2} \quad \boxed{P_{con2} = 5 \text{ W}}$$

$$P_{out1} := \frac{P_{con1}}{\eta_{con}} \quad \boxed{P_{out1} = 10.714 \text{ W}}$$

$$P_{out2} := \frac{P_{con2}}{\eta_{con}} \quad \boxed{P_{out2} = 7.143 \text{ W}}$$

$$P_{out} := P_{out1} + P_{out2} \quad \boxed{P_{out} = 17.857 \text{ W}}$$

$$P_{in} := \frac{P_{out}}{\eta_{ret}} \quad \boxed{P_{in} = 19.841 \text{ W}}$$

## 2.2 Diagrama de Blocos

Uma fonte chaveada pode ser representada pelo diagrama de blocos apresentado pela Figura 1 abaixo:

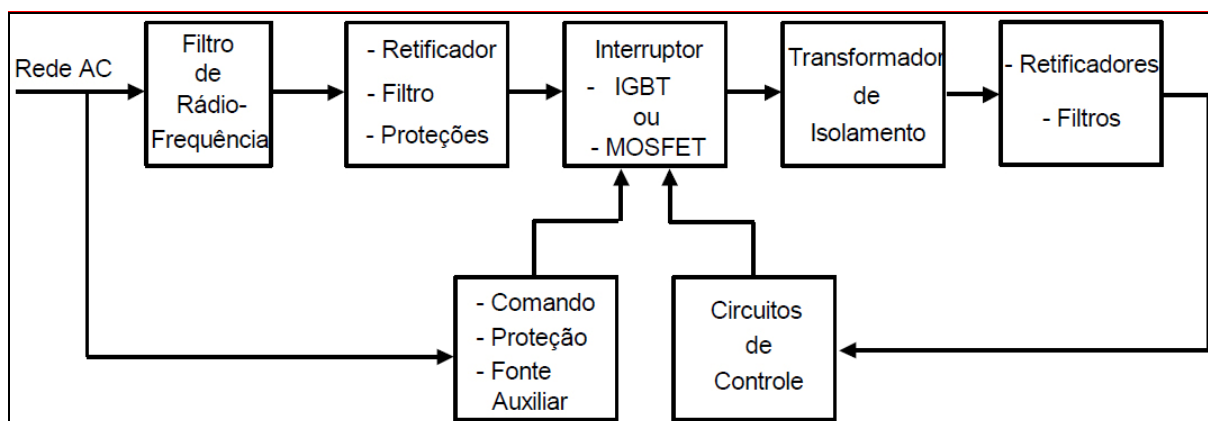


Figura 1 - Diagrama de Blocos

## 2.3 Descrição do funcionamento da Fonte Chaveada

A tensão alternada de 200 V é, primeiramente, transformada em tensão contínua através de um retificador de onda completa. Após esta transformação, ela é aplicada a um transformador Flyback, que converterá esta tensão em tensões de saída compatíveis com as especificadas pelo projeto, as quais são isoladas da rede elétrica por um transformador.

O conversor irá chavear a tensão gerando uma onda PWM, que utilizará uma realimentação em malha fechada para efetuar uma compensação das variações da rede elétrica, com o intuito de manter as tensões de saída constantes.

## 2.4 Projeto do Circuito Retificador, com filtro capacitivo

Foi projetado um circuito retificador com filtro capacitivo, mostrado pela Figura 2 abaixo:

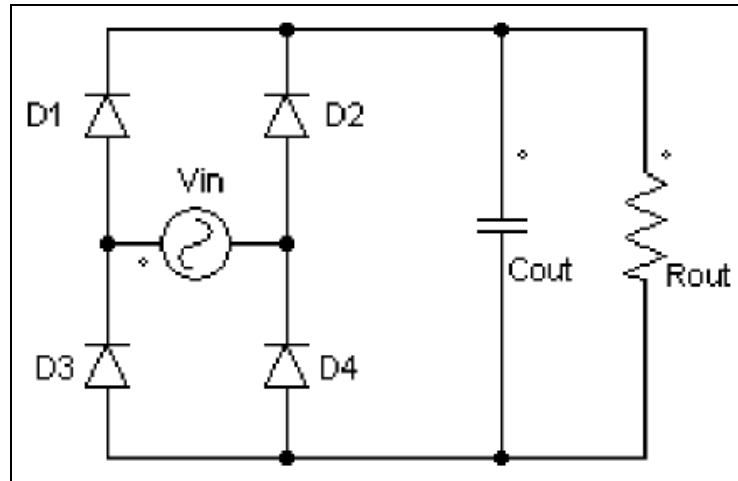


Figura 2 - Projeto do Circuito Retificador, com filtro capacitivo

### 2.4.1 Cálculo do capacitor de filtro

$$V_{cpkmin} := \sqrt{2} \cdot V_{acmin} - V_d \quad \boxed{V_{cpkmin} = 119.208 \text{ V}}$$

$$V_{cpkmax} := \sqrt{2} \cdot V_{acmax} - V_d \quad \boxed{V_{cpkmax} = 373.767 \text{ V}}$$

$$V_{cmin} := (1 - \Delta V_{outret}) \cdot V_{cpkmin} \quad \boxed{V_{cmin} = 113.248 \text{ V}}$$

$$\Delta V_c := V_{cpkmin} - V_{cmin} \quad \boxed{\Delta V_c = 5.96 \text{ V}}$$

$$C_{calc} := \frac{P_{in}}{F_r \cdot (V_{cpkmin}^2 - V_{cmin}^2)} \quad \boxed{C_{calc} = 2.387 \times 10^{-4} \text{ F}}$$

Valor comercial mais próximo do calculado:  $\boxed{C_{ret} := 270 \cdot 10^{-6} \text{ F}}$

$$V_{cmedmin} := \left(1 - \frac{\Delta V_{outret}}{2}\right) \cdot V_{cpkmin} \quad \boxed{V_{cmedmin} = 116.228 \text{ V}}$$

$$V_{cmedmax} := \left(1 - \frac{\Delta V_{outret}}{2}\right) \cdot V_{cpkma}; \quad \boxed{V_{cmedmax} = 364.422 \text{ V}}$$

Conforme cálculos, será utilizado um capacitor de 270 $\mu$ F de 400V.

#### 2.4.2 Cálculo dos diodos retificadores

$$t_c := \frac{\arccos\left(\frac{V_{cmin}}{V_{cpkmin}}\right)}{2 \cdot \pi \cdot Fr} \quad \boxed{t_c = 8.424 \times 10^{-4} \text{ s}}$$

$$I_{pkretcalc} := \frac{(C_{ret} \cdot \Delta V_{outret} \cdot V_{cpkmin})}{t_c} \quad \boxed{I_{pkretcalc} = 1.91 \text{ A}}$$

De acordo com Ivo Barbi em **Eletrônica de Potência: Projeto de Fontes Chaveadas**, deve-se considerar uma Corrente de Pico com o dobro da amplitude, portanto:

$$I_{pkret} := 2 \cdot I_{pkretcalc} \quad \boxed{I_{pkret} = 3.821 \text{ A}}$$

$$I_{efret} := I_{pkretcalc} \cdot \sqrt{2 \cdot t_c \cdot Fr - (2 \cdot t_c \cdot Fr)^2} \quad \boxed{I_{efret} = 0.576 \text{ A}}$$

$$I_{cmed} := \frac{P_{in}}{V_{cmin}} \quad \boxed{I_{cmed} = 0.175 \text{ A}}$$

$$I_{cef} := \sqrt{I_{efret}^2 + I_{cmed}^2} \quad \boxed{I_{cef} = 0.602 \text{ A}}$$

$$I_{dpk} := I_{pkret} \quad \boxed{I_{dpk} = 3.821 \text{ A}}$$

$$I_{def} := I_{dpk} \cdot \sqrt{t_c \cdot Fr} \quad \boxed{I_{def} = 0.859 \text{ A}}$$

$$I_{dmed} := \frac{P_{in}}{2 \cdot V_{cmin}} \quad \boxed{I_{dmed} = 0.088 \text{ A}}$$

$$V_{dmax} := \sqrt{2} \cdot V_{acma}; \quad \boxed{V_{dmax} = 374.767 \text{ V}}$$

Conforme cálculos, serão utilizados diodos de 1A / 400V para compor a ponte retificadora, cujo *datasheet* está disponível para consulta no Anexo 1.

## 2.5 Projeto do Transformador

### 2.5.1 Considerações iniciais

$$D_{\max} := 0.4 \quad J_{\max} := 400 \frac{\text{A}}{\text{cm}^2} \quad \Delta B := 0.25 \text{ T} \quad \mu_0 := 4 \cdot \pi \cdot 10^{-7} \frac{\text{H}}{\text{m}}$$

$$K_p := 0.5 \quad K_w := 0.4 \quad V_{\text{outaux}} := 15 \text{ V} \quad I_{\text{outaux}} := 0.2 \text{ A}$$

### 2.5.2 Escolha do Núcleo

$$A_e A_w := \frac{1.1 \cdot P_{\text{out}} \cdot 10^4}{K_p \cdot K_w \cdot J_{\max} \Delta B \cdot F_{\text{con}}} \quad A_e A_w = 0.196 \text{ cm}^4$$

De acordo com a tabela apresentada pela Figura 3 abaixo, o núcleo deste Transformador deverá ser o E-30/7, pois possui o  $A_e A_w$  ligeiramente superior ao calculado.

<b>NÚCLEOS DE FERRITE TIPO E</b>						
<i>Tabela 2</i>						
Núcleo	$A_e$ (cm <sup>2</sup> )	$A_w$ (cm <sup>2</sup> )	$l_e$ (cm)	$l_t$ (cm)	$v_e$ (cm <sup>3</sup> )	$A_e A_w$ (cm <sup>4</sup> )
E-20	0,312	0,26	4,28	3,8	1,34	0,08
E-30/7	0,60	0,80	6,7	5,6	4,00	0,48
E-30/14	1,20	0,85	6,7	6,7	8,00	1,02
E-42/15	1,81	1,57	9,7	8,7	17,10	2,84
E-42/20	2,40	1,57	9,7	10,5	23,30	3,77
E-55	3,54	2,50	1,2	11,6	42,50	8,85

Material: IP6  
 Temperatura Curie: > 160°C

$A_e$  - área de perna central;  
 $A_w$  - área da janela do carretel;  
 $l_e$  - comprimento magnético;  
 $l_t$  - comprimento médio de um espira;  
 $v_e$  - volume de ferrite;  
 $B_{\text{sat}}$  - 0,3 T (para 85°C);  
 $\mu_0 = 1$  (CGS) - permeabilidade do ar;  
 $= 4\pi \cdot 10^{-7}$  (SI);  
 $\mu_r = 3000$  (CGS) para  $B = 100\text{GAUSS}$  (0,1T).

Figura 3 - Tabela de Nucleos de Ferrite Tipo E

Fonte: Livro Eletrônica de Potência: Projeto de Fontes Chaveadas, de Ivo Barbi

Como apresentado na tabela da Figura 3, os dados deste Núcleo são:

$A_e := 0.60 \text{ cm}^2$	área da perna central
$A_w := 0.80 \text{ cm}^2$	área da janela do carretel
$l_e := 6.7 \text{ cm}$	comprimento magnético
$l_t := 5.6 \text{ cm}$	comprimento médio de uma espira
$V_e := 4 \text{ cm}^3$	volume do ferrite
$A_e \cdot A_w = 0.48 \text{ cm}^4$	

### 2.5.3 Determinação do entreferro

$$\Delta W := \frac{P_{out}}{\eta_{con} \cdot F_{con}} \quad \boxed{\Delta W = 5.102 \times 10^{-4} \text{ J}}$$

$$\delta := \frac{2 \cdot \mu_0 \cdot \Delta W}{\Delta B^2 \cdot A_e \cdot 10^{-4}} \quad \boxed{\delta = 3.419 \times 10^{-4} \text{ m}}$$

$$l_g := \frac{\delta}{2} \cdot 10^3 \quad \boxed{l_g = 0.171 \text{ mm}}$$

### 2.5.4 Número de espiras do primário

$$I_{pkp} := \frac{2 \cdot P_{out}}{\eta_{con} \cdot V_{cmedmin} \cdot D_{max}} \quad \boxed{I_{pkp} = 1.097 \text{ A}}$$

$$N_p := \text{ceil} \left( \frac{\Delta B \cdot \delta}{\mu_0 \cdot I_{pkp}} \right) \quad \boxed{N_p = 62 \text{ espiras}}$$

### 2.5.5 Número de espiras do secundário

$$N_{s1} := \text{ceil} \left[ N_p \cdot \frac{(V_{out1} + V_d) \cdot (1 - D_{max})}{V_{acmin} \cdot D_{max}} \right] \quad \boxed{N_{s1} = 18 \text{ espiras}}$$

$$N_{s2} := \text{ceil} \left[ N_p \cdot \frac{(V_{out2} + V_d) \cdot (1 - D_{max})}{V_{acmin} \cdot D_{max}} \right] \quad \boxed{N_{s2} = 7 \text{ espiras}}$$

## 2.5.6 Cálculo das correntes envolvidas

$$I_{efp} := I_{pkp} \cdot \sqrt{\frac{D_{max}}{3}} \quad I_{efp} = 0.401 \text{ A} \quad \text{Corrente eficaz no primário do transformador}$$

$$I_{pks1} := I_{pkp} \cdot \left( \frac{N_p}{N_{s1}} \right) \quad \boxed{I_{pks1} = 3.78 \text{ A}} \quad \text{Corrente de pico na primeira saída do transformador}$$

$$I_{efs1} := I_{pks1} \cdot \sqrt{\frac{1 - D_{max}}{F_{con}} \cdot \frac{F_{con}}{3}} \quad \boxed{I_{efs1} = 1.69 \text{ A}} \quad \text{Corrente eficaz na primeira saída do transformador}$$

$$I_{meds1} := \frac{P_{out1}}{V_{out1}} \quad \boxed{I_{meds1} = 0.714 \text{ A}} \quad \text{Corrente média na primeira saída do transformador}$$

$$I_{pks2} := I_{pkp} \cdot \left( \frac{N_p}{N_{s2}} \right) \quad \boxed{I_{pks2} = 9.72 \text{ A}} \quad \text{Corrente de pico na segunda saída do transformador}$$

$$I_{efs2} := I_{pks2} \cdot \sqrt{\frac{1 - D_{max}}{F_{con}} \cdot \frac{F_{con}}{3}} \quad \boxed{I_{efs2} = 4.347 \text{ A}} \quad \text{Corrente eficaz na segunda saída do transformador}$$

$$I_{meds2} := \frac{P_{out2}}{V_{out2}} \quad \boxed{I_{meds2} = 1.429 \text{ A}} \quad \text{Corrente média na segunda saída do transformador}$$

## 2.5.7 Cálculo da profundidade de penetração

A profundidade de penetração deve ser duplicada por 2 para que o cálculo seja para o diâmetro do condutor.

$$\Delta := 2 \cdot \left( \frac{7.5}{\sqrt{F_{con}}} \right) \quad \boxed{\Delta = 0.067 \text{ cm}}$$

De acordo com a tabela apresentada pela Figura 4 abaixo, o fio utilizado será o de espessura 22 AWG.

<b>TABELA DE FIOS ESMALTADOS</b>							
<i>Tabela 3</i>							
AWG	Diâmetro Cobre (cm)	Área Cobre (cm <sup>2</sup> )	Diâmetro Isolamento (cm)	Área Isolamento (cm <sup>2</sup> )	OHMS/CM 20 °C	OHMS/CM 100 °C	AMP. para 450A/cm <sup>2</sup>
10	0,259	0,052620	0,273	0,058572	0,000033	0,000044	23,679
11	0,231	0,041729	0,244	0,046738	0,000041	0,000055	18,778
12	0,205	0,033092	0,218	0,037309	0,000052	0,000070	14,892
13	0,183	0,026243	0,195	0,029793	0,000066	0,000080	11,809
14	0,163	0,020811	0,174	0,023800	0,000083	0,000111	9,365
15	0,145	0,016504	0,156	0,019021	0,000104	0,000140	7,427
16	0,129	0,013088	0,139	0,015207	0,000132	0,000176	5,890
17	0,115	0,010379	0,124	0,012164	0,000166	0,000222	4,671
18	0,102	0,008231	0,111	0,009735	0,000209	0,000280	3,704
19	0,091	0,006527	0,100	0,007794	0,000264	0,000353	2,937
20	0,081	0,005176	0,089	0,006244	0,000333	0,000445	2,329
21	0,072	0,004105	0,080	0,005004	0,000420	0,000561	1,847
22	0,064	0,003255	0,071	0,004013	0,000530	0,000708	1,465
23	0,057	0,002582	0,064	0,003221	0,000668	0,000892	1,162
24	0,051	0,002047	0,057	0,002586	0,000842	0,001125	0,921
25	0,045	0,001624	0,051	0,002078	0,001062	0,001419	0,731
26	0,040	0,001287	0,046	0,001671	0,001339	0,001789	0,579
27	0,036	0,001021	0,041	0,001344	0,001689	0,002256	0,459

Figura 4 - Tabela de Fios Esmaltados

Fonte: Livro Eletrônica de Potência: Projeto de Fontes Chaveadas, de Ivo Barbi

Como apresentado na tabela da Figura 4, os dados deste fio são:

$$A_{22} := 0.003255 \text{ cm}^2 \quad \rho_{22} := 0.000708 \frac{\Omega}{\text{cm}} \quad S_{22} := 0.004013 \text{ cm}^2$$

### 2.5.8 Área dos condutores do primário do transformador

$$S_p := \frac{I_{efp}}{J_{max}} \quad S_p = 1.002 \times 10^{-3} \text{ cm}^2$$

De acordo com a tabela da Figura 4, o fio escolhido para o primário do transformador é 25 AWG.

Os dados deste fio são:

$$A_{25} := 0.001624 \text{ cm}^2 \quad \rho_{25} := 0.001419 \frac{\Omega}{\text{cm}} \quad S_{25} := 0.002078 \text{ cm}^2$$

## 2.5.9 Área dos condutores dos dois secundários do transformador

## 2.5.9.1 Cálculos referentes ao primeiro secundário do transformador

$$S_{s1} := \frac{I_{efs1}}{J_{max}} \quad \boxed{S_{s1} = 4.226 \times 10^{-3} \text{ cm}^2}$$

De acordo com a tabela da Figura 4, deveria ser utilizado um fio de 21 AWG, mas como este fio é mais espesso que o determinado pela profundidade de penetração, será utilizado mais de um fio em paralelo, de outra bitola.

$$N_{fios1calc} := \frac{S_{s1}}{A_{24}} \quad \boxed{N_{fios1calc} = 1.298}$$

Para que se tenha um maior aproveitamento do fio, serão utilizados 2 fios em paralelo do AWG 24 – determinado pela tabela da Figura 4 –, pois:  $A_{24} := 0.00204 \text{ cm}^2$

$$N_{fios1calc24} := \frac{S_{s1}}{A_{24}} \quad N_{fios1calc24} = 2.065 \text{ . Arredondando, } \boxed{N_{fios1} := 2}, \text{ do Fio 24 AWG.}$$

Os dados deste fio são:

$$\underline{A_{24}} := 0.00204 \text{ cm}^2 \quad \rho_{24} := 0.00112 \frac{\Omega}{\text{cm}} \quad S_{24} := 0.00258 \text{ cm}^2$$

## 2.5.9.2 Cálculos referentes ao segundo secundário do transformador

$$S_{s2} := \frac{I_{efs2}}{J_{max}} \quad \boxed{S_{s2} = 0.011 \text{ cm}^2}$$

De acordo com a tabela da Figura 4, deveria ser utilizado um fio de 19 AWG, mas como este fio é mais espesso que o determinado pela profundidade de penetração, será utilizado mais de um fio em paralelo, de outra bitola.

$$N_{fios2calc} := \frac{S_{s2}}{A_{22}} \quad N_{fios2calc} = 3.339 \text{ , arredondando: } \boxed{N_{fios2} := 4}, \text{ do fio 22 AWG.}$$

Os dados deste fio são:

$$A_{22} := 0.00325 \text{ cm}^2 \quad \rho_{22} := 0.00070 \frac{\Omega}{\text{cm}} \quad S_{22} := 0.00401 \text{ cm}^2$$

## 2.5.10 Cálculo das perdas no transformador

## 2.5.10.1 No primário

$L_{fio} := l_t \cdot N_p$	$L_{fio} = 347.2 \text{ cm}$	Comprimento do fio
$V_{fio} := A_{25} \cdot L_{fio}$	$V_{fio} = 0.564 \text{ cm}^3$	Volume
$R_{fio} := N_p \cdot \rho_{25} \cdot l_t$	$R_{fio} = 0.493 \text{ } \Omega$	Resistência do condutor
$P_p := R_{fio} \cdot I_{efp}^2$	$P_p = 0.079 \text{ W}$	Perdas no condutor do primário

## 2.5.10.2 Na primeira saída do secundário

$L_{fio1} := l_t \cdot N_{s1} \cdot N_{fio1}$	$L_{fio1} = 201.6 \text{ cm}$	Comprimento do fio
$V_{fio1} := A_{24} \cdot L_{fio1}$	$V_{fio1} = 0.413 \text{ cm}^3$	Volume
$R_{fio1} := \frac{N_{s1} \cdot \rho_{24} \cdot l_t}{N_{fio1}}$	$R_{fio1} = 0.057 \text{ } \Omega$	Resistência do condutor
$P_{s1} := R_{fio1} \cdot I_{efs1}^2$	$P_{s1} = 0.162 \text{ W}$	Perdas no condutor do primário

## 2.5.10.3 Na segunda saída do secundário

$L_{fio2} := l_t \cdot N_{s2} \cdot N_{fio2}$	$L_{fio2} = 156.8 \text{ cm}$	Comprimento do fio
$V_{fio2} := A_{22} \cdot L_{fio2}$	$V_{fio2} = 0.51 \text{ cm}^3$	Volume
$R_{fio2} := \frac{N_{s2} \cdot \rho_{22} \cdot l_t}{N_{fio2}}$	$R_{fio2} = 6.938 \times 10^{-3} \text{ } \Omega$	Resistência do condutor
$P_{s2} := R_{fio2} \cdot I_{efs2}^2$	$P_{s2} = 0.131 \text{ W}$	Perdas no condutor do primário

## 2.5.10.4 Perdas totais no transformador

$$P_{tc} := P_p + P_{s1} + P_{s2} \quad \boxed{P_{tc} = 0.372 \text{ W}} \quad \text{Perdas totais nos condutores}$$

$$P_{\text{sofio}} := 8.96(V_{f1op} + V_{f1s1} + V_{f1s2}) \quad \boxed{P_{\text{sofio}} = 13.323 \text{ g}}$$

$$K_H := 4 \cdot 10^{-5}$$

$$K_E := 4 \cdot 10^{-10}$$

$$P_{\text{nucleo}} := (\Delta B)^{2.4} (K_H \cdot F_{\text{con}} + K_E \cdot F_{\text{con}}^2) \cdot V_e \quad \boxed{P_{\text{nucleo}} = 0.431 \text{ W}}$$

$$P_t := P_{\text{nucleo}} + P_{tc} \quad \boxed{P_t = 0.803 \text{ W}}$$

$$R_t := 23 \cdot (A_e \cdot A_w)^{-0.37} \quad \boxed{R_t = 30.176 \text{ }^\circ\text{C/W}} \quad \text{Resistência térmica do transformador}$$

$$\Delta t := P_t \cdot R_t \quad \boxed{\Delta t = 24.232 \text{ graus}} \quad \text{Elevação de temperatura}$$

## 2.5.11 Cálculo do fator de ocupação

$$A_{w_{\text{neces}}} := \frac{N_p \cdot S_{25} + N_{s1} \cdot S_{24} \cdot N_{fios1} + N_{s2} \cdot S_{22} \cdot N_{fios2}}{0.7} \quad \boxed{A_{w_{\text{neces}}} = 0.478 \text{ cm}^2}$$

$$K_{\text{ocup}} := \frac{A_{w_{\text{neces}}}}{A_w} \quad \boxed{K_{\text{ocup}} = 0.597}$$

Como o fator de ocupação é  $< 1$ , os condutores cabem no núcleo determinado previamente.

## 2.5.12 Determinação das indutâncias para simulação

$$L_{mp} := \frac{N_p \cdot \Delta B \cdot A_e \cdot 10^{-4}}{I_{pkp}} \quad \boxed{L_{mp} = 8.474 \times 10^{-4} \text{ H}} \quad \text{Indutância presente no condutor do primário}$$

$$L_{ms1} := \frac{N_{s1} \cdot \Delta B \cdot A_e \cdot 10^{-4}}{I_{pks1}} \quad \boxed{L_{ms1} = 7.143 \times 10^{-5} \text{ H}}$$

Indutância presente no condutor do primeiro secundário

$$L_{ms2} := \frac{N_{s2} \cdot \Delta B \cdot A_e \cdot 10^{-4}}{I_{pks2}} \quad \boxed{L_{ms2} = 1.08 \times 10^{-5} \text{ H}}$$

Indutância presente no condutor do segundo secundário

## 2.6 Projeto do Estágio de Potência

### 2.6.1 Cálculo dos tempos envolvidos

$$T := \frac{1}{F_{con}} \quad \boxed{T = 2 \times 10^{-5} \text{ s}}$$

$$T_{on} := D_{max} T \quad \boxed{T_{on} = 8 \times 10^{-6} \text{ s}}$$

$$T_{off} := T - T_{on} \quad \boxed{T_{off} = 1.2 \times 10^{-5} \text{ s}}$$

### 2.6.2 Determinação dos capacitores da saída

#### 2.6.2.1 Determinação do capacitor da primeira saída

$$\Delta V_{out1} := V_{out1} \cdot \Delta V_{outret} \quad \boxed{\Delta V_{out1} = 0.75 \text{ V}}$$

$$C_{out1calc} := \frac{I_{meds1} \cdot D_{max}}{F_{con} \cdot \Delta V_{out1}} \quad \boxed{C_{out1calc} = 7.619 \times 10^{-6} \text{ F}}$$

$$\boxed{C_{out1} := 10 \cdot 10^{-6} \text{ F}} \quad \text{valor comercial mais próximo}$$

$$RSE := \frac{\Delta V_{out1}}{I_{pks1}} \quad \boxed{RSE = 0.198 \text{ } \Omega}$$

Escolhe-se um capacitor de: 10 uF de 10 V, com  $RSE < 235 \text{ m}\Omega$

## 2.6.2.2 Determinação do capacitor da segunda saída

$$\Delta V_{out2} := V_{out2} \cdot \Delta V_{outret} \quad \boxed{\Delta V_{out2} = 0.25 \text{ V}}$$

$$C_{out2calc} := \frac{I_{meds2} \cdot D_{max}}{F_{con} \cdot \Delta V_{out2}} \quad \boxed{C_{out2calc} = 4.571 \times 10^{-5} \text{ F}}$$

$$\boxed{C_{out2} := 47 \cdot 10^{-6} \text{ F}} \quad \text{valor comercial mais próximo}$$

$$RSE := \frac{\Delta V_{out2}}{I_{pks1}} \quad \boxed{RSE = 0.066 \text{ } \Omega}$$

Conforme cálculos, será utilizado um capacitor de 47 $\mu$ F de 10V, com RSE < 78 m $\Omega$

## 2.6.3 Determinação da chave

$$I_{pkch} := I_{pkp} \quad \boxed{I_{pkch} = 1.097 \text{ A}} \quad \text{Corrente de pico na chave}$$

$$I_{efch} := \frac{V_{acmin}}{F_{con} \cdot L_{mp}} \cdot \sqrt{\frac{D_{max}^3}{3}} \quad \boxed{I_{efch} = 0.293 \text{ A}} \quad \text{Corrente eficaz na chave}$$

$$I_{medch} := \frac{V_{acmin} D_{max}^2}{2 \cdot F_{con} \cdot L_{mp}} \quad \boxed{I_{medch} = 0.16 \text{ A}} \quad \text{Corrente média na chave}$$

$$V_{maxch} := V_{acmax} + (V_{out1} + V_d) \cdot \frac{N_p}{N_{s1}} + (V_{out2} + V_d) \cdot \frac{N_p}{N_{s2}} \quad \boxed{V_{maxch} = 373.254 \text{ V}} \quad \text{Tensão}$$

máxima sobre a chave

Conforme cálculos, será utilizado o interruptor IRF 740D - 10A / 400V, cujo *datasheet* está disponível para consulta no Anexo 2.

Características da chave:

$$T_a := 45 \text{ } ^\circ\text{C} \quad R_{DSon} := 1.1 \text{ } \Omega \quad T_r := 120 \cdot 10^{-9} \text{ s}$$

$$R_{Sjc} := 1 \frac{\text{C}}{\text{W}} \quad T_j := 15 \text{ } ^\circ\text{C} \quad T_f := 140 \cdot 10^{-9} \text{ s}$$

## 2.6.3.1 Cálculos das perdas na chave

$$P_{chcond} := R_{DSon} \cdot I_{efch}^2 \quad \boxed{P_{chcond} = 0.094 \text{ W}} \quad \text{Perdas na chave por condução}$$

$$P_{chcom} := \frac{F_{con}}{2} \cdot (T_r + T_f) \cdot I_{pkch} \cdot V_{maxcl} \quad \boxed{P_{chcom} = 2.663 \text{ W}} \quad \text{Perdas na chave por comutação}$$

$$P_{cht} := P_{chcond} + P_{chcom} \quad \boxed{P_{cht} = 2.757 \text{ W}} \quad \text{Perdas totais na chave}$$

$$T_{cs} := T_j - P_{cht} \cdot R_{Sjc} \quad \boxed{T_{cs} = 147.243 \text{ }^\circ\text{C}}$$

$$R_{da} := \frac{T_j - T_a}{P_{cht}} - 1 \quad \boxed{R_{da} = 37.086 \frac{^\circ\text{C}}{\text{W}}} \quad \text{Não se faz necessário o uso de dissipador}$$

## 2.6.4 Determinação dos diodos de bloqueio

## 2.6.4.1 Determinação do diodo de bloqueio para saída a primeira saída

$$T_{o1} := \frac{L_{ms1} \cdot I_{pks1}}{V_{out1} + V_d} \quad \boxed{T_{o1} = 1.687 \times 10^{-5} \text{ s}} \quad \text{Instante em que a corrente no diodo da saída 1 se anula}$$

$$I_{pkd1} := I_{pks1} \quad \boxed{I_{pkd1} = 3.78 \text{ A}} \quad \text{Corrente de pico no diodo da saída 1}$$

$$I_{efd1} := I_{pks1} \cdot \sqrt{\frac{T_{o1}}{3 \cdot T}} \quad \boxed{I_{efd1} = 2.005 \text{ A}} \quad \text{Corrente eficaz no diodo da saída 1}$$

$$I_{medd1} := \frac{I_{pks1} \cdot T_{o1}}{2 \cdot T} \quad \boxed{I_{medd1} = 1.595 \text{ A}} \quad \text{Corrente média no diodo da saída 1}$$

$$V_{maxd1} := V_{out1} + V_{acmax} \frac{N_{s1}}{N_p} \quad \boxed{V_{maxd1} = 91.935 \text{ V}} \quad \text{Tensão máxima sobre o diodo da saída 1}$$

Conforme cálculos, será utilizado Diodo MUR810, que é para 100V / 8A, cujo *datasheet* está disponível para consulta no Anexo 3.

## 2.6.4.2 Determinação do diodo de bloqueio para saída a segunda saída

$$T_{o2} := \frac{L_{ms2} \cdot I_{pks2}}{V_{out2} + V_d}$$

$$T_{o2} = 1.75 \times 10^{-5} \text{ s}$$

Instante em que a corrente no diodo da saída 2 se anula

$$I_{pkd2} := I_{pks2}$$

$$I_{pkd2} = 9.72 \text{ A}$$

Corrente de pico no diodo da saída 2

$$I_{efd2} := I_{pks2} \cdot \sqrt{\frac{T_{o2}}{3 \cdot T}}$$

$$I_{efd2} = 5.249 \text{ A}$$

Corrente eficaz no diodo da saída 2

$$I_{medd2} := \frac{I_{pks2} \cdot T_{o2}}{2 \cdot T}$$

$$I_{medd2} = 4.253 \text{ A}$$

Corrente média no diodo da saída 2

$$V_{maxd2} := V_{out2} + V_{acmax} \frac{N_{s2}}{N_p}$$

$$V_{maxd2} = 34.919 \text{ V}$$

Tensão máxima sobre o diodo da saída 2

Conforme cálculos, será utilizado Diodo MUR805, que é para 50V / 8A, cujo *datasheet* está disponível para consulta no Anexo 3.

## 2.7 Escolha do circuito integrado dedicado para o comando e controle do conversor

Escolhido o circuito integrado UC 3524, cujo *datasheet* está disponível para consulta no Anexo 4.

## 2.8 Projeto dos Circuitos de Comando, Controle e auxiliares

$$V_{ref} := 5 \text{ V}$$

Dado do CI escolhido

$$R_{div1} := 100 \Omega$$

$$R_{div2} := R_{div1} \cdot \frac{(V_{outaux} - V_{ref})}{V_{ref}}$$

$$R_{div2} = 2 \times 10^3 \Omega$$

$$R_{out1} := \frac{V_{out1}}{I_{out1}}$$

$$R_{out1} = 30 \Omega$$

$$R_{out2} := \frac{V_{out2}}{I_{out2}} \quad \boxed{R_{out2} = 5 \ \Omega}$$

$$\boxed{V_s := 3.5 \text{ V}} \quad \text{Dado do UC 3524}$$

### 2.8.1 Função de transferência do conversor Flyback em Malha Aberta

$$\omega := 10, 100.. 10^6 \frac{\text{rad}}{\text{s}}$$

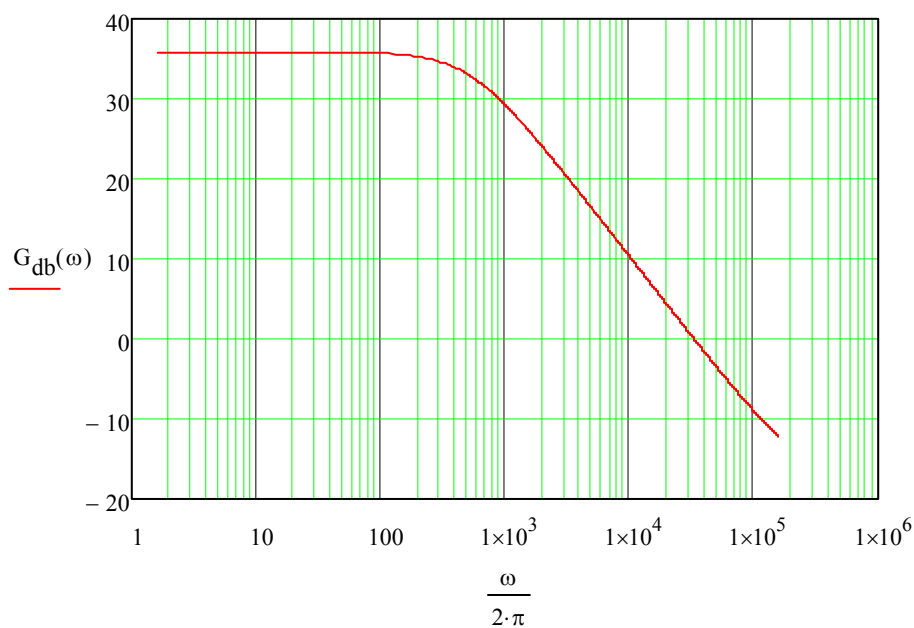
$$j := \sqrt{-1}$$

$$G(\omega) := \frac{V_{medmax}}{V_s \cdot \sqrt{\frac{2 \cdot L_{mp} \cdot F_{con}}{R_{out1}}}} \cdot \frac{(1 + j \cdot \omega \cdot R_{SE} \cdot C_{out1})}{(1 + j \cdot \omega \cdot R_{out1} \cdot C_{out1})}$$

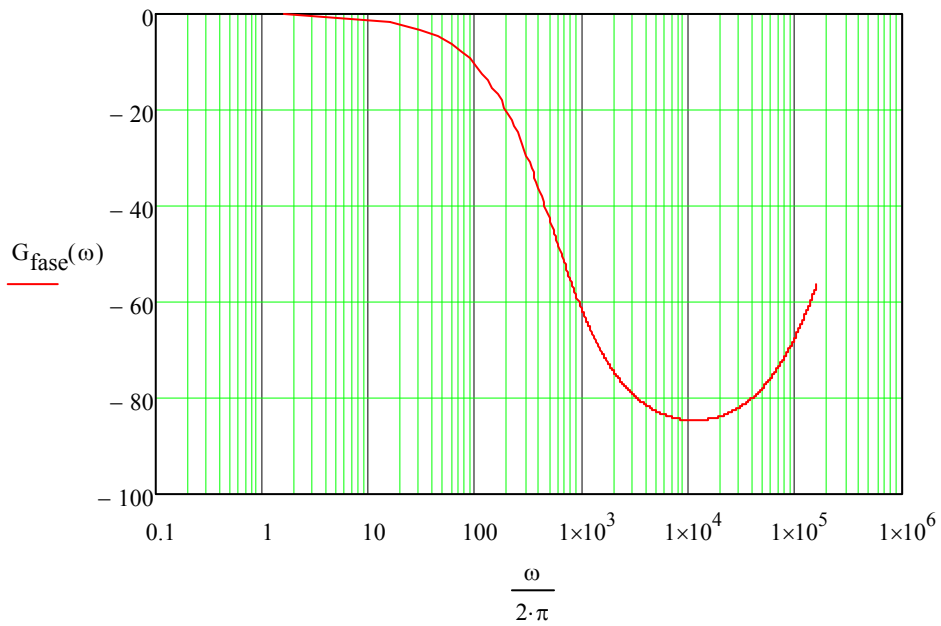
$$G_{db}(\omega) := 20 \cdot \log(|G(\omega)|)$$

$$G_{fase}(\omega) := \arg(G(\omega)) \cdot \frac{180}{\pi}$$

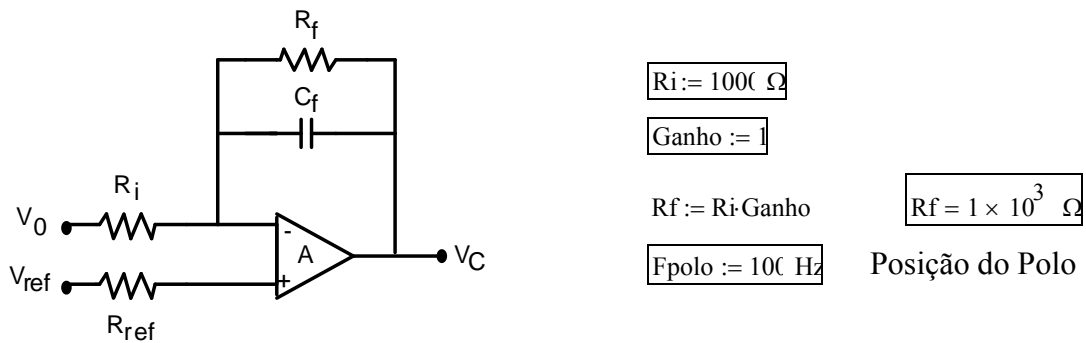
#### 2.8.1.1 Diagramas de Bode da planta



$$G_{db}(0) = 35.841$$



2.8.2 Cálculo do controlador de 1 pólo



$$C_{fcalc} := \frac{1}{2 \cdot \pi \cdot R_f \cdot F_{polo}} \quad \boxed{C_{fcalc} = 1.592 \times 10^{-6} \text{ F}}$$

$$\boxed{C_f := 1.8 \cdot 10^{-6} \text{ F}} \quad \text{valor comercial mais próximo}$$

Conforme cálculos, será utilizado um capacitor de 1.8 uF de 10 V, com RSE < 78 mΩ.

$$F_{corte} := \frac{F_{con}}{100} \quad \boxed{F_{corte} = 500 \text{ Hz}}$$

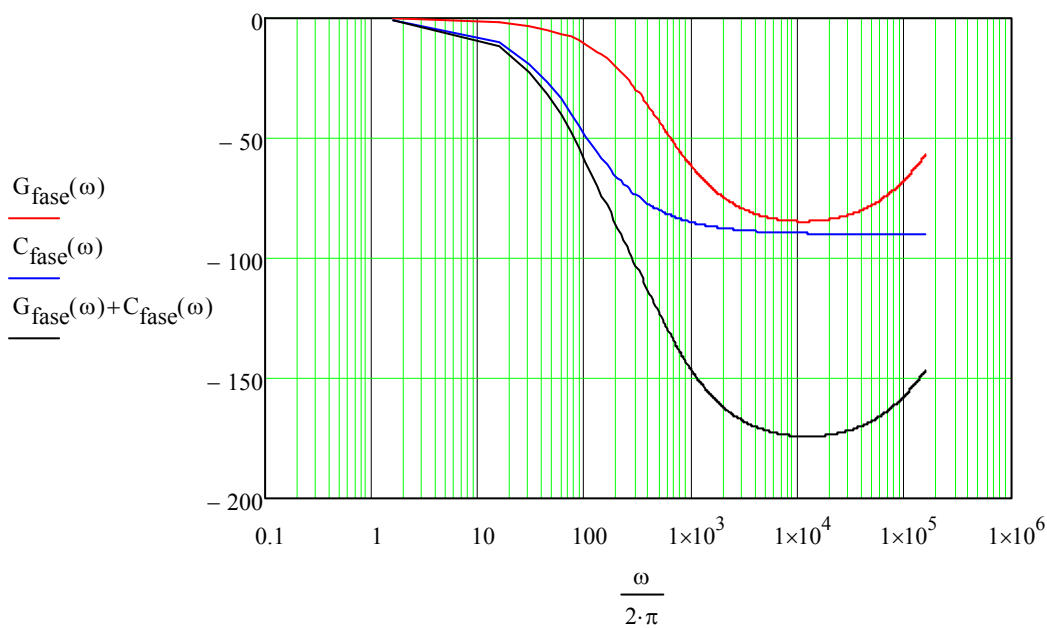
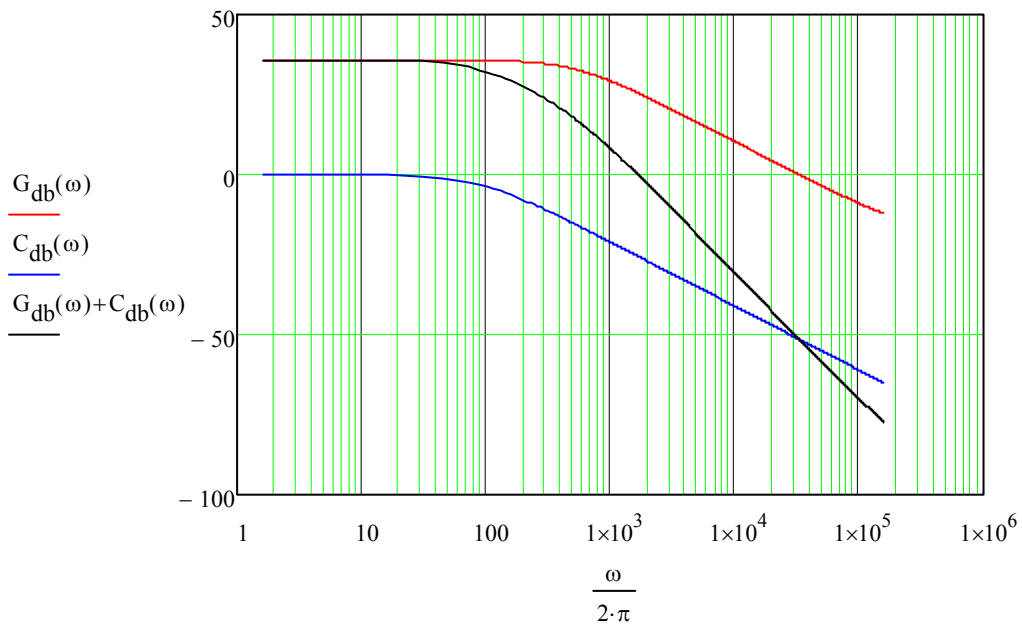
## 2.8.2.1 Função de transferência do controlador

$$C(\omega) := \frac{R_f}{R_i} \cdot \frac{1}{(1 + j \cdot \omega \cdot R_f \cdot C_f)}$$

$$C_{db}(\omega) := 20 \cdot \log(|C(\omega)|)$$

$$C_{fase}(\omega) := \arg(C(\omega)) \cdot \frac{180}{\pi}$$

## 2.8.2.2 Diagrama de Bode do sistema



## 2.8.2.3 Margem de fase

$$G_{\text{fase}}(2 \cdot \pi \cdot F_{\text{corte}}) = -43.185 \text{ graus}$$

$$C_{\text{fase}}(2 \cdot \pi \cdot F_{\text{corte}}) = -79.972 \text{ graus}$$

$$\text{MF} := 180 + (G_{\text{fase}}(2 \cdot \pi \cdot F_{\text{corte}}) + C_{\text{fase}}(2 \cdot \pi \cdot F_{\text{corte}})) \quad \text{MF} = 56.844 \text{ graus}$$

## 2.9 Projeto de Circuitos Auxiliares

## 2.9.1 Componentes auxiliares

$$R_T := 400 \Omega \quad \text{Dado do UC 3524}$$

$$C_T := 10 \cdot 10^{-9} \text{ F}$$

$$I_C := 0.1 \text{ A}$$

$$R_{on} := \frac{V_{outaux}}{I_C} \quad R_{on} = 150 \Omega$$

Conforme cálculos, será um resistor de pulldown de  $1000 \Omega$  e um zener de  $16 \text{ V} / 0,5 \text{ W}$ .

## 2.9.2 Fonte auxiliar para partida

$$V_{\text{partida}} := 12 \text{ V}$$

$$R_{\text{div3}} := 100 \Omega$$

$$R_{\text{div4}} := R_{\text{div3}} \cdot \frac{(V_{\text{medmax}} - V_{\text{partida}})}{V_{\text{partida}}} \quad R_{\text{div4}} = 2.937 \times 10^4 \Omega$$

$$I_{\text{div}} := \frac{V_{\text{medmax}}}{R_{\text{div3}} + R_{\text{div4}}} \quad I_{\text{div}} = 0.012 \text{ A}$$

$$PR_{div3} := R_{div3} \cdot I_{div}^2 \quad \boxed{PR_{div3} = 0.144 \text{ W}}$$

$$PR_{div4} := R_{div4} \cdot I_{div}^2 \quad \boxed{PR_{div4} = 4.229 \text{ W}}$$

$$V_{opartidamin} := \frac{V_{cmedmin} R_{div3}}{R_{div3} + R_{div4}} \quad \boxed{V_{opartidamin} = 3.827 \text{ V}}$$

Conforme cálculos, será um capacitor de: 100 uF / 25 V e um Diodo Zener de 12 V de 1 W.

$$I_{Zmax} := \frac{1}{12} \quad \boxed{I_{Zmax} = 0.083 \text{ A}}$$

$$I_{Zmin} := 0.1 \cdot I_{Zmax} \quad \boxed{I_{Zmin} = 8.333 \times 10^{-3} \text{ A}}$$

$$R_{smax} := \frac{V_{cmedmax} - V_{opartida}}{I_{Zmin}} \quad \boxed{R_{smax} = 4.229 \times 10^4 \ \Omega}$$

$$R_{smin} := \frac{V_{cmedmin} - V_{opartida}}{I_{Zmax}} \quad \boxed{R_{smin} = 1.251 \times 10^3 \ \Omega}$$

$$\boxed{R_s := 3300 \ \Omega}$$

$$P_{RS} := \frac{(V_{cmedmax} - V_{opartida})^2}{R_s} \quad \boxed{P_{RS} = 3.764 \text{ W}}$$

### 2.9.2.1 Controle da corrente de partida

$$\boxed{I_{dmax} := 30 \text{ A}}$$

$$R_{serie} := \frac{\sqrt{2} \cdot V_{acmax}}{I_{dmax}} \quad \boxed{R_{serie} = 12.492}$$

Será necessário usar termistor com resistência a frio maior que  $R_{serie}$ .

## 2.10 Lista de Componentes

Para a confecção da fonte chaveada será necessária a compra dos seguintes componentes.

### 2.10.1 Resistores

- 03 Resistores de  $1k\Omega$ ;
- 01 Resistor de  $2k\Omega$ ;
- 01 Resistor de  $30\Omega$ ;
- 01 Resistor de  $5\Omega$ ;
- 01 Resistor de  $33k\Omega$ ;

### 2.10.2 Capacitores

- 01 Capacitor de  $270\mu\text{F} / 400\text{V}$ ;
- 01 Capacitor de  $10\mu\text{F} / 10\text{V}$  com  $RSE < 235\text{m}\Omega$ ;
- 01 Capacitor de  $47\mu\text{F} / 10\text{V}$  com  $RSE < 78\text{m}\Omega$ ;
- 01 Capacitor de  $1,8 \mu\text{F} / 10 \text{ V}$  com  $RSE < 78\text{m}\Omega$ ;
- 01 Capacitor de  $100\mu\text{F} / 25\text{V}$ ;

### 2.10.3 Diodos

- 04 Diodos de  $1\text{A} / 400\text{V}$ ;
- 01 Diodo de  $100\text{V} / 8\text{A}$ , modelo MUR810;
- 01 Diodo de  $50\text{V} / 8\text{A}$ , modelo MUR805;
- 01 Diodo Zener de  $16 \text{ V} / 0,5 \text{ W}$ ;
- 01 Diodo Zener de  $12\text{V} / 1\text{W}$ ;

#### 2.10.4 Transformador

- 01 Transformador com 62 espiras no primário e dois secundários, de 18 e 07 espiras;
- 01 Núcleo E-30/7 de Ferrite para Transformador;

#### 2.10.5 Fios

- 5,1 m de Fio 22 AWG;
- 2,1 m de Fio 24 AWG;

#### 2.10.6 Chave

- 01 Chave de 10A / 400V, modelo IRF 740D;

#### 2.10.7 Circuitos integrados

- 01 CI UC 3524;

## 2.11 Esquemático Completo

A Figura 5 abaixo, mostra o esquemático completo da fonte chaveada.

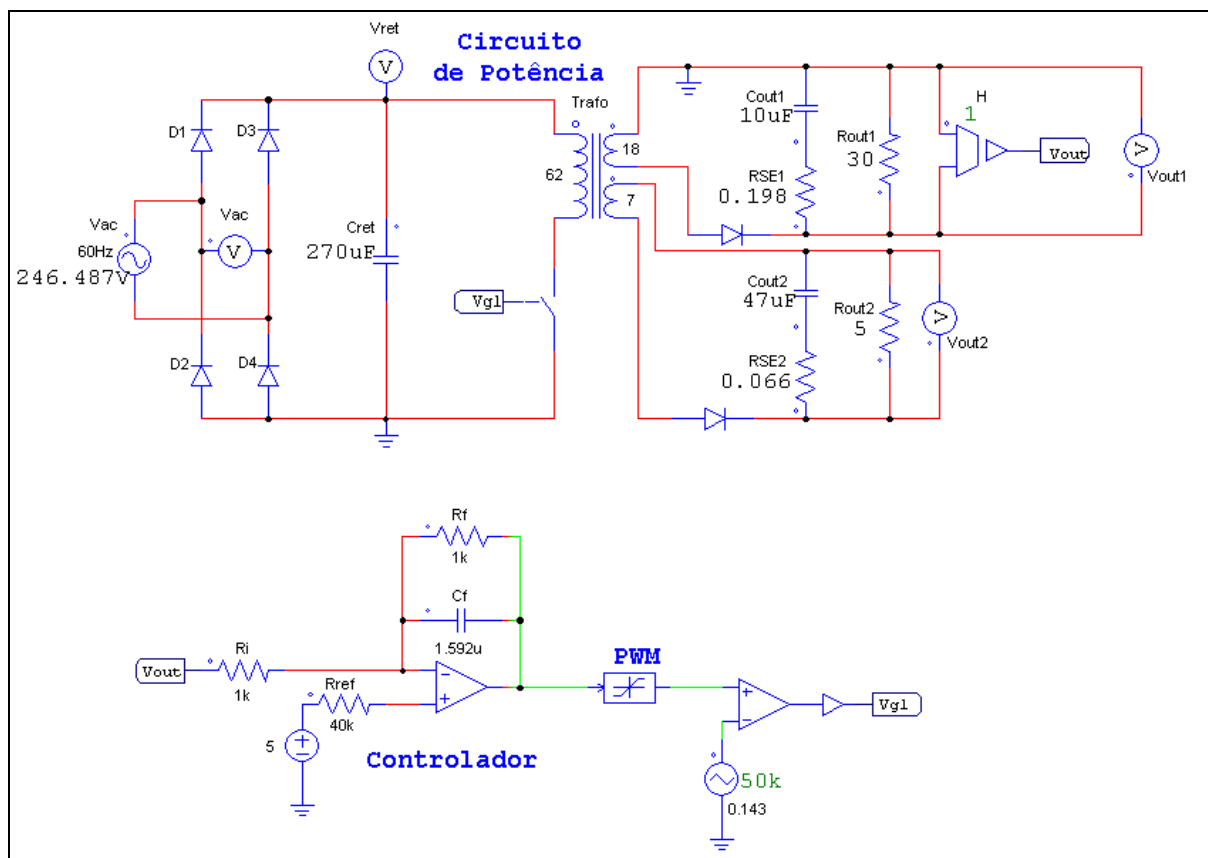


Figura 5 - Esquemático completo

## 2.12 Resultados da Simulação

### 2.12.1 Simulação em Malha Aberta

#### 2.12.1.1 Com tensão mínima de entrada

A Figura 6 abaixo mostra o circuito para simulação com tensão mínima de entrada, em Malha Aberta.

Para obter valores próximos aos determinados, foi necessário alterar a razão cíclica para 0,3.

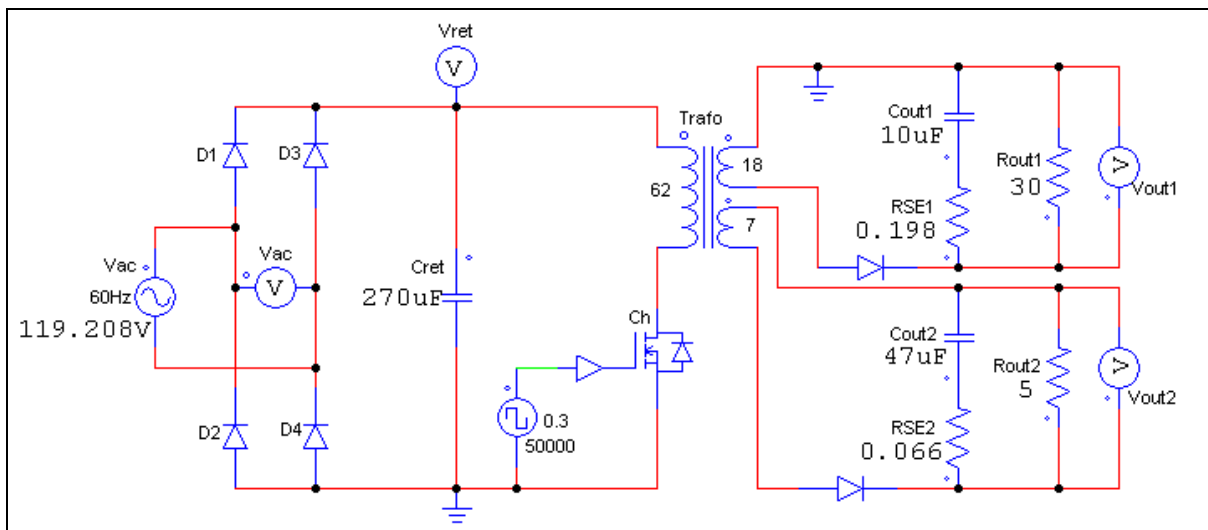


Figura 6 - Circuito para simulação com tensão mínima de entrada em Malha Aberta

A Figura 7 abaixo mostra as formas de onda da tensão de entrada e da tensão na saída do retificador em Malha Aberta.

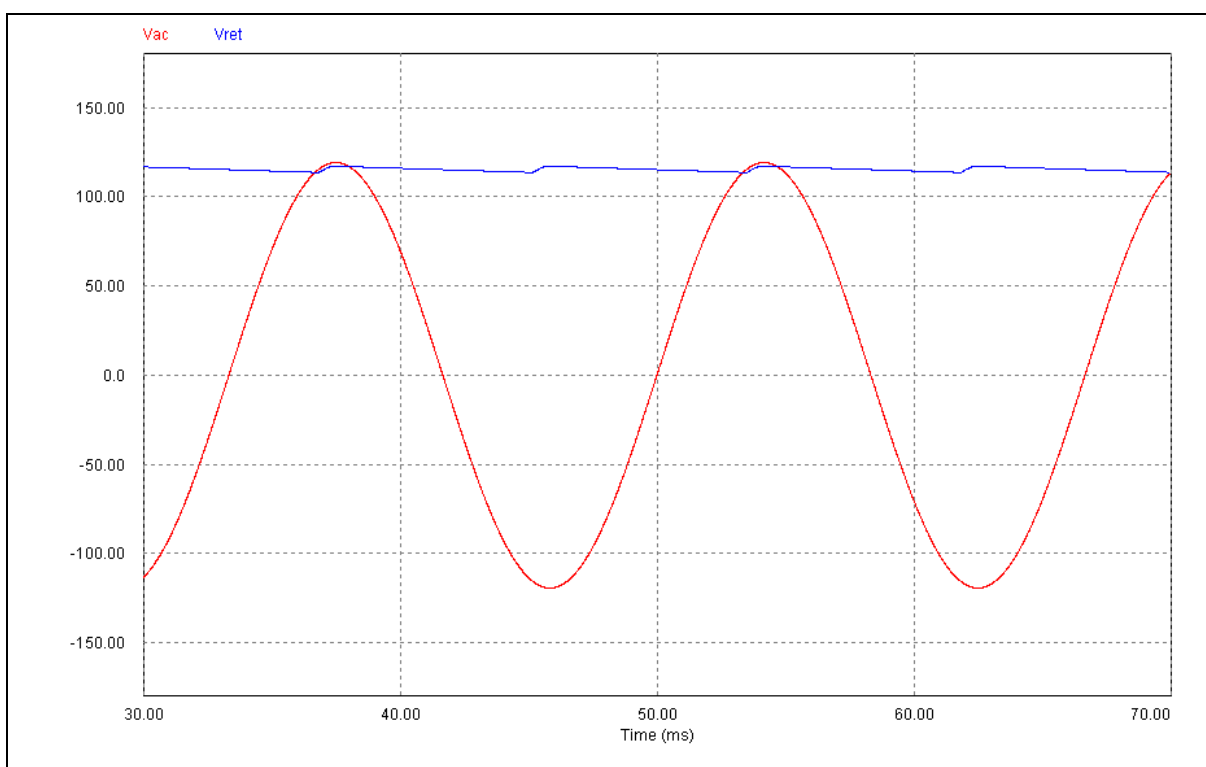


Figura 7 - Formas de onda da tensão de entrada e da tensão na saída do retificador com tensão mínima de entrada em Malha Aberta

A Figura 8 abaixo mostra o *ripple* da forma de onda da tensão na saída do retificador em Malha Aberta.

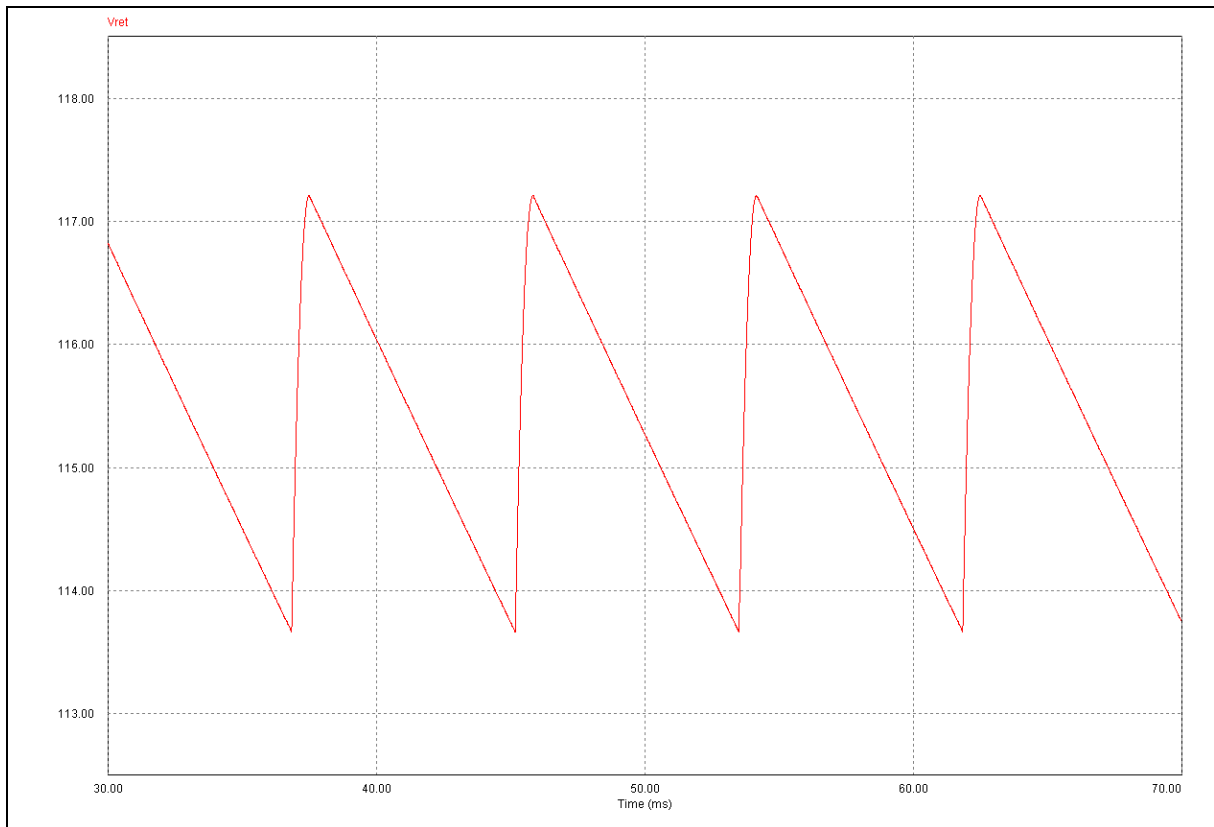


Figura 8 - *Ripple* da forma de onda da tensão na saída do retificador com tensão mínima de entrada em Malha Aberta

$$V_{ret \text{ máx}} = 117,208\text{V}$$

$$V_{ret \text{ min}} = 113,665\text{V}$$

$$V_{ret \text{ méd}} = 115,445\text{V}$$

A Figura 9 abaixo mostra, de forma ampliada, as formas de onda das correntes em dois diodos retificadores e da corrente na chave, com o circuito em Malha Aberta.

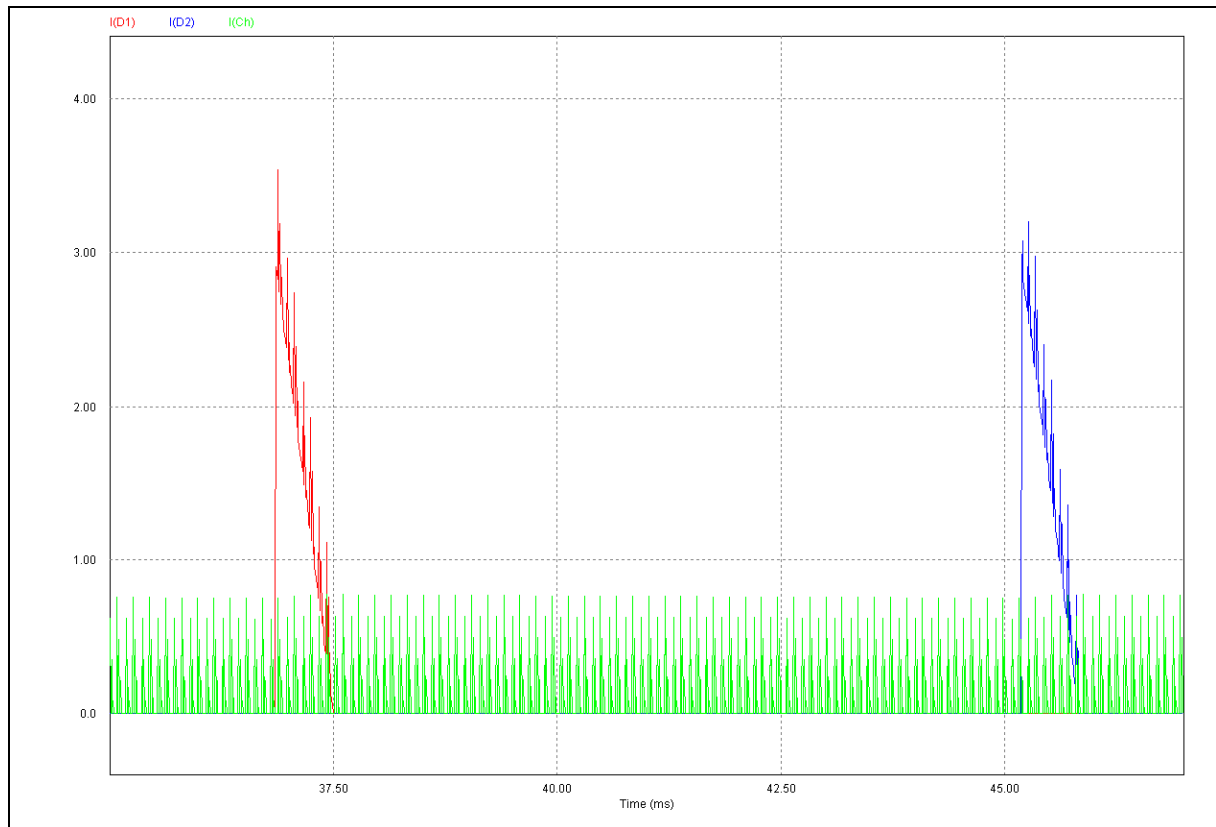


Figura 9 - Ampliação das formas de onda das correntes em dois diodos retificadores e da corrente na chave, com tensão mínima de entrada em Malha Aberta

$I_{d1} \text{ pk} = 3,535\text{A}$

$I_{d2} \text{ pk} = 3,20159\text{A}$

$I_{ch} \text{ pk} = 0,772303\text{A}$

$I_{ch} \text{ méd} = 0,126862\text{A}$

A Figura 10 abaixo mostra as formas de onda das tensões e correntes nas duas saídas, em Malha Aberta.

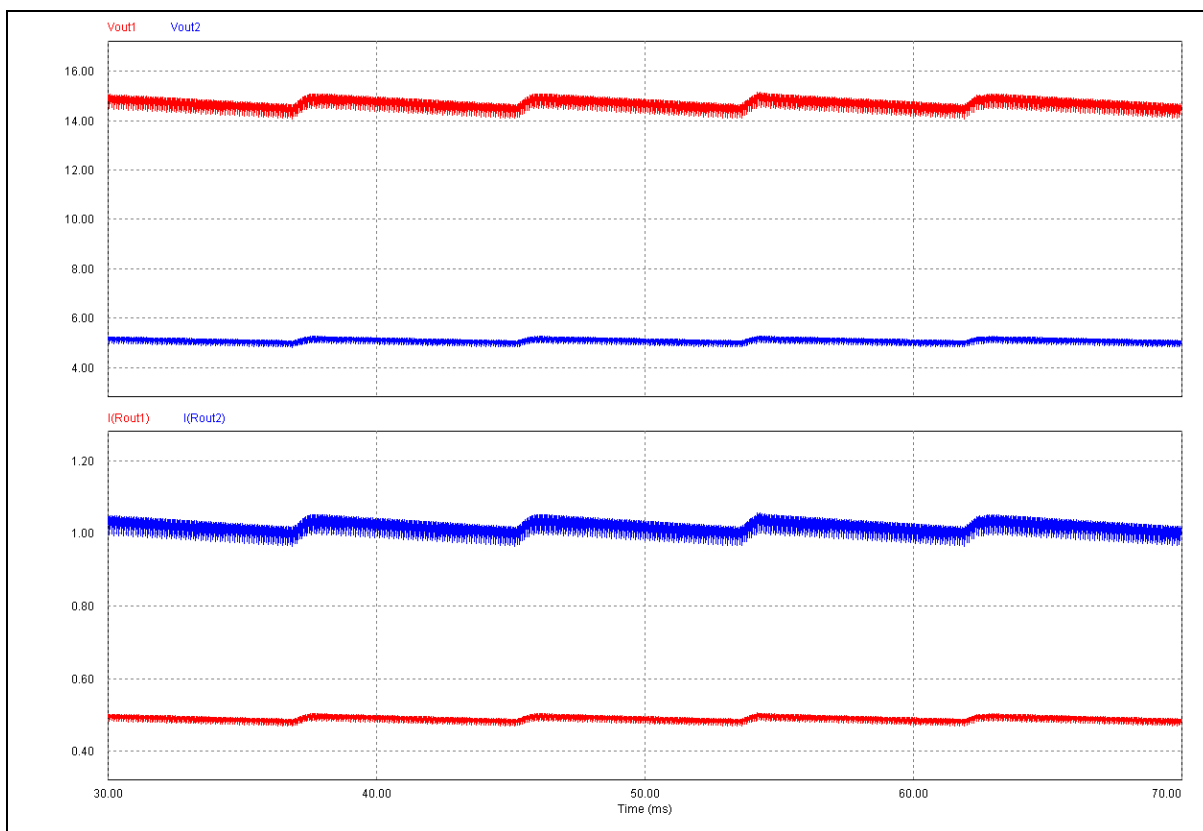


Figura 10 - Formas de onda das tensões e correntes nas duas saídas, com tensão mínima de entrada em Malha Aberta

Vout1 máx = 15,1572V

Vout1 min = 14,0823V

Vout1 méd = 14,67V

Vout2 máx = 5,28251V

Vout2 min = 4,8237V

Vout2 méd = 5,08114V

Iout1 máx = 0,505241A

Iout1 min = 0,469409A

Iout1 méd = 0,489001A

Iout2 máx = 1,0565A

Iout2 min = 0,964741A

Iout2 méd = 1,01623A

## 2.12.1.2 Com tensão máxima de entrada

A Figura 11 abaixo mostra o circuito para simulação com tensão máxima de entrada, em Malha Aberta.

Para obter valores próximos aos determinados, foi necessária alterar a razão cíclica para 0,094.

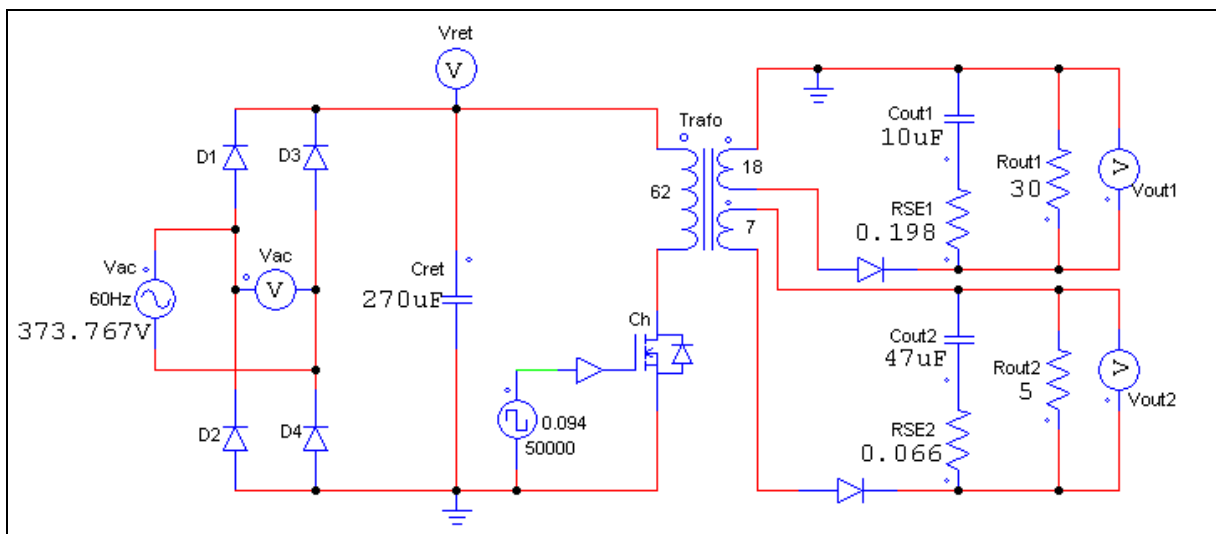


Figura 11 - Circuito para simulação com tensão máxima de entrada em Malha Aberta

A Figura 12 abaixo mostra as formas de onda da tensão de entrada e da tensão na saída do retificador em Malha Aberta.

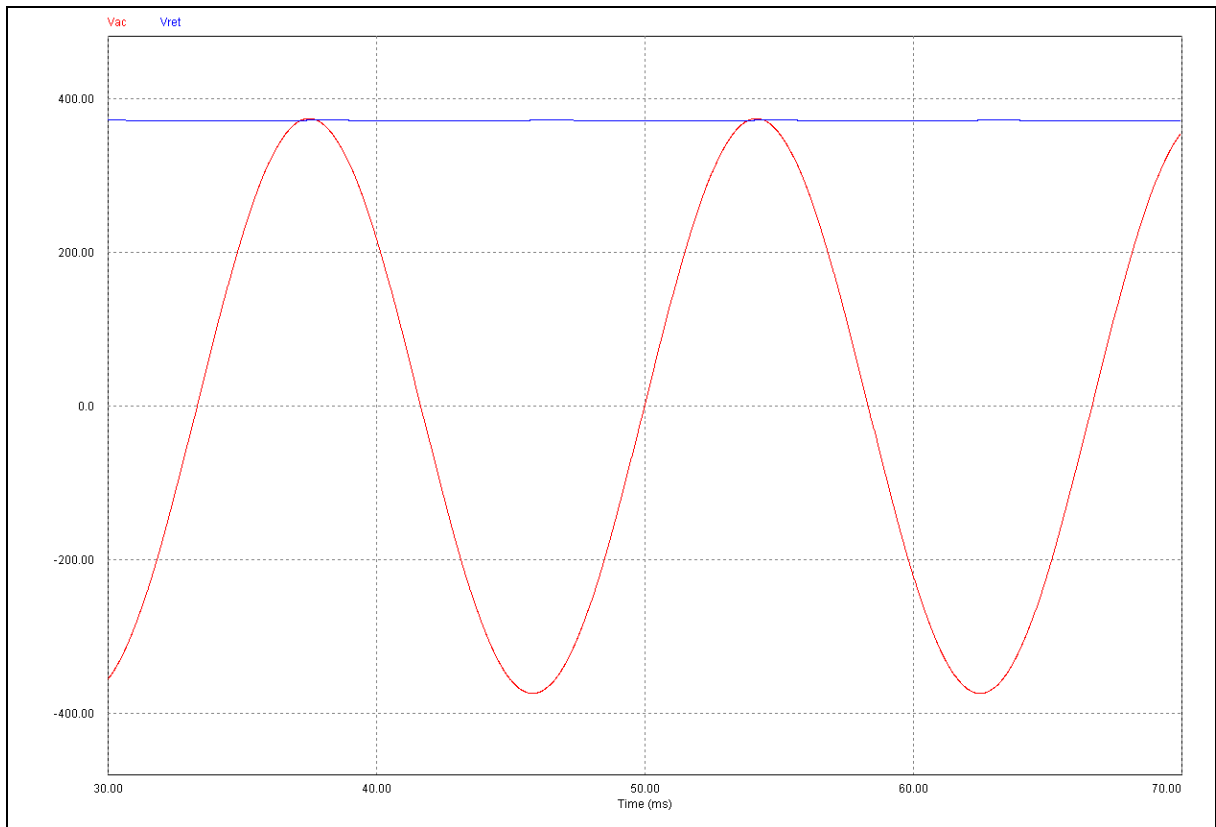


Figura 12 - Formas de onda da tensão de entrada e da tensão na saída do retificador com tensão máxima de entrada em Malha Aberta

A Figura 13 abaixo mostra o *ripple* da forma de onda da tensão na saída do retificador em Malha Aberta.

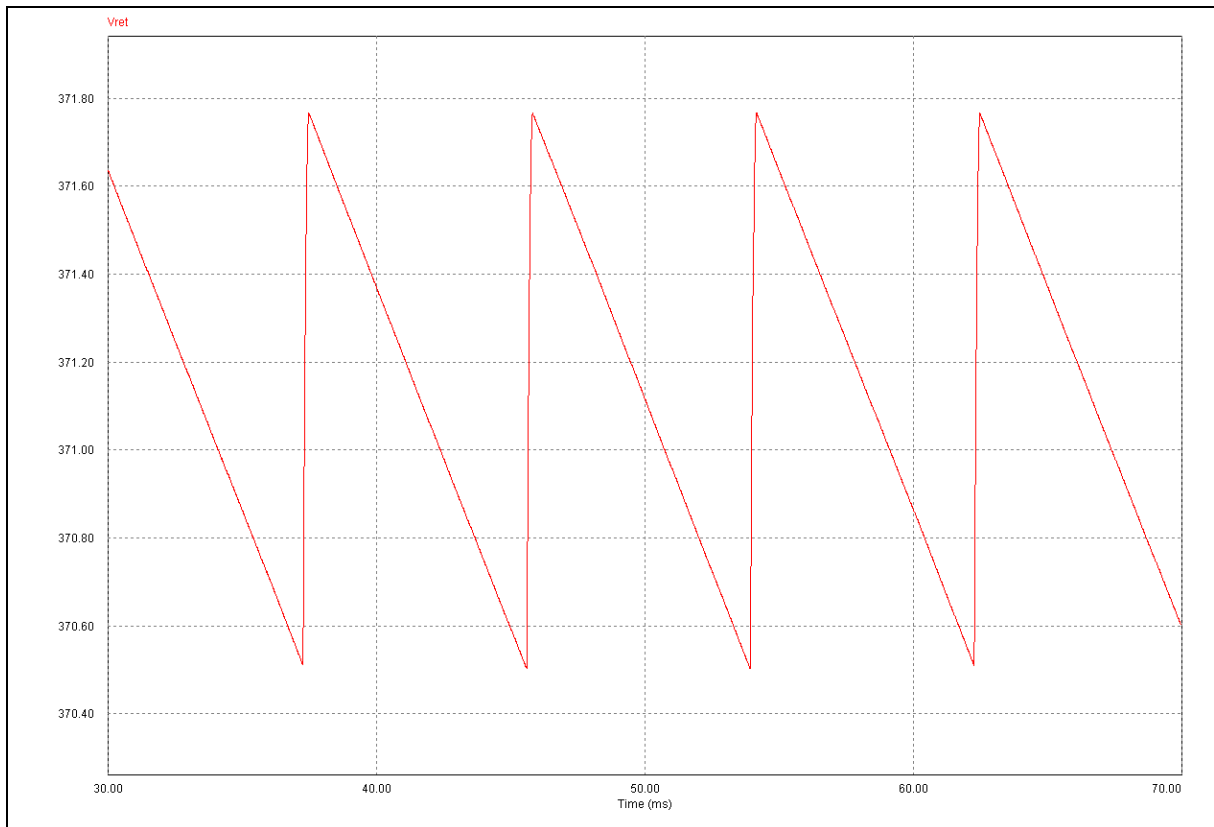


Figura 13 - *Ripple* da forma de onda da tensão na saída do retificador com tensão máxima de entrada em Malha Aberta

$$V_{ret \text{ máx}} = 371,767V$$

$$V_{ret \text{ min}} = 370,502V$$

$$V_{ret \text{ méd}} = 371,137V$$

A Figura 14 abaixo mostra, de forma ampliada, as formas de onda das correntes em dois diodos retificadores e da corrente na chave, com o circuito em Malha Aberta.

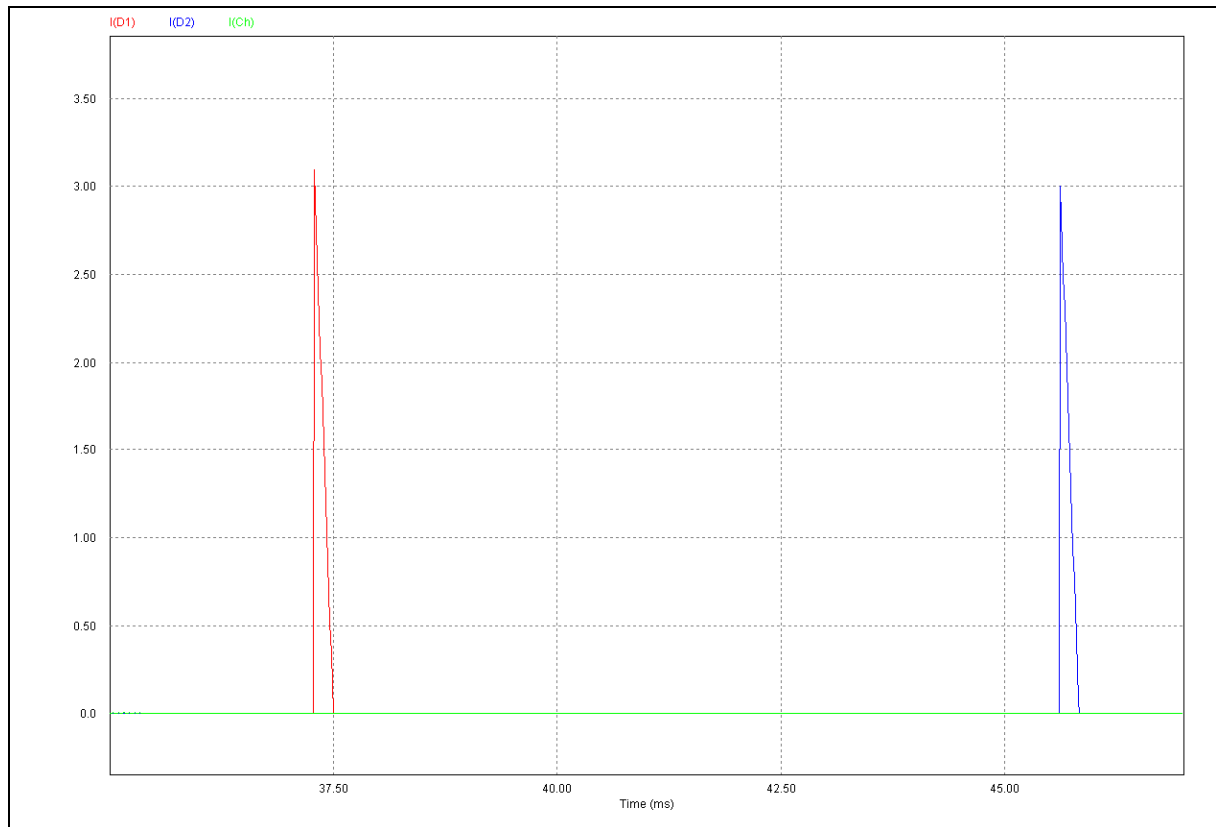


Figura 14 - Ampliação das formas de onda das correntes em dois diodos retificadores e da corrente na chave, com tensão máxima de entrada em Malha Aberta

$I_{D1} \text{ pk} = 3,09299\text{A}$

$I_{D2} \text{ pk} = 3,00368\text{A}$

A Figura 15 abaixo mostra as formas de onda das tensões e correntes nas duas saídas, em Malha Aberta.

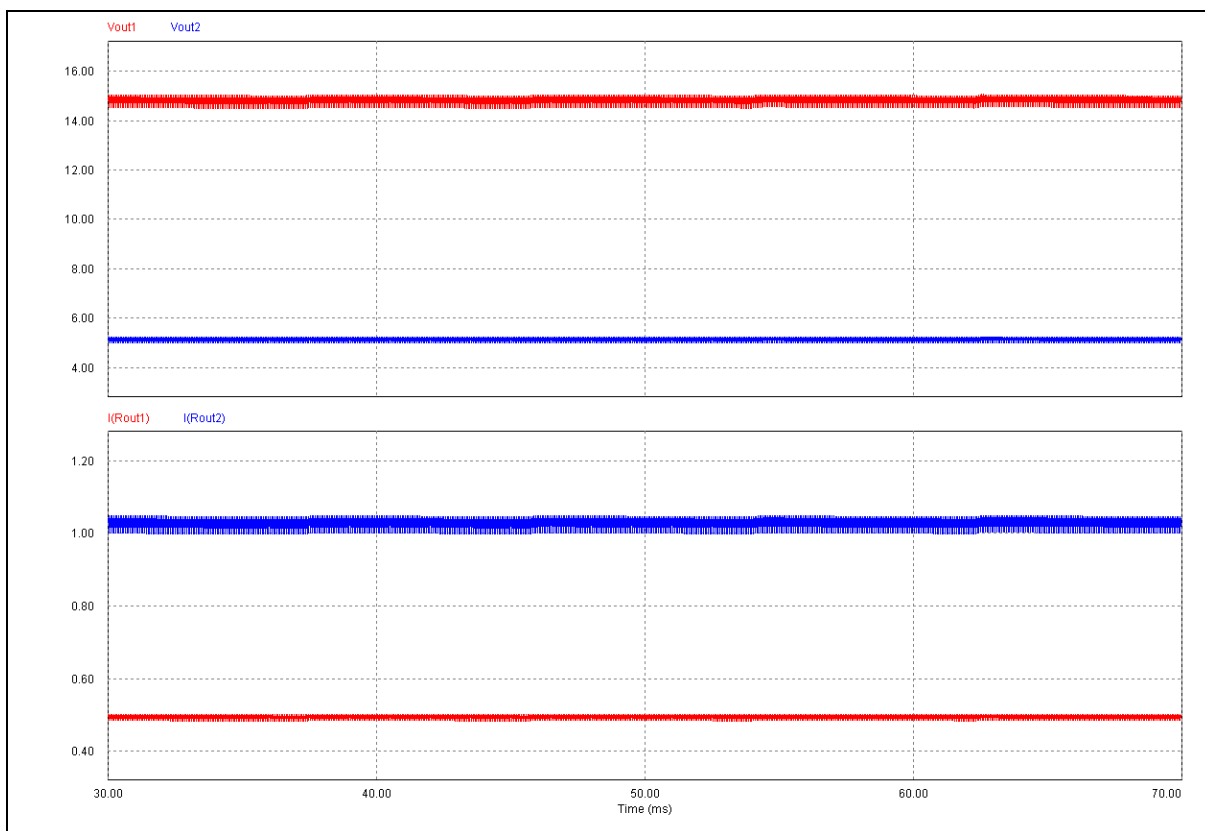


Figura 15 - Formas de onda das tensões e correntes nas duas saídas, com tensão máxima de entrada em Malha Aberta

Vout1 máx = 15,0612V

Vout1 min = 14,4934V

Vout1 méd = 14,8284V

Vout2 máx = 5,24536V

Vout2 min = 4,98722V

Vout2 méd = 5,14119V

Iout1 máx = 0,502042A

Iout1 min = 0,483114A

Iout1 méd = 0,49428A

Iout2 máx = 1,04907A

Iout2 min = 0,997444A

Iout2 méd = 1,02824A

## 2.12.1.3 Com tensão média de entrada

A Figura 16 abaixo mostra o circuito para simulação com tensão média de entrada, em Malha Aberta, para simular condições reais, e não extremas, da fonte.

Para obter valores próximos aos determinados, foi necessária alterar a razão cíclica para 0,143.

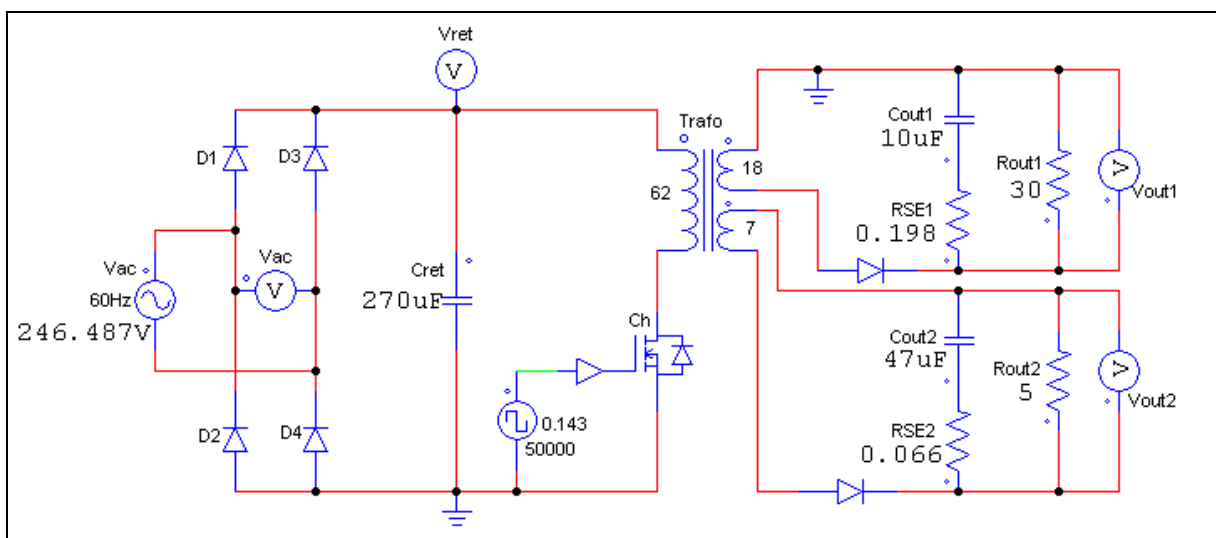


Figura 16 - Circuito para simulação com tensão média de entrada em Malha Aberta

A Figura 17 abaixo mostra as formas de onda da tensão de entrada e da tensão na saída do retificador em Malha Aberta.

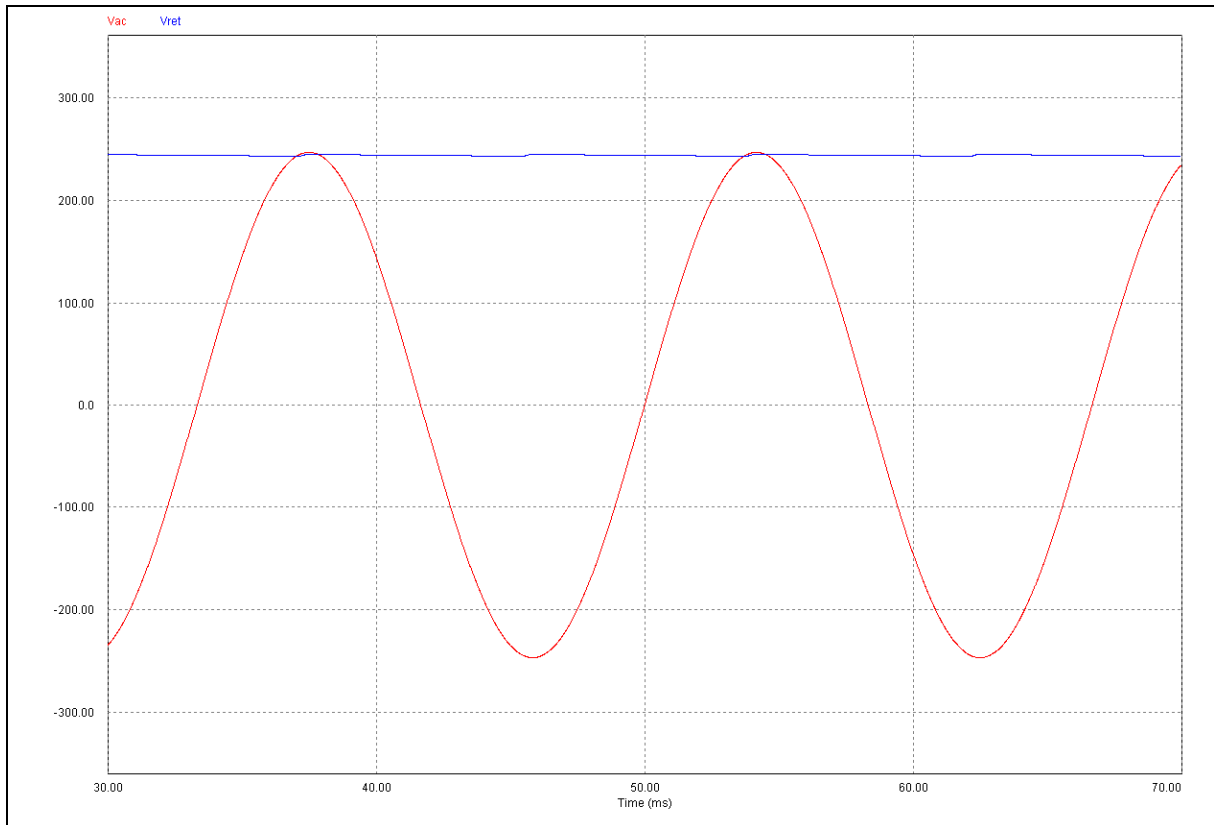


Figura 17 - Formas de onda da tensão de entrada e da tensão na saída do retificador com tensão média de entrada em Malha Aberta

A Figura 18 abaixo mostra o *ripple* da forma de onda da tensão na saída do retificador em Malha Aberta.

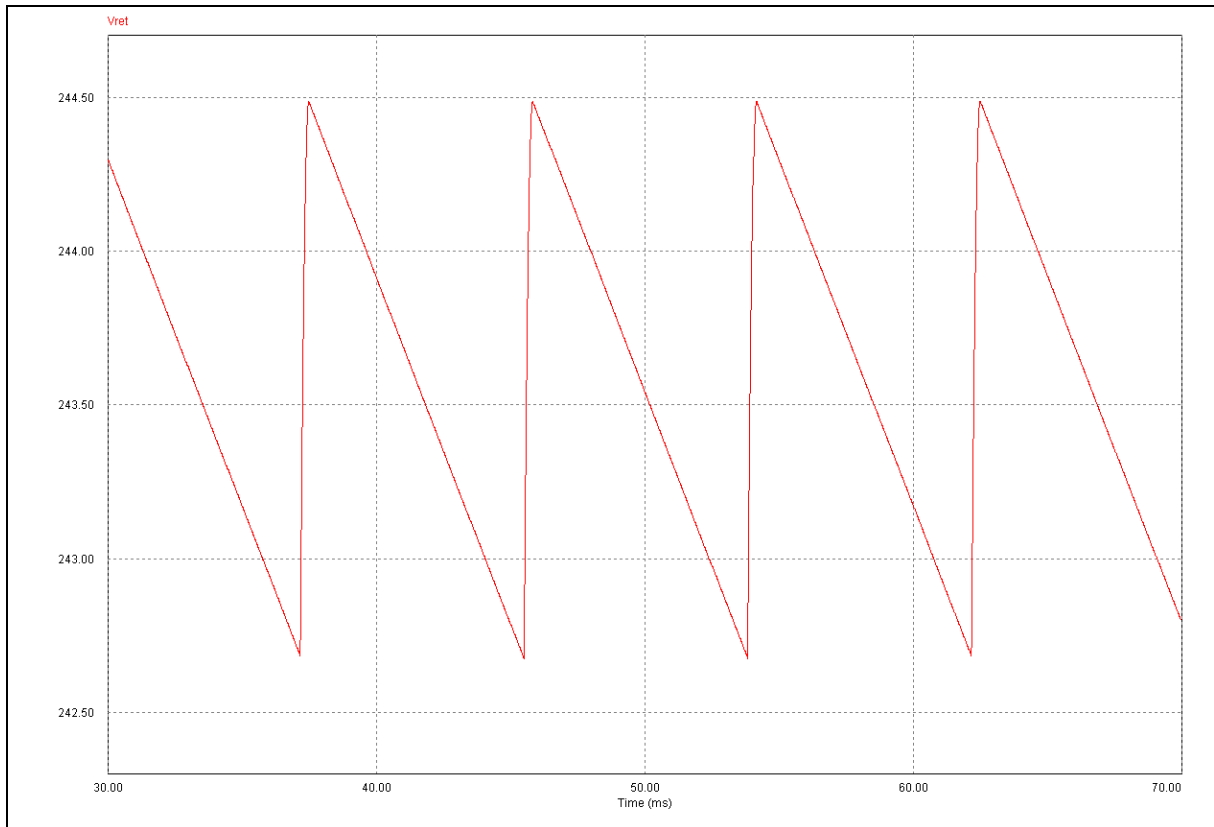


Figura 18 - *Ripple* da forma de onda da tensão na saída do retificador com tensão média de entrada em Malha Aberta

$$V_{ret \text{ máx}} = 244,487V$$

$$V_{ret \text{ min}} = 242,676V$$

$$V_{ret \text{ méd}} = 243,587V$$

A Figura 19 abaixo mostra, de forma ampliada, as formas de onda das correntes em dois diodos retificadores e da corrente na chave, com o circuito em Malha Aberta.

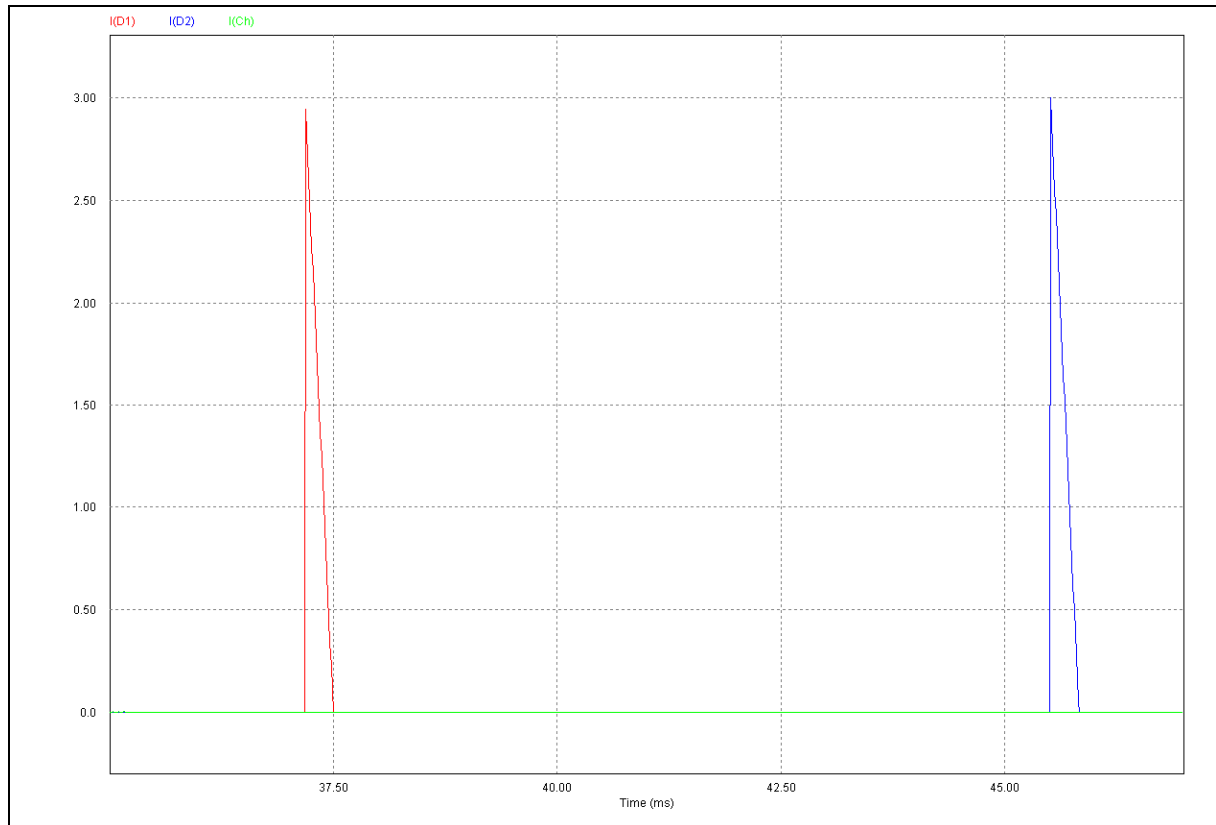


Figura 19 - Ampliação das formas de onda das correntes em dois diodos retificadores e da corrente na chave, com tensão média de entrada em Malha Aberta

$I_{d1\text{ pk}} = 2,94348\text{A}$

$I_{d2\text{ pk}} = 2,99883\text{A}$

A Figura 20 abaixo mostra as formas de onda das tensões e correntes nas duas saídas, em Malha Aberta.

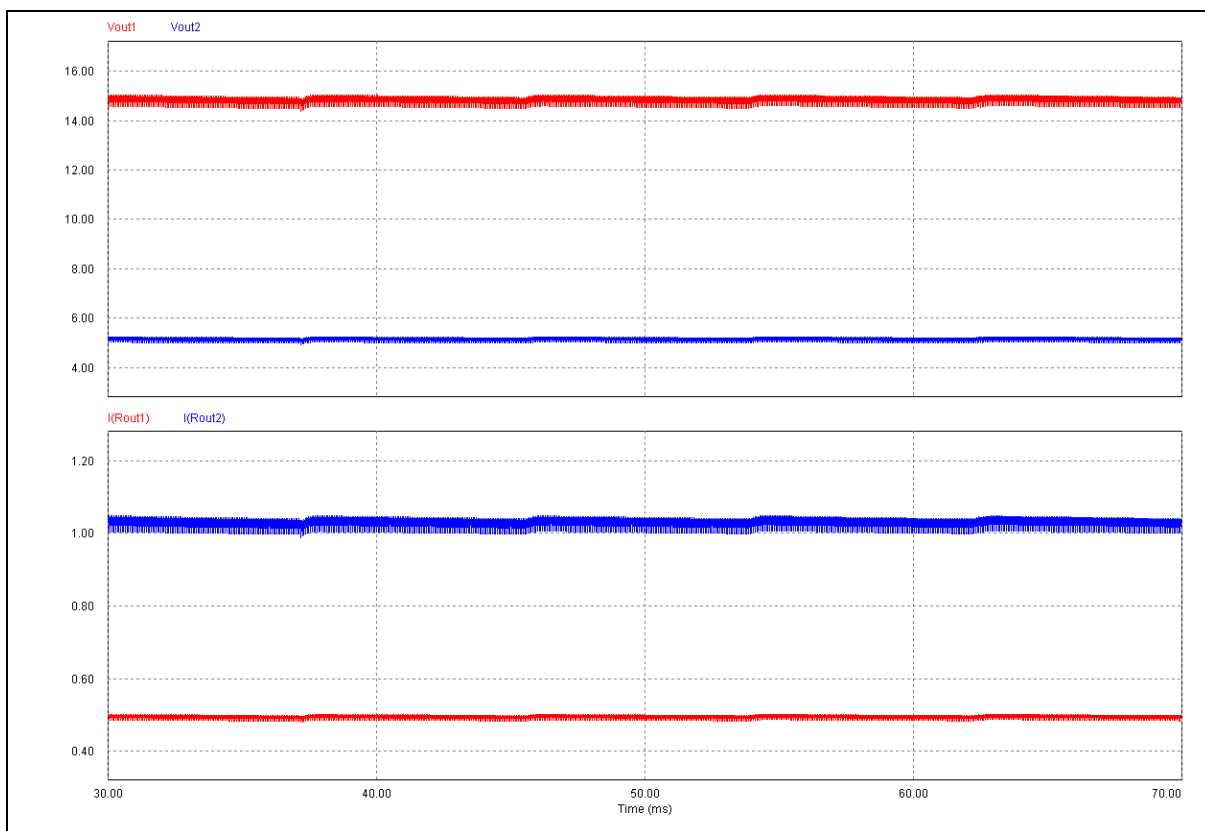


Figura 20 - Formas de onda das tensões e correntes nas duas saídas, com tensão média de entrada em Malha Aberta

Vout1 máx = 15,0498V

Vout1 min = 14,3712V

Vout1 méd = 14,8117V

Vout2 máx = 5,24085V

Vout2 min = 4,93967V

Vout2 méd = 5,13767V

Iout1 máx = 0,501661A

Iout1 min = 0,479041A

Iout1 méd = 0,493723A

Iout2 máx = 1,04817A

Iout2 min = 0,987935A

Iout2 méd = 1,02753<sup>a</sup>

### 2.12.2 Simulação em Malha Fechada

Pelo fato da simulação com o circuito em Malha Fechada não ter sido satisfatória, foi simulado apenas para tensão média de entrada, para simular condições reais, e não extremas, da fonte.

A Figura 5, apresentada anteriormente, mostra o circuito utilizado para a simulação em Malha Fechada.

A Figura 21 abaixo mostra as formas de onda da tensão de entrada e da tensão na saída do retificador em Malha Fechada.

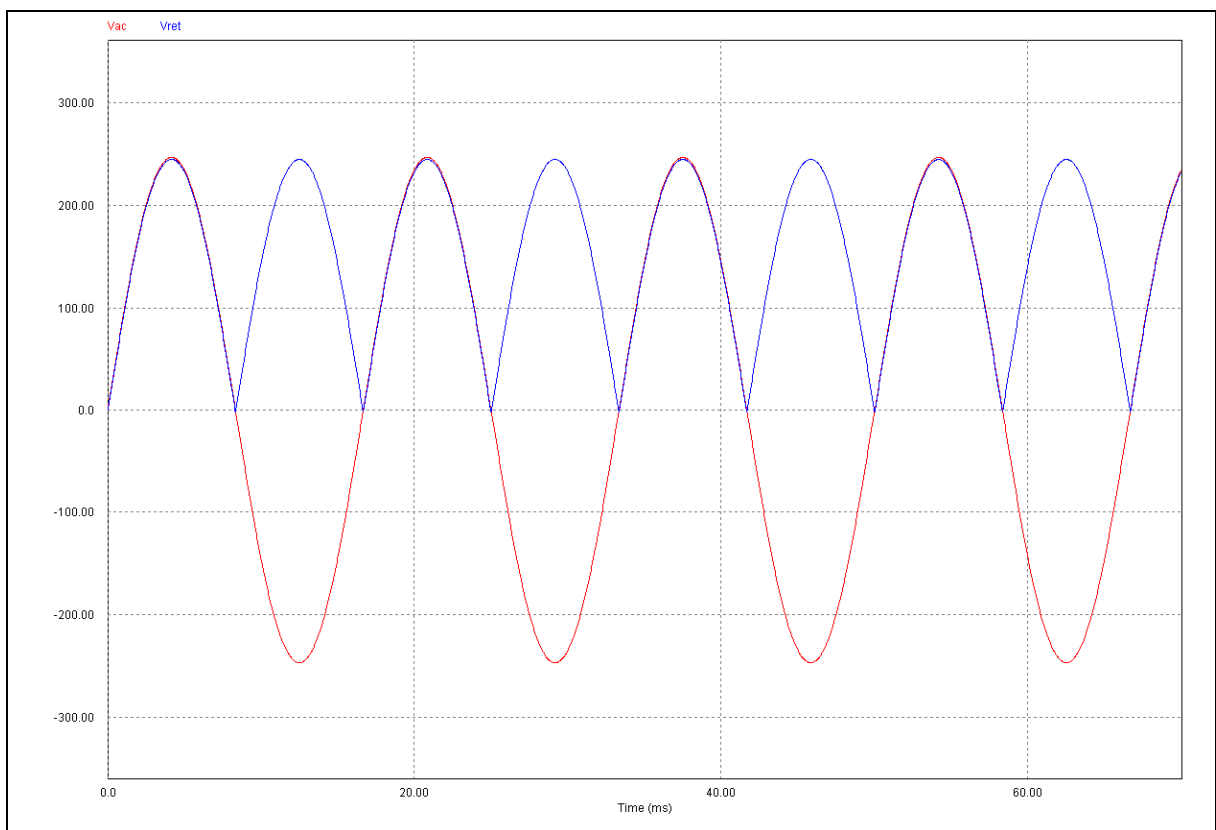


Figura 21 - Formas de onda da tensão de entrada e da tensão na saída do retificador em Malha Fechada

A Figura 22 abaixo mostra as formas de onda das correntes em dois diodos retificadores e da corrente na chave, com o circuito em Malha Fechada.

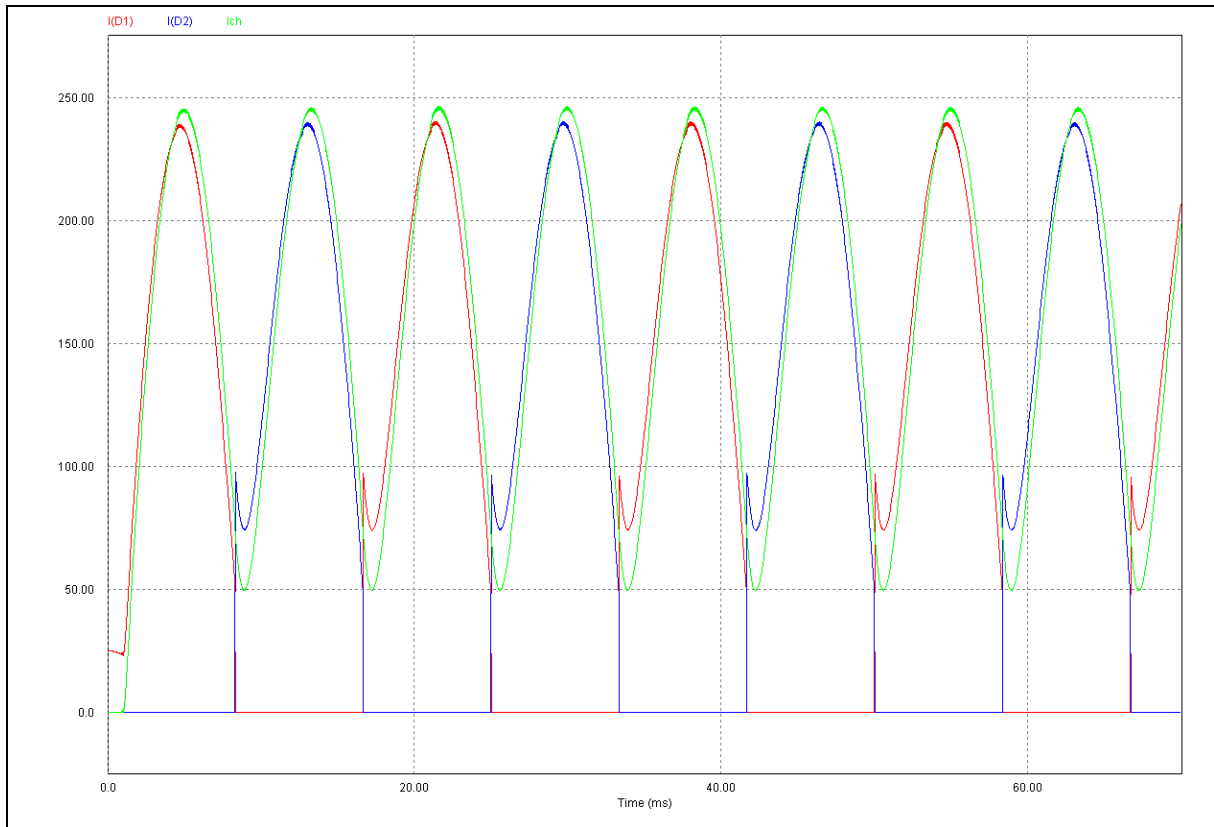


Figura 22 - Formas de onda das correntes em dois diodos retificadores e da corrente na chave, em Malha Fechada

A Figura 23 abaixo mostra as formas de onda das tensões e correntes nas duas saídas, em Malha Fechada.

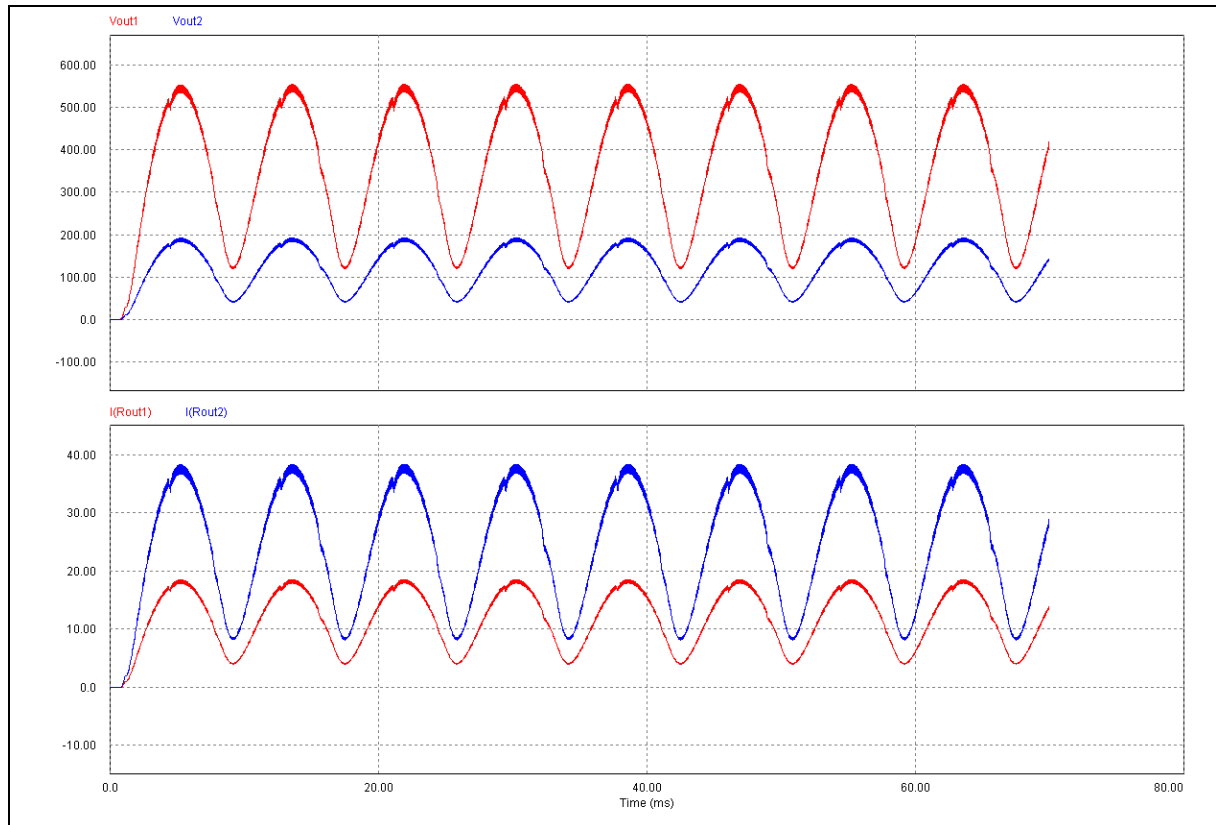


Figura 23 - Formas de onda das tensões e correntes nas duas saídas, em Malha Fechada

### 3. CONCLUSÕES

Neste relatório foi projetado um Conversor Flyback, com o circuito retificador de entrada com filtro capacitivo, o transformador, os componentes do estágio de potência, o comando e o controle do conversor. Bem como também foi realizada a simulação do circuito.

O projeto do retificador e do estágio de potência mostrou-se satisfatório, porém, para que este projeto possa ser implementado, serão necessários alguns ajustes, pois os valores de tensão e corrente obtidos na saída do conversor, encontrados na simulação, mostraram-se um pouco divergentes dos calculados, com valores apenas próximos dos requeridos e com oscilações não desprezíveis.

Quando foi aplicado o circuito de controle, os valores simulados mostraram-se totalmente divergentes da realidade. Infelizmente não foi possível encontrar soluções para que este problema fosse resolvido.

#### 4. REFERÊNCIAS

BARBI, Ivo. *Eletrônica de Potência: Projeto de Fontes Chaveadas*. 1a. Edição. Florianópolis: Editora da UFSC, 2001. 332 p.

PETRY, Clóvis Antônio. *Projeto de um Conversor Flyback e de um Conversor Forward Isolados com Retificador e Filtro Capacitivo*. Publicação Interna. INEP/UFSC. Florianópolis, 2000.

PETRY, Clóvis Antônio; PERAÇA, Mauro Tavares. *Apresentações das aulas do curso de Pós-Graduação em Desenvolvimento de Produtos Eletrônicos do IF-SC*. Florianópolis, 2009.

## **5. ANEXOS**

### **5.1 *Datasheet* dos Diodos da ponte retificadora**



# 1N4001 Thru 1N4007

## 1 AMP PLASTIC SILICON RECTIFIER

### FEATURES

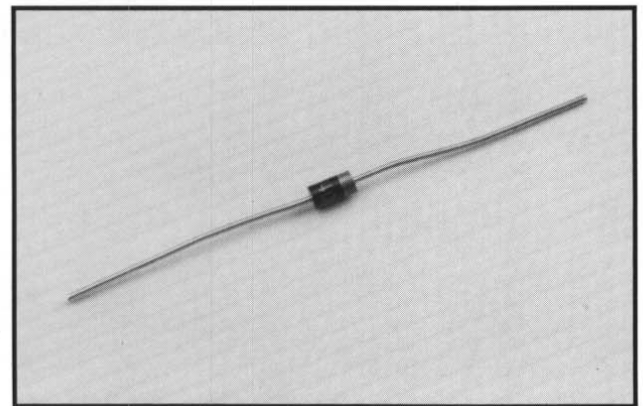
- Rating to 1000V PRV
- Low cost
- Diffused junction
- Low leakage
- Low forward voltage drop
- High current capability
- Easily cleaned with freon, alcohol, chloroethene and similar solvents
- UL recognized 94V-O plastic material

### Mechanical Data

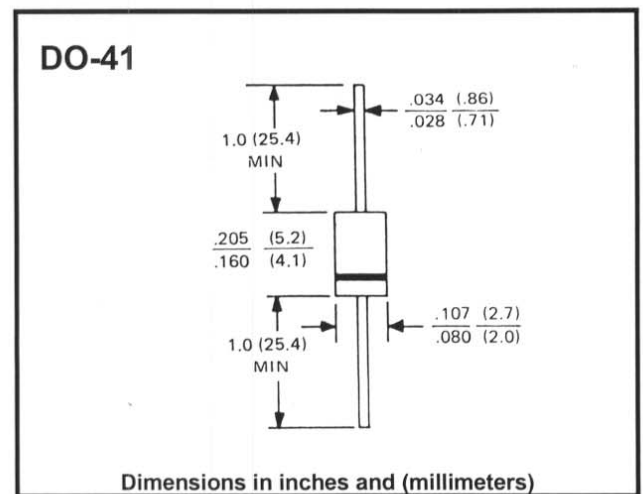
- Case: JEDEC DO-41
- Terminals: Axial leads, solderable per MIL-STD-202, Method 208
- Polarity: Color band denotes cathode
- Weight: 0.012 ounce, 0.3 grams
- Mounting Position: Any

### Maximum Ratings & Characteristics

- Ratings at 25° C ambient temperature unless otherwise specified
- Single phase, half wave, 60Hz, resistive or inductive load
- For capacitive load, derate current by 20%



### Outline Drawing



		1N4001	1N4002	1N4003	1N4004	1N4005	1N4006	1N4007	Units
Maximum Recurrent Peak Reverse Voltage	V <sub>RRM</sub>	50	100	200	400	600	800	1000	V
Maximum RMS Voltage	V <sub>RMS</sub>	35	70	140	280	420	560	700	V
Maximum DC Blocking Voltage	V <sub>DC</sub>	50	100	200	400	600	800	1000	V
Maximum Average Forward Rectified Current .375 (9.5mm) Lead Lengths @ T <sub>A</sub> = 75° C	I <sub>(AV)</sub>	1.0							A
Peak Forward Surge Current 8.3 ms Single Half-Sine-Wave Superimposed On Rated Load	I <sub>FSM</sub>	40							A
Maximum Forward Voltage At 1.0A DC	V <sub>F</sub>	1.0							V
Maximum DC Reverse Current @ T <sub>A</sub> = 25° C	I <sub>R</sub>	5							μA
At Rated DC Blocking Voltage @ T <sub>A</sub> = 100° C		50							
Typical Junction Capacitance (Note 1) T <sub>A</sub> = 25° C	C <sub>J</sub>	15							pF
Typical Thermal Resistance (Note 2)	R <sub>thJA</sub>	26							°C/W
Operating Temperature Range	T <sub>J</sub>	-65 to +175							°C
Storage Temperature Range	T <sub>STG</sub>	-65 to +175							°C

Notes: 1. Measured at 1.0 MHz and applied reverse voltage of 4.0V DC

## **5.2 *Datasheet* do Interruptor**

# IRF740, IRF741, IRF742, IRF743

8A and 10A, 350V and 400V, 0.55 and 0.80 Ohm,  
N-Channel Power MOSFETs

July 1998

## Features

- 8A and 10A, 350V and 400V
- $r_{DS(ON)} = 0.55\Omega$  and  $0.80\Omega$
- Single Pulse Avalanche Energy Rated
- SOA is Power Dissipation Limited
- Nanosecond Switching Speeds
- Linear Transfer Characteristics
- High Input Impedance
- Related Literature
  - TB334 "Guidelines for Soldering Surface Mount Components to PC Boards"

## Ordering Information

PART NUMBER	PACKAGE	BRAND
IRF740D	TO-220AB	IRF740
IRF741	TO-220AB	IRF741
IRF742	TO-220AB	IRF742
IRF743	TO-220AB	IRF743

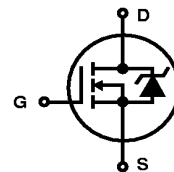
NOTE: When ordering, include the entire part number.

## Description

These are N-Channel enhancement mode silicon gate power field effect transistors. These types are advanced power MOSFETs designed, tested, and guaranteed to withstand a specified level of energy in the breakdown avalanche mode of operation. All of these power MOSFETs are designed for applications such as switching regulators, switching converters, motor drivers, relay drivers, and drivers for high power bipolar switching transistors requiring high speed and low gate drive power. They can be operated directly from integrated circuits.

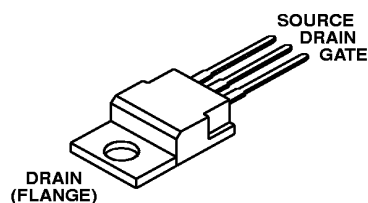
Formerly developmental type TA17424.

## Symbol



## Packaging

JEDEC TO-220AB  
TOP VIEW



## IRF740, IRF741, IRF742, IRF743

### Absolute Maximum Ratings $T_C = 25^\circ\text{C}$ , Unless Otherwise Specified

	IRF740	IRF741	IRF742	IRF743	UNITS	
Drain to Source Voltage (Note 1) . . . . .	$V_{DS}$	400	350	400	350	V
Drain to Gate Voltage ( $R_{GS} = 20k\Omega$ ) (Note 1) . . . . .	$V_{DGR}$	400	350	400	350	V
Continuous Drain Current . . . . .	$I_D$	10	10	8.0	8.0	A
$T_C = 100^\circ\text{C}$ . . . . .	$I_D$	6.3	6.3	5.2	5.2	A
Pulsed Drain Current (Note 3) . . . . .	$I_{DM}$	40	40	33	33	A
Gate to Source Voltage . . . . .	$V_{GS}$	$\pm 20$	$\pm 20$	$\pm 20$	$\pm 20$	V
Maximum Power Dissipation . . . . .	$P_D$	125	125	125	125	W
Linear Derating Factor . . . . .		1.0	1.0	1.0	1.0	$\text{W}/^\circ\text{C}$
Single Pulse Avalanche Energy Rating (Note 4) . . . . .	$E_{AS}$	520	520	520	520	mJ
Operating and Storage Temperature . . . . .	$T_J, T_{STG}$	-55 to 150	-55 to 150	-55 to 150	-55 to 150	$^\circ\text{C}$
Maximum Temperature for Soldering						
Leads at 0.063in (1.6mm) from Case for 10s . . . . .	$T_L$	300	300	300	300	$^\circ\text{C}$
Package Body for 10s, See Techbrief 334 . . . . .	$T_{pkg}$	260	260	260	260	$^\circ\text{C}$

CAUTION: Stresses above those listed in "Absolute Maximum Ratings" may cause permanent damage to the device. This is a stress only rating and operation of the device at these or any other conditions above those indicated in the operational sections of this specification is not implied.

NOTE:

- $T_J = 25^\circ\text{C}$  to  $125^\circ\text{C}$ .

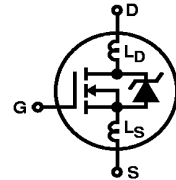
### Electrical Specifications $T_C = 25^\circ\text{C}$ , Unless Otherwise Specified

PARAMETER	SYMBOL	TEST CONDITIONS	MIN	TYP	MAX	UNITS
Drain to Source Breakdown Voltage IRF740, IRF742	$BV_{DSS}$	$V_{GS} = 0V, I_D = 250\mu A$ (Figure 10)	400	-	-	V
			350	-	-	V
IRF741, IRF743						
Gate to Threshold Voltage	$V_{GS(TH)}$	$V_{GS} = V_{DS}, I_D = 250\mu A$	2.0	-	4.0	V
Zero Gate Voltage Drain Current	$I_{DSS}$	$V_{DS} = \text{Rated } BV_{DSS}, V_{GS} = 0V$ $V_{DS} = 0.8 \times \text{Rated } BV_{DSS}, V_{GS} = 0V, T_J = 125^\circ\text{C}$	-	-	25	$\mu A$
			-	-	250	$\mu A$
On-State Drain Current (Note 2) IRF740, IRF741	$I_{D(ON)}$	$V_{DS} > I_{D(ON)} \times r_{DS(ON)MAX}, V_{GS} = 10V$	10	-	-	A
			8.3	-	-	A
IRF742, IRF743						
Gate to Source Leakage Current	$I_{GSS}$	$V_{GS} = \pm 20V$	-	-	$\pm 500$	nA
Drain to Source On Resistance (Note 2) IRF740, IRF741	$r_{DS(ON)}$	$V_{GS} = 10V, I_D = 5.2A$ (Figures 8, 9)	-	0.47	0.55	$\Omega$
			-	0.68	0.80	$\Omega$
IRF742, IRF743						
Forward Transconductance (Note 2)	$g_{fs}$	$V_{DS} \geq 50V, I_D = 5.2A$ (Figure 12)	5.8	8.9	-	S
Turn-On Delay Time	$t_{D(ON)}$	$V_{DD} = 200V, I_D \approx 10A, R_G = 9.1\Omega,$ $R_L = 20\Omega, V_{GS} = 10V,$ (Figures 17, 18) MOSFET switching times are essentially independent of operating temperature	-	15	21	ns
Rise Time	$t_r$		-	25	41	ns
Turn-Off Delay Time	$t_{D(OFF)}$		-	52	75	ns
Fall Time	$t_f$		-	25	36	ns
Total Gate Charge (Gate to Source + Gate to Drain)	$Q_{g(TOT)}$	$V_{GS} = 10V, I_D = 10A, V_{DS} = 0.8 \times \text{Rated } BV_{DSS}$ $I_{g(REF)} = 1.5mA$ (Figures 14, 19, 20) Gate charge is essentially independent of operat- ing temperature	-	41	63	nC
Gate to Source Charge	$Q_{gs}$		-	6.5	-	nC
Gate to Drain "Miller" Charge	$Q_{gd}$		-	23	-	nC

## IRF740, IRF741, IRF742, IRF743

### Electrical Specifications $T_C = 25^\circ\text{C}$ , Unless Otherwise Specified (Continued)

PARAMETER	SYMBOL	TEST CONDITIONS	MIN	TYP	MAX	UNITS
Input Capacitance	$C_{ISS}$	$V_{GS} = 0\text{V}$ , $V_{DS} = 25\text{V}$ , $f = 1.0\text{MHz}$ (Figure 11)	-	1250	-	pF
Output Capacitance	$C_{OSS}$		-	300	-	pF
Reverse-Transfer Capacitance	$C_{RSS}$		-	80	-	pF
Internal Drain Inductance	$L_D$	Measured From the Contact Screw on Tab to Center of Die	-	3.5	-	nH
		Measured From The Drain Lead, 6mm (0.25in) From Package to Center of Die	-	4.5	-	nH
Internal Source Inductance	$L_S$	Measured From The Source Lead, 6mm (0.25in) From Header to Source Bonding Pad	-	7.5	-	nH
Thermal Resistance Junction to Case	$R_{\theta CS}$		-	-	1.0	$^\circ\text{C/W}$
Thermal Resistance Junction to Ambient	$R_{\theta JA}$	Free Air Operation	-	-	62.5	$^\circ\text{C/W}$



### Source to Drain Diode Specifications

PARAMETER	SYMBOL	TEST CONDITIONS	MIN	TYP	MAX	UNITS
Continuous Source to Drain Current	$I_{SD}$	Modified MOSFET Symbol Showing the Integral Reverse P-N Junction Diode	-	-	10	A
Pulse Source to Drain Current (Note 3)	$I_{SDM}$		-	-	40	A
Source to Drain Diode Voltage (Note 2)	$V_{SD}$	$T_J = 25^\circ\text{C}$ , $I_{SD} = 10\text{A}$ , $V_{GS} = 0\text{V}$ (Figure 13)	-	-	2.0	V
Reverse Recovery Time	$t_{rr}$	$T_J = 25^\circ\text{C}$ , $I_{SD} = 10\text{A}$ , $dI_{SD}/dt = 100\text{A}/\mu\text{s}$	170	390	790	ns
Reverse Recovered Charge	$Q_{RR}$	$T_J = 25^\circ\text{C}$ , $I_{SD} = 10\text{A}$ , $dI_{SD}/dt = 100\text{A}/\mu\text{s}$	1.6	4.5	8.2	$\mu\text{C}$

**NOTES:**

2. Pulse Test: Pulse width  $\leq 300\mu\text{s}$ , duty cycle  $\leq 2\%$ .
3. Repetitive Rating: Pulse width limited by Max junction temperature. See Transient Thermal Impedance curve (Figure 3).
4.  $V_{DD} = 50\text{V}$ , starting  $T_J = 25^\circ\text{C}$ ,  $L = 9.1\mu\text{H}$ ,  $R_G = 25\Omega$ , peak  $I_{AS} = 10\text{A}$ . See Figures 15 and 16.

# IRF740, IRF741, IRF742, IRF743

## Typical Performance Curves Unless Otherwise Specified

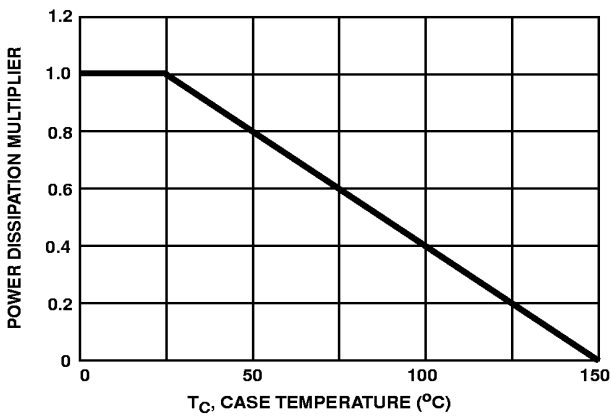


FIGURE 1. NORMALIZED POWER DISSIPATION vs CASE TEMPERATURE

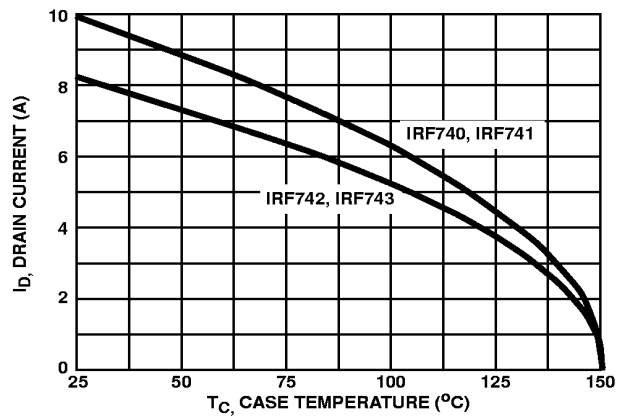


FIGURE 2. MAXIMUM CONTINUOUS DRAIN CURRENT vs CASE TEMPERATURE

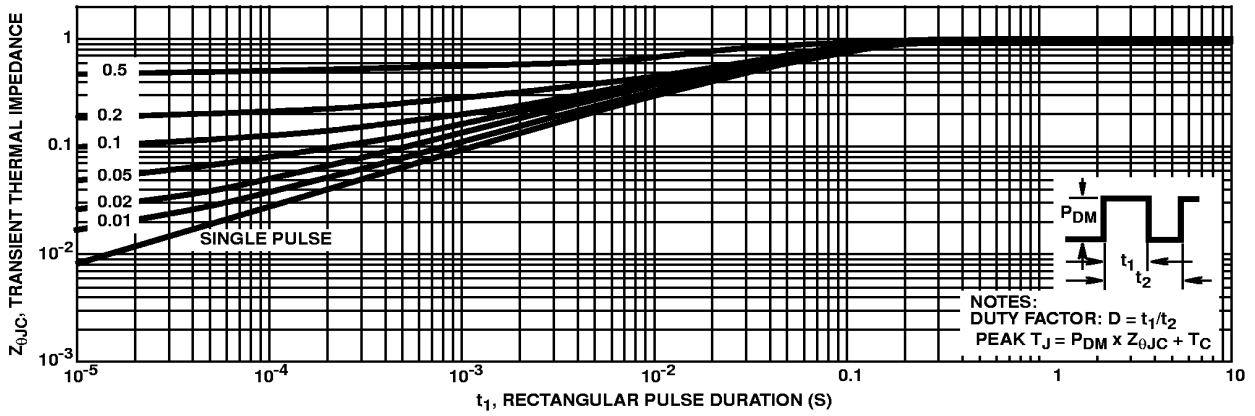


FIGURE 3. NORMALIZED MAXIMUM TRANSIENT THERMAL IMPEDANCE

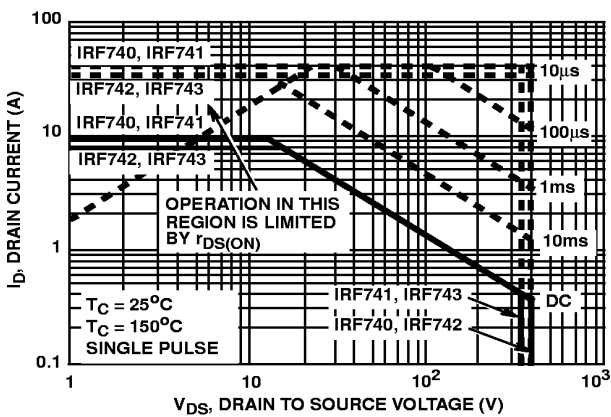


FIGURE 4. FORWARD BIAS SAFE OPERATING AREA

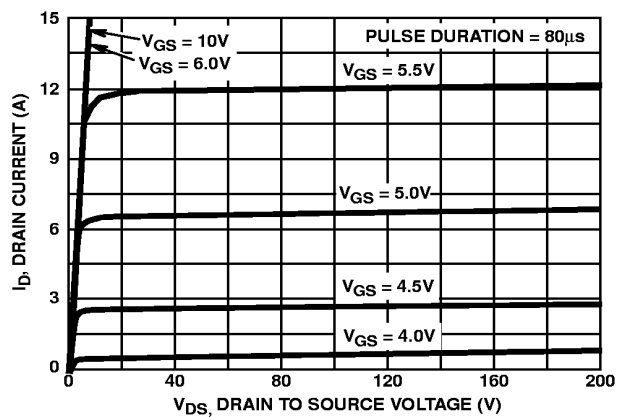


FIGURE 5. OUTPUT CHARACTERISTICS

IRF740, IRF741, IRF742, IRF743

Typical Performance Curves Unless Otherwise Specified (Continued)

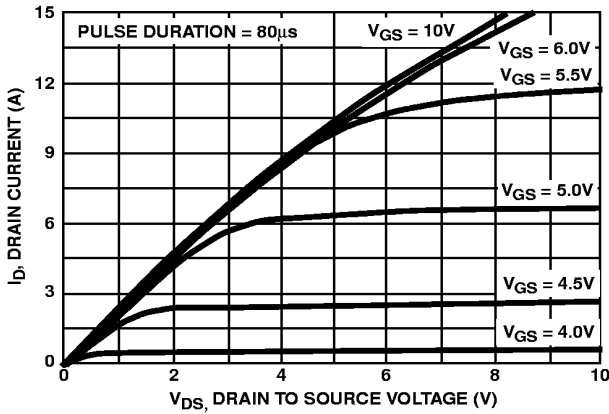


FIGURE 6. SATURATION CHARACTERISTICS

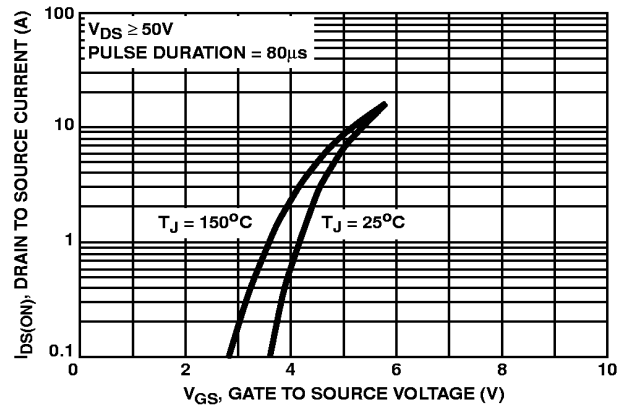


FIGURE 7. TRANSFER CHARACTERISTICS

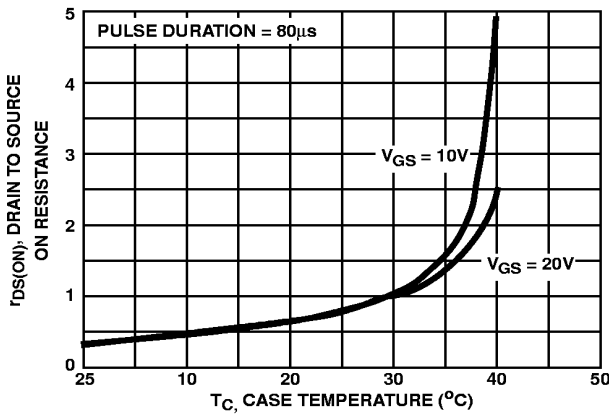


FIGURE 8. DRAIN TO SOURCE ON RESISTANCE vs GATE VOLTAGE AND DRAIN CURRENT

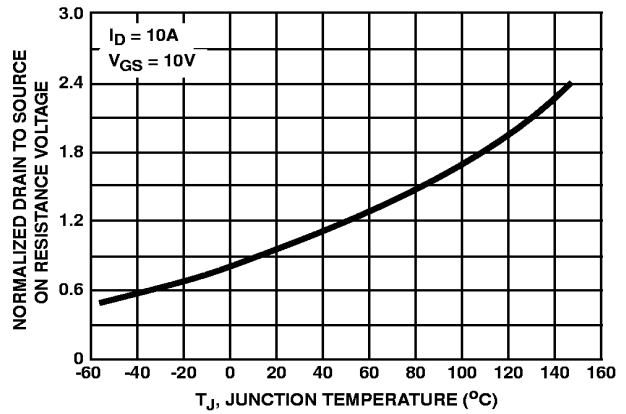


FIGURE 9. NORMALIZED DRAIN TO SOURCE ON RESISTANCE vs JUNCTION TEMPERATURE

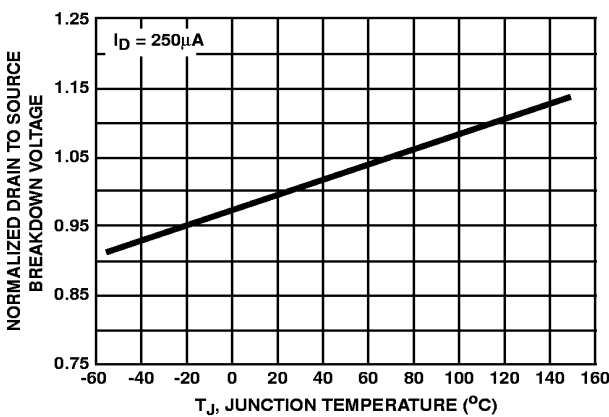


FIGURE 10. NORMALIZED DRAIN TO SOURCE BREAKDOWN VOLTAGE vs JUNCTION TEMPERATURE

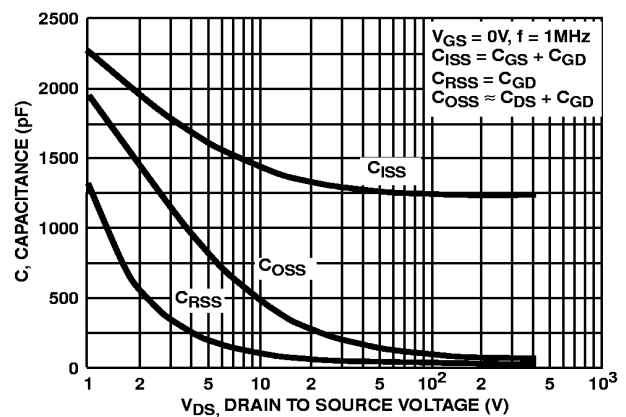


FIGURE 11. CAPACITANCE vs DRAIN TO SOURCE VOLTAGE

IRF740, IRF741, IRF742, IRF743

Typical Performance Curves Unless Otherwise Specified (Continued)

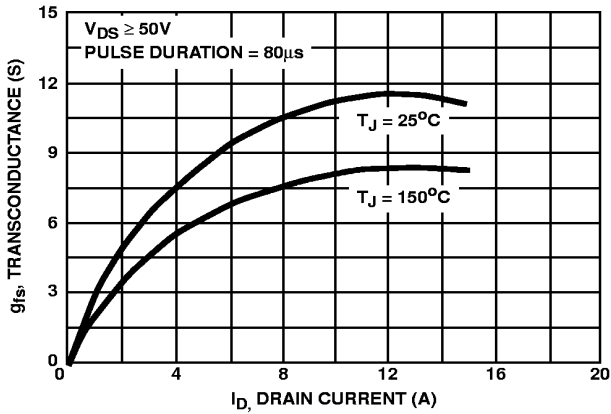


FIGURE 12. TRANSCONDUCTANCE vs DRAIN CURRENT

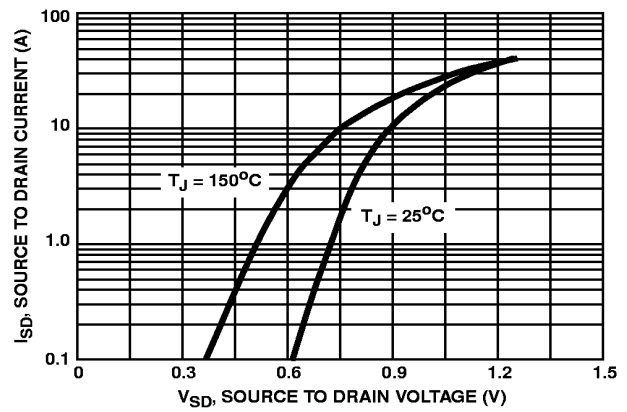


FIGURE 13. SOURCE TO DRAIN DIODE VOLTAGE

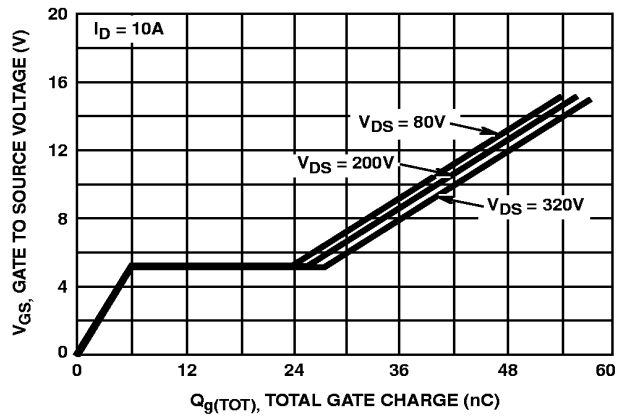


FIGURE 14. GATE TO SOURCE VOLTAGE vs GATE CHARGE

Test Circuits and Waveforms

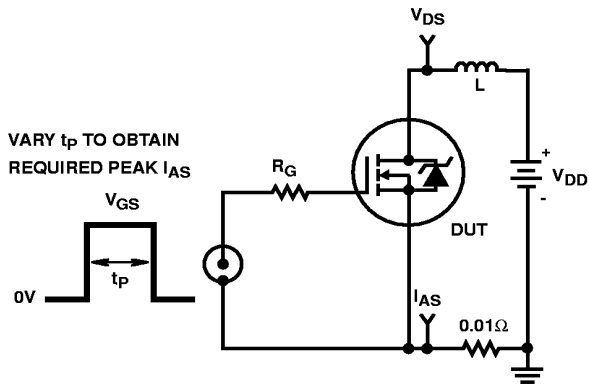


FIGURE 15. UNCLAMPED ENERGY TEST CIRCUIT

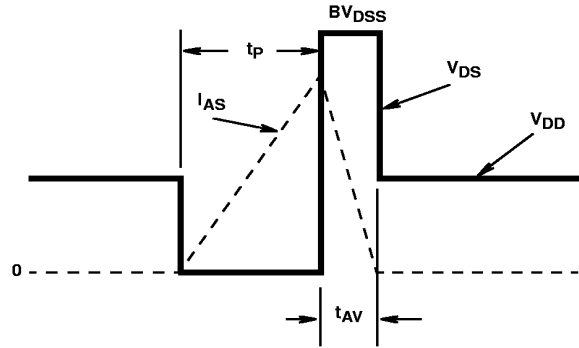


FIGURE 16. UNCLAMPED ENERGY WAVEFORMS

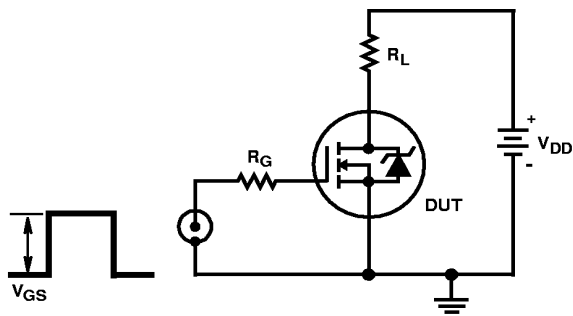


FIGURE 17. SWITCHING TIME TEST CIRCUIT

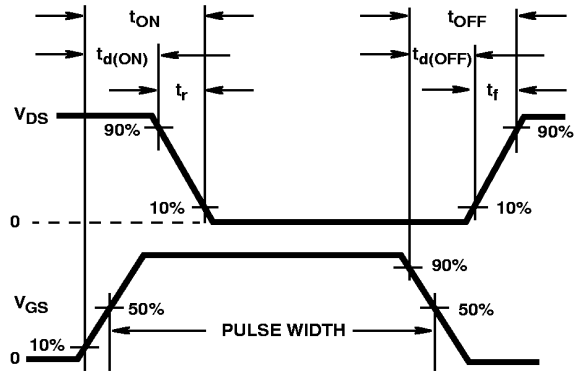


FIGURE 18. RESISTIVE SWITCHING WAVEFORMS

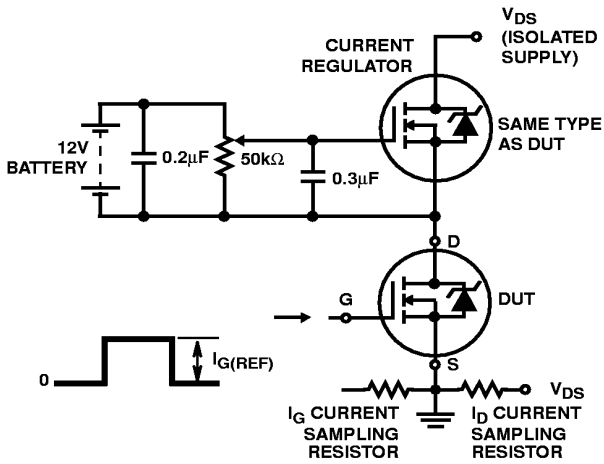


FIGURE 19. GATE CHARGE TEST CIRCUIT

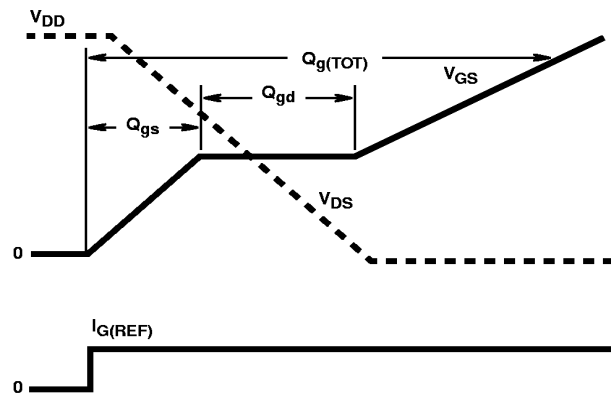


FIGURE 20. GATE CHARGE WAVEFORMS

### **5.3 *Datasheet* dos Diodos MUR810 e MUR805**

# MUR805, MUR810, MUR815, MUR820, MUR840, MUR860

Preferred Devices

## SWITCHMODE™ Power Rectifiers

... designed for use in switching power supplies, inverters and as free wheeling diodes, these state-of-the-art devices have the following features:

- Ultrafast 25, 50 and 75 Nanosecond Recovery Time
- 175°C Operating Junction Temperature
- Popular TO-220 Package
- Epoxy Meets UL94, V<sub>O</sub> @ 1/8"
- Low Forward Voltage
- Low Leakage Current
- High Temperature Glass Passivated Junction
- Reverse Voltage to 600 Volts

### Mechanical Characteristics:

- Case: Epoxy, Molded
- Weight: 1.9 grams (approximately)
- Finish: All External Surfaces Corrosion Resistant and Terminal Leads are Readily Solderable
- Lead Temperature for Soldering Purposes: 260°C Max. for 10 Seconds
- Shipped 50 units per plastic tube
- Marking: U805, U810, U815, U820, U840, U860

### MAXIMUM RATINGS

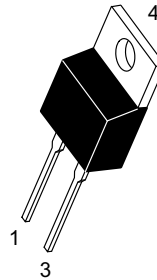
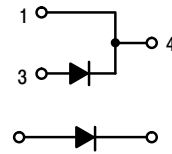
Please See the Table on the Following Page



ON Semiconductor™

<http://onsemi.com>

**ULTRAFAST  
RECTIFIERS  
8.0 AMPERES  
50-600 VOLTS**



### MARKING DIAGRAM



**CASE 221B  
TO-220AC  
PLASTIC**

U8xx = Device Code  
xx = 05, 10, 15,  
20, 40 or 60

### ORDERING INFORMATION

Device	Package	Shipping
MUR805	TO-220	50 Units/Rail
MUR810	TO-220	50 Units/Rail
MUR815	TO-220	50 Units/Rail
MUR820	TO-220	50 Units/Rail
MUR840	TO-220	50 Units/Rail
MUR860	TO-220	50 Units/Rail

Preferred devices are recommended choices for future use and best overall value.

## MUR805, MUR810, MUR815, MUR820, MUR840, MUR860

### MAXIMUM RATINGS

Rating	Symbol	MUR						Unit
		805	810	815	820	840	860	
Peak Repetitive Reverse Voltage Working Peak Reverse Voltage DC Blocking Voltage	$V_{RRM}$ $V_{RWM}$ $V_R$	50	100	150	200	400	600	Volts
Average Rectified Forward Current Total Device, (Rated $V_R$ ), $T_C = 150^\circ\text{C}$	$I_{F(AV)}$	8.0						Amps
Peak Repetitive Forward Current (Rated $V_R$ , Square Wave, 20 kHz), $T_C = 150^\circ\text{C}$	$I_{FM}$	16						Amps
Nonrepetitive Peak Surge Current (Surge applied at rated load conditions halfwave, single phase, 60 Hz)	$I_{FSM}$	100						Amps
Operating Junction Temperature and Storage Temperature Range	$T_J, T_{stg}$	-65 to +175						$^\circ\text{C}$

### THERMAL CHARACTERISTICS

Maximum Thermal Resistance, Junction to Case	$R_{\theta JC}$	3.0	2.0	$^\circ\text{C/W}$
--	-----------------	-----	-----	--------------------

### ELECTRICAL CHARACTERISTICS

Maximum Instantaneous Forward Voltage (Note 1.) ( $i_F = 8.0$ Amps, $T_C = 150^\circ\text{C}$ ) ( $i_F = 8.0$ Amps, $T_C = 25^\circ\text{C}$ )	$V_F$	0.895 0.975	1.00 1.30	1.20 1.50	Volts
Maximum Instantaneous Reverse Current (Note 1.) (Rated dc Voltage, $T_J = 150^\circ\text{C}$ ) (Rated dc Voltage, $T_J = 25^\circ\text{C}$ )	$i_R$	250 5.0	500 10		$\mu\text{A}$
Maximum Reverse Recovery Time ( $I_F = 1.0$ Amp, $di/dt = 50$ Amps/ $\mu\text{s}$ ) ( $I_F = 0.5$ Amp, $i_R = 1.0$ Amp, $I_{REC} = 0.25$ Amp)	$t_{rr}$	35 25	60 50		ns

1. Pulse Test: Pulse Width = 300  $\mu\text{s}$ , Duty Cycle  $\leq 2.0\%$ .

# MUR805, MUR810, MUR815, MUR820, MUR840, MUR860

## MUR805, MUR810, MUR815, MUR820

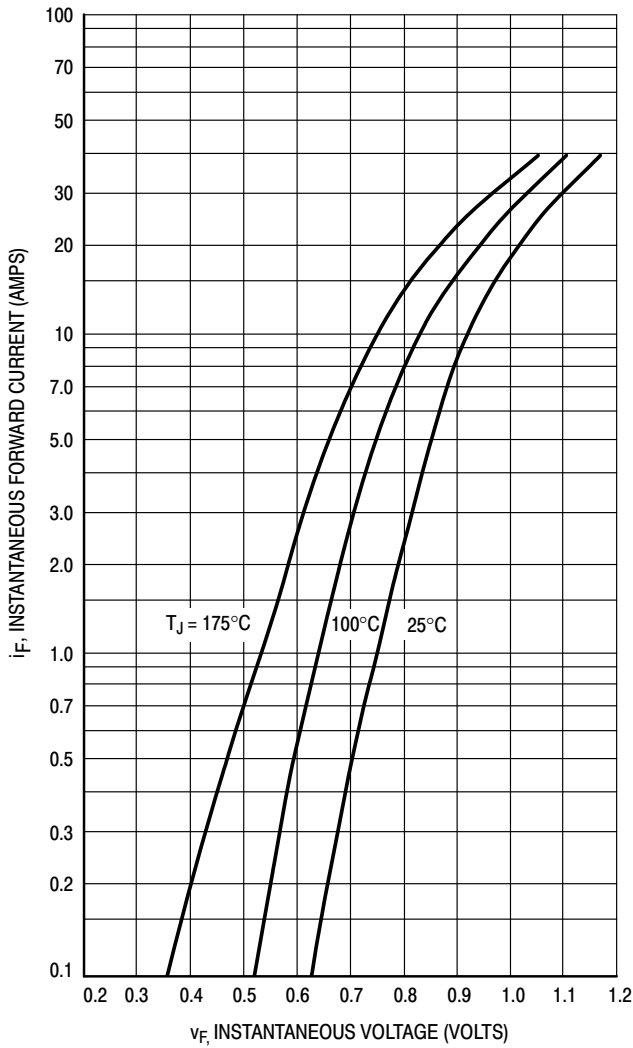


Figure 1. Typical Forward Voltage

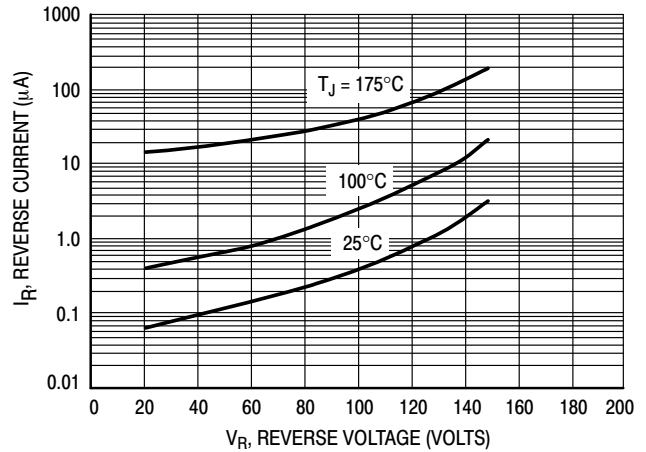


Figure 2. Typical Reverse Current\*

\* The curves shown are typical for the highest voltage device in the grouping. Typical reverse current for lower voltage selections can be estimated from these same curves if  $V_R$  is sufficiently below rated  $V_R$ .

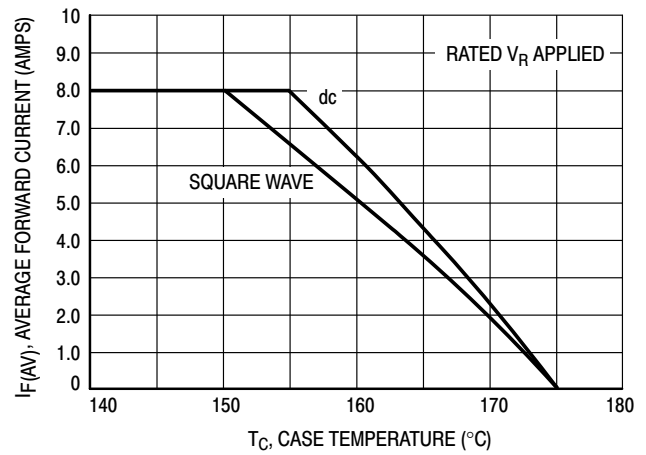


Figure 3. Current Derating, Case

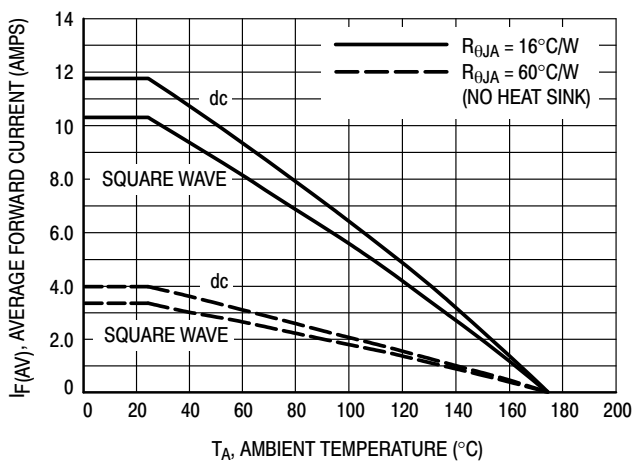


Figure 4. Current Derating, Ambient

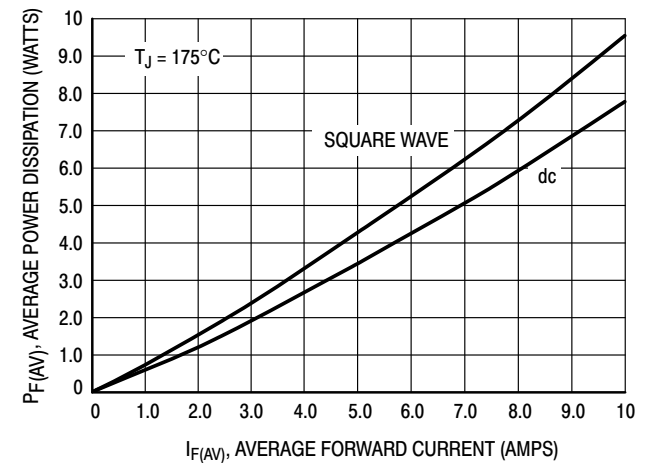


Figure 5. Power Dissipation

# MUR805, MUR810, MUR815, MUR820, MUR840, MUR860

## MUR840

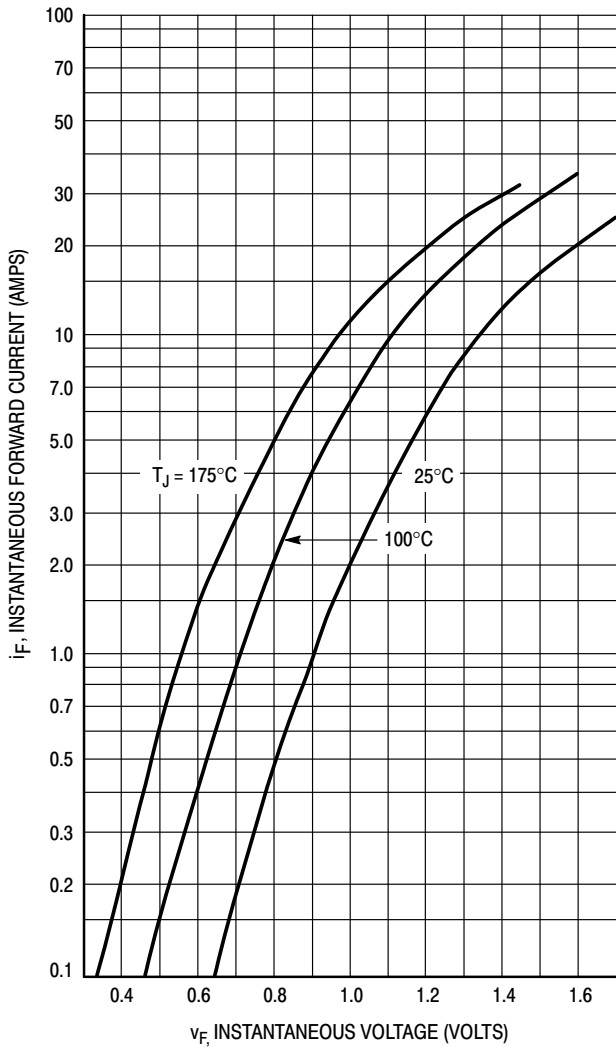


Figure 6. Typical Forward Voltage

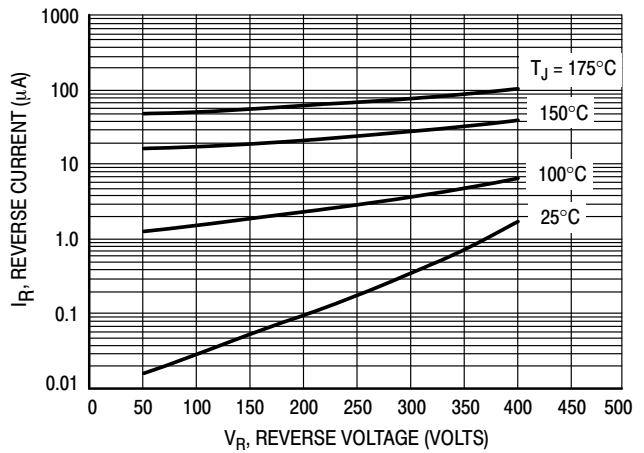


Figure 7. Typical Reverse Current\*

\* The curves shown are typical for the highest voltage device in the grouping. Typical reverse current for lower voltage selections can be estimated from these same curves if  $V_R$  is sufficiently below rated  $V_R$ .

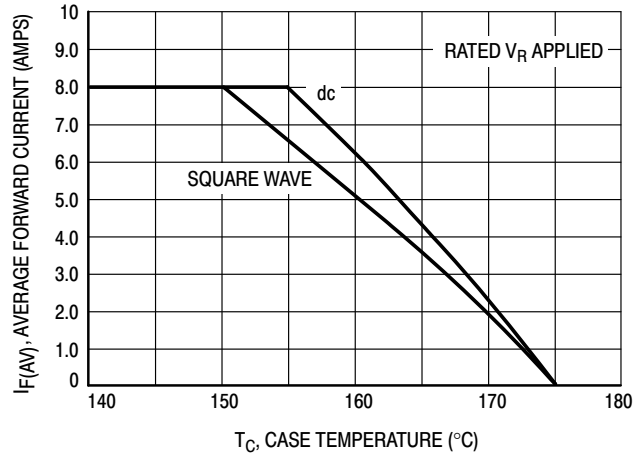


Figure 8. Current Derating, Case

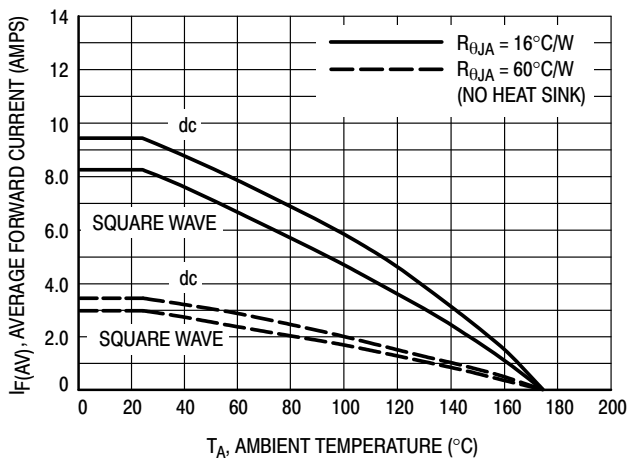


Figure 9. Current Derating, Ambient

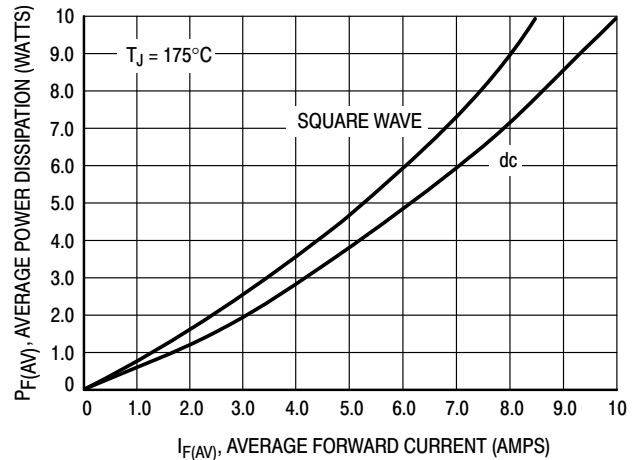


Figure 10. Power Dissipation

MUR805, MUR810, MUR815, MUR820, MUR840, MUR860

MUR860

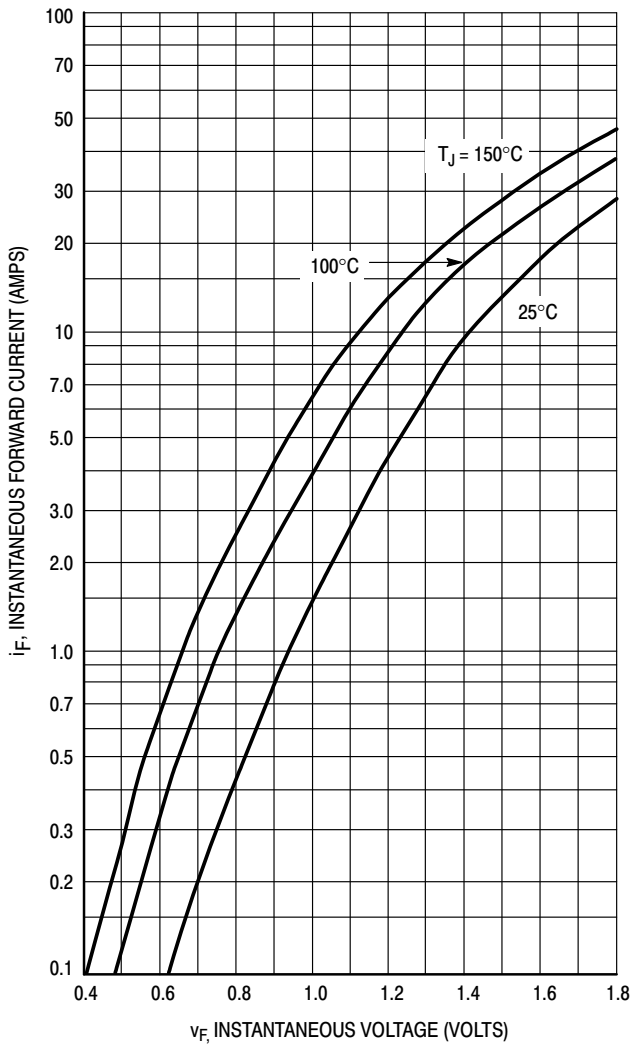


Figure 11. Typical Forward Voltage

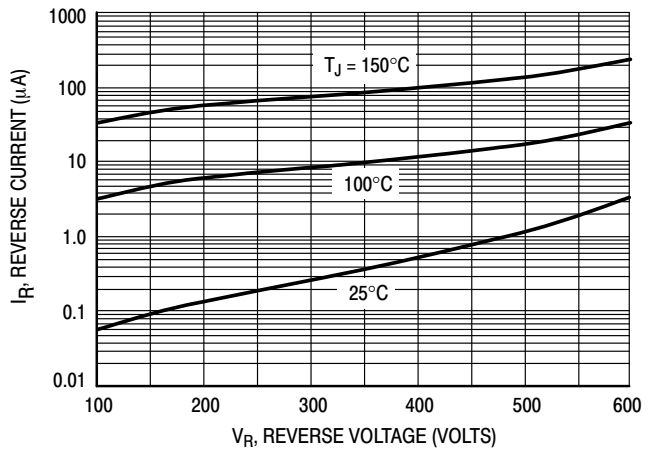


Figure 12. Typical Reverse Current\*

\* The curves shown are typical for the highest voltage device in the grouping. Typical reverse current for lower voltage selections can be estimated from these same curves if  $V_R$  is sufficiently below rated  $V_R$ .

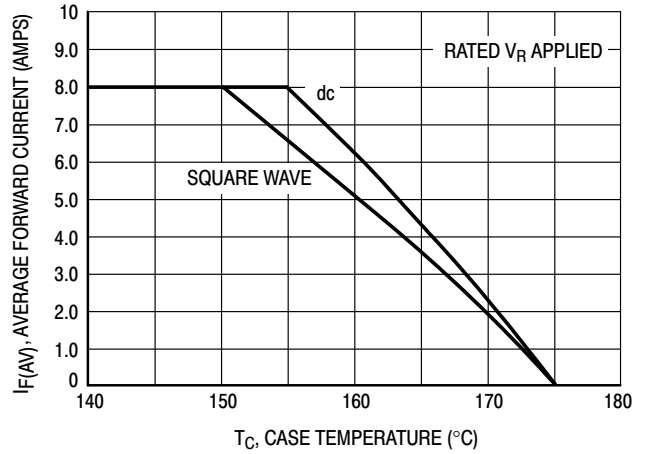


Figure 13. Current Derating, Case

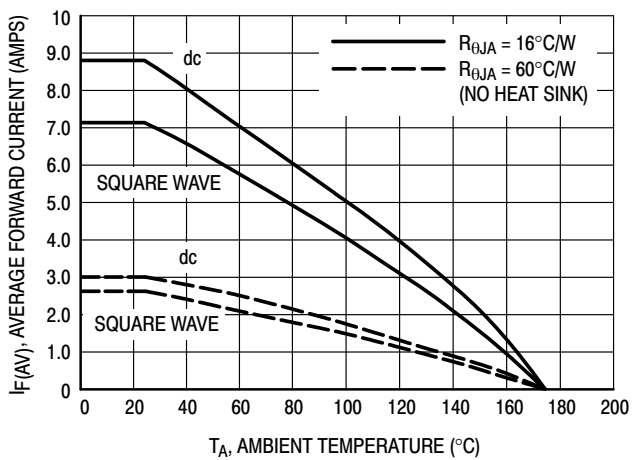


Figure 14. Current Derating, Ambient

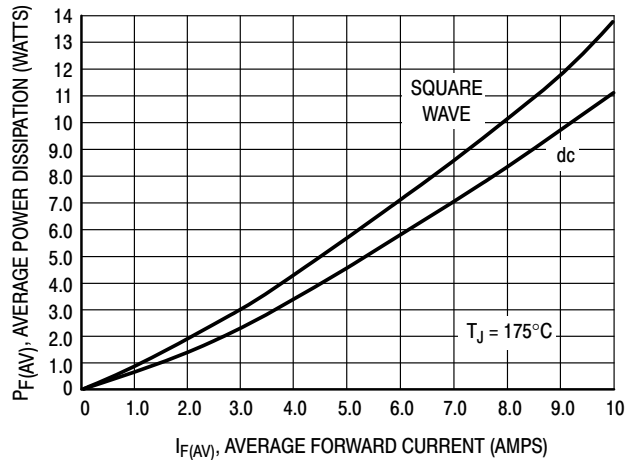


Figure 15. Power Dissipation

MUR805, MUR810, MUR815, MUR820, MUR840, MUR860

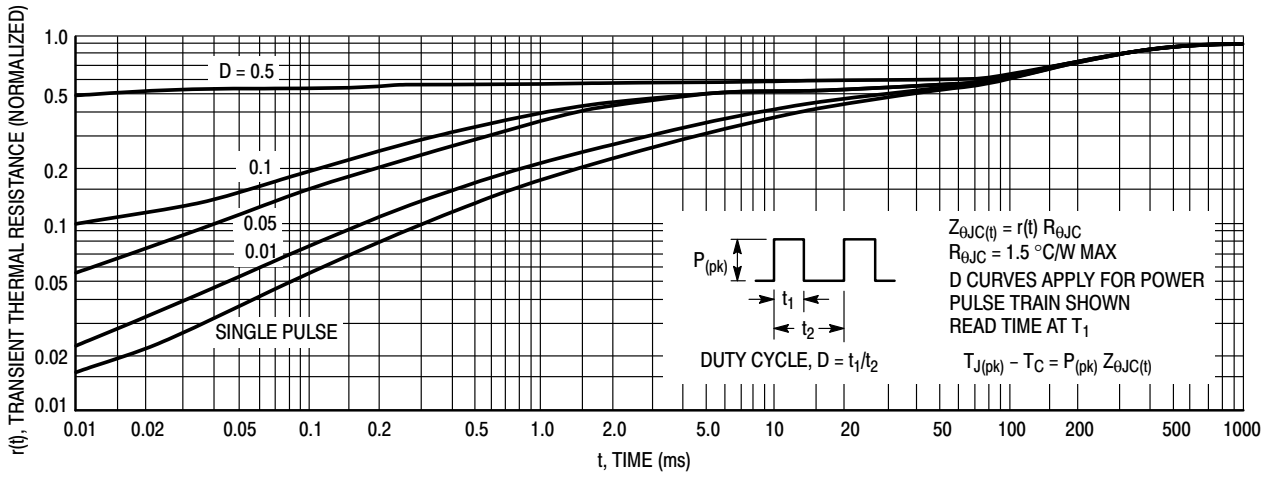


Figure 16. Thermal Response

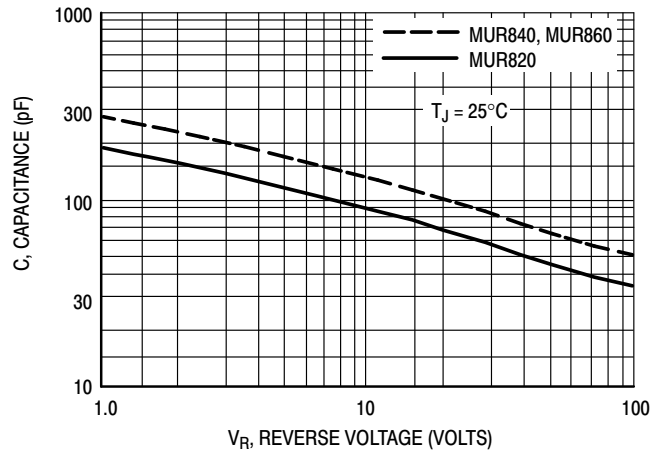
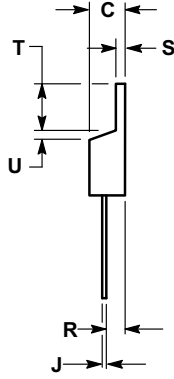
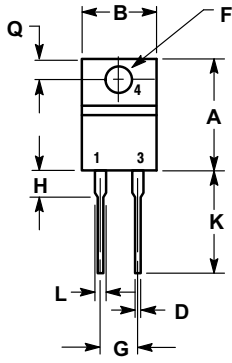


Figure 17. Typical Capacitance

# MUR805, MUR810, MUR815, MUR820, MUR840, MUR860

## PACKAGE DIMENSIONS

### TO-220 TWO-LEAD CASE 221B-04 ISSUE D



#### NOTES:

1. DIMENSIONING AND TOLERANCING PER ANSI Y14.5M, 1982.
2. CONTROLLING DIMENSION: INCH.

DIM	INCHES		MILLIMETERS	
	MIN	MAX	MIN	MAX
A	0.595	0.620	15.11	15.75
B	0.380	0.405	9.65	10.29
C	0.160	0.190	4.06	4.82
D	0.025	0.035	0.64	0.89
F	0.142	0.147	3.61	3.73
G	0.190	0.210	4.83	5.33
H	0.110	0.130	2.79	3.30
J	0.018	0.025	0.46	0.64
K	0.500	0.562	12.70	14.27
L	0.045	0.060	1.14	1.52
Q	0.100	0.120	2.54	3.04
R	0.080	0.110	2.04	2.79
S	0.045	0.055	1.14	1.39
T	0.235	0.255	5.97	6.48
U	0.000	0.050	0.000	1.27

## MUR805, MUR810, MUR815, MUR820, MUR840, MUR860

SWITCHMODE is a trademark of Semiconductor Components Industries, LLC.

**ON Semiconductor** and  are trademarks of Semiconductor Components Industries, LLC (SCILLC). SCILLC reserves the right to make changes without further notice to any products herein. SCILLC makes no warranty, representation or guarantee regarding the suitability of its products for any particular purpose, nor does SCILLC assume any liability arising out of the application or use of any product or circuit, and specifically disclaims any and all liability, including without limitation special, consequential or incidental damages. "Typical" parameters which may be provided in SCILLC data sheets and/or specifications can and do vary in different applications and actual performance may vary over time. All operating parameters, including "Typicals" must be validated for each customer application by customer's technical experts. SCILLC does not convey any license under its patent rights nor the rights of others. SCILLC products are not designed, intended, or authorized for use as components in systems intended for surgical implant into the body, or other applications intended to support or sustain life, or for any other application in which the failure of the SCILLC product could create a situation where personal injury or death may occur. Should Buyer purchase or use SCILLC products for any such unintended or unauthorized application, Buyer shall indemnify and hold SCILLC and its officers, employees, subsidiaries, affiliates, and distributors harmless against all claims, costs, damages, and expenses, and reasonable attorney fees arising out of, directly or indirectly, any claim of personal injury or death associated with such unintended or unauthorized use, even if such claim alleges that SCILLC was negligent regarding the design or manufacture of the part. SCILLC is an Equal Opportunity/Affirmative Action Employer.

### PUBLICATION ORDERING INFORMATION

#### **NORTH AMERICA Literature Fulfillment:**

Literature Distribution Center for ON Semiconductor  
P.O. Box 5163, Denver, Colorado 80217 USA  
**Phone:** 303-675-2175 or 800-344-3860 Toll Free USA/Canada  
**Fax:** 303-675-2176 or 800-344-3867 Toll Free USA/Canada  
**Email:** ONlit@hibbertco.com  
Fax Response Line: 303-675-2167 or 800-344-3810 Toll Free USA/Canada

**N. American Technical Support:** 800-282-9855 Toll Free USA/Canada

**EUROPE:** LDC for ON Semiconductor – European Support

**German Phone:** (+1) 303-308-7140 (Mon-Fri 2:30pm to 7:00pm CET)  
**Email:** ONlit-german@hibbertco.com  
**French Phone:** (+1) 303-308-7141 (Mon-Fri 2:00pm to 7:00pm CET)  
**Email:** ONlit-french@hibbertco.com  
**English Phone:** (+1) 303-308-7142 (Mon-Fri 12:00pm to 5:00pm GMT)  
**Email:** ONlit@hibbertco.com

**EUROPEAN TOLL-FREE ACCESS\*: 00-800-4422-3781**

\*Available from Germany, France, Italy, UK, Ireland

#### **CENTRAL/SOUTH AMERICA:**

**Spanish Phone:** 303-308-7143 (Mon-Fri 8:00am to 5:00pm MST)  
**Email:** ONlit-spanish@hibbertco.com  
**Toll-Free from Mexico:** Dial 01-800-288-2872 for Access –  
then Dial 866-297-9322

**ASIA/PACIFIC:** LDC for ON Semiconductor – Asia Support

**Phone:** 303-675-2121 (Tue-Fri 9:00am to 1:00pm, Hong Kong Time)  
**Toll Free from Hong Kong & Singapore:**  
**001-800-4422-3781**  
**Email:** ONlit-asia@hibbertco.com

**JAPAN:** ON Semiconductor, Japan Customer Focus Center

4-32-1 Nishi-Gotanda, Shinagawa-ku, Tokyo, Japan 141-0031  
**Phone:** 81-3-5740-2700  
**Email:** r14525@onsemi.com

**ON Semiconductor Website:** <http://onsemi.com>

For additional information, please contact your local Sales Representative.

#### **5.4 *Datasheet* do Circuito Integrado UC 3524**

## Advanced Regulating Pulse Width Modulators

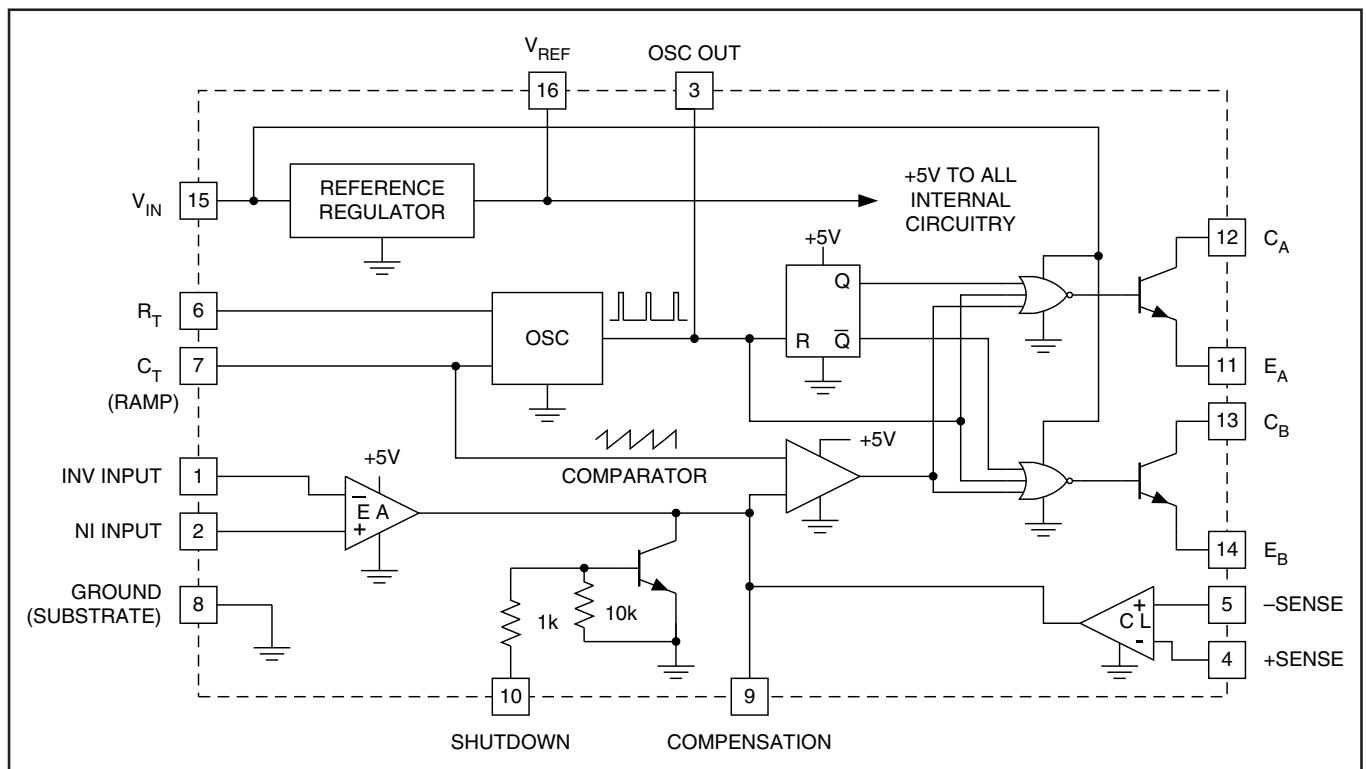
### FEATURES

- Complete PWM Power Control Circuitry
- Uncommitted Outputs for Single-ended or Push-pull Applications
- Low Standby Current...8mA Typical
- Interchangeable with SG1524, SG2524 and SG3524, Respectively

### DESCRIPTION

The UC1524, UC2524 and UC3524 incorporate on a single monolithic chip all the functions required for the construction of regulating power supplies, inverters or switching regulators. They can also be used as the control element for high-power-output applications. The UC1524 family was designed for switching regulators of either polarity, transformer-coupled dc-to-dc converters, transformerless voltage doublers and polarity converter applications employing fixed-frequency, pulse-width modulation techniques. The dual alternating outputs allow either single-ended or push-pull applications. Each device includes an on-chip reference, error amplifier, programmable oscillator, pulse-steering flip-flop, two uncommitted output transistors, a high-gain comparator, and current-limiting and shut-down circuitry. The UC1524 is characterized for operation over the full military temperature range of  $-55^{\circ}\text{C}$  to  $+125^{\circ}\text{C}$ . The UC2524 and UC3524 are designed for operation from  $-25^{\circ}\text{C}$  to  $+85^{\circ}\text{C}$  and  $0^{\circ}$  to  $+70^{\circ}\text{C}$ , respectively.

### BLOCK DIAGRAM



**ABSOLUTE MAXIMUM RATINGS (Note 1)**

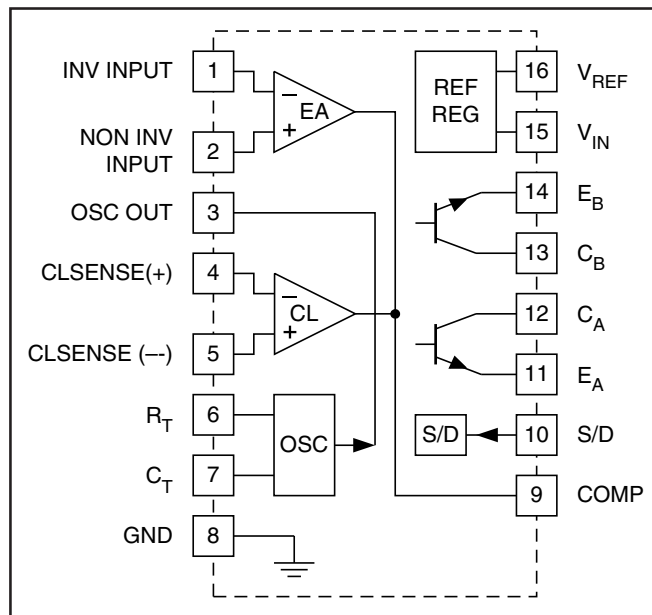
Supply Voltage,  $V_{CC}$  (Notes 2 and 3) . . . . . 40V  
 Collector Output Current . . . . . 100mA  
 Reference Output Current . . . . . 50mA  
 Current Through  $C_T$  Terminal . . . . . -5mA  
 Power Dissipation at  $T_A = +25^\circ\text{C}$  (Note 4) . . . . . 1000mW  
 Power Dissipation at  $T_C = +25^\circ\text{C}$  (Note 4) . . . . . 2000mW  
 Operating Junction Temperature Range . . . . .  $-55^\circ\text{C}$  to  $+150^\circ\text{C}$   
 Storage Temperature Range . . . . .  $-65^\circ\text{C}$  to  $+150^\circ\text{C}$

- Note 1: Over operating free-air temperature range unless otherwise noted.*  
*Note 2: All voltage values are with respect to the ground terminal, pin 8.*  
*Note 3: The reference regulator may be bypassed for operation from a fixed 5V supply by connecting the  $V_{CC}$  and reference output pins both to the supply voltage. In this configuration the maximum supply voltage is 6V.*  
*Note 4: Consult packaging section of databook for thermal limitations and considerations of package.*

**RECOMMENDED OPERATING CONDITIONS**

Supply Voltage,  $V_{CC}$  . . . . . 8V to 40V  
 Reference Output Current . . . . . 0 to 20mA  
 Current through  $C_T$  Terminal . . . . .  $-0.03\text{mA}$  to  $-2\text{mA}$   
 Timing Resistor,  $R_T$  . . . . .  $1.8\text{k}\Omega$  to  $100\text{k}\Omega$   
 Timing Capacitor,  $C_T$  . . . . .  $0.001\mu\text{F}$  to  $0.1\mu\text{F}$   
 Operating Ambient Temperature Range  
   UC1524 . . . . .  $-55^\circ\text{C}$  to  $+125^\circ\text{C}$   
   UC2524 . . . . .  $-25^\circ\text{C}$  to  $+85^\circ\text{C}$   
   UC3524 . . . . .  $0^\circ\text{C}$  to  $+70^\circ\text{C}$

**CONNECTION DIAGRAM**



**ELECTRICAL CHARACTERISTICS:** Unless otherwise stated, these specifications apply for  $T_A = -55^\circ\text{C}$  to  $+125^\circ\text{C}$  for the UC1524,  $-25^\circ\text{C}$  to  $+85^\circ\text{C}$  for the UC2524, and  $0^\circ\text{C}$  to  $+70^\circ\text{C}$  for the UC3524,  $V_{IN} = 20\text{V}$ , and  $f = 20\text{kHz}$ ,  $T_A = T_J$ .

PARAMETER	TEST CONDITIONS	UC1524/UC2524		UC3524		UNITS		
		MIN	MAX	MIN	MAX			
<b>Reference Section</b>								
Output Voltage		4.8	5.0	5.2	4.6	5.0	5.4	V
Line Regulation	$V_{IN} = 8$ to $40\text{V}$		10	20		10	30	mV
Load Regulation	$I_L = 0$ to $20\text{mA}$		20	50		20	50	mV
Ripple Rejection	$f = 120\text{Hz}$ , $T_J = 25^\circ\text{C}$		66			66		dB
Short Circuit Current Limit	$V_{REF} = 0$ , $T_J = 25^\circ\text{C}$		100			100		mA
Temperature Stability	Over Operating Temperature Range		0.3	1		0.3	1	%
Long Term Stability	$T_J = 125^\circ\text{C}$ , $t = 1000$ Hrs.		20			20		mV
<b>Oscillator Section</b>								
Maximum Frequency	$C_T = .001\text{mfd}$ , $R_T = 2\text{k}\Omega$		300			300		kHz
Initial Accuracy	$R_T$ and $C_T$ Constant		5			5		%
Voltage Stability	$V_{IN} = 8$ to $40\text{V}$ , $T_J = 25^\circ\text{C}$			1			1	%
Temperature Stability	Over Operating Temperature Range			5			5	%
Output Amplitude	Pin 3, $T_J = 25^\circ\text{C}$		3.5			3.5		V
Output Pulse Width	$C_T = .01\text{mfd}$ , $T_J = 25^\circ\text{C}$		0.5			0.5		$\mu\text{s}$
<b>Error Amplifier Section</b>								
Input Offset Voltage	$V_{CM} = 2.5\text{V}$		0.5	5		2	10	mV
Input Bias Current	$V_{CM} = 2.5\text{V}$		2	10		2	10	$\mu\text{A}$
Open Loop Voltage Gain		72	80		60	80		dB
Common Mode Voltage	$T_J = 25^\circ\text{C}$	1.8		3.4	1.8		3.4	V

**ELECTRICAL CHARACTERISTICS:** Unless otherwise stated, these specifications apply for  $T_A = -55^{\circ}\text{C}$  to  $+125^{\circ}\text{C}$  for the UC1524,  $-25^{\circ}\text{C}$  to  $+85^{\circ}\text{C}$  for the UC2524, and  $0^{\circ}\text{C}$  to  $+70^{\circ}\text{C}$  for the UC3524,  $V_{IN} = 20\text{V}$ , and  $f = 20\text{kHz}$ ,  $T_A = T_J$ .

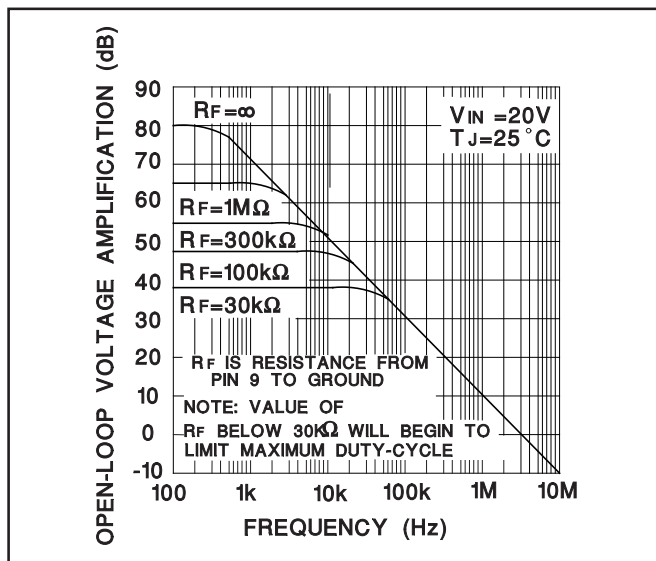
PARAMETER	TEST CONDITIONS	UC1524/UC2524			UC3524			UNITS
		MIN		MAX	MIN		MAX	
<b>Error Amplifier Section (cont.)</b>								
Common Mode Rejection Ratio	$T_J = 25^{\circ}\text{C}$		70			70		dB
Small Signal Bandwidth	$A_v = 0\text{dB}$ , $T_J = 25^{\circ}\text{C}$		3			3		MHz
Output Voltage	$T_J = 25^{\circ}\text{C}$	0.5		3.8	0.5		3.8	V
<b>Comparator Section</b>								
Duty-Cycle	% Each Output On	0		45	0		45	%
Input Threshold	Zero Duty-Cycle		1			1		V
	Maximum Duty-Cycle		3.5			3.5		V
Input Bias Current			1			1		$\mu\text{A}$
<b>Current Limiting Section</b>								
Sense Voltage	Pin 9 = 2V with Error Amplifier Set for Maximum Out, $T_J = 25^{\circ}\text{C}$	190	200	210	180	200	220	mV
Sense Voltage T.C.			0.2			0.2		$\text{mV}/^{\circ}\text{C}$
Common Mode Voltage	$T_J = -55^{\circ}\text{C}$ to $85^{\circ}\text{C}$ for the $-1\text{V}$ to $1\text{V}$ Limit	-1		+1	-1		+1	V
	$T_J = 125^{\circ}\text{C}$	-0.3		+1				V
<b>Output Section (Each Output)</b>								
Collector-Emitter Voltage		40			40			V
Collector Leakage Current	$V_{CE} = 40\text{V}$		0.1	50		0.1	50	$\mu\text{A}$
Saturation Voltage	$I_c = 50\text{mA}$		1	2		1	2	V
Emitter Output Voltage	$V_{IN} = 20\text{V}$	17	18		17	18		V
Rise Time	$R_c = 2\text{k}\Omega$ , $T_J = 25^{\circ}\text{C}$		0.2			0.2		$\mu\text{s}$
Fall Time	$R_c = 2\text{k}\Omega$ , $T_J = 25^{\circ}\text{C}$		0.1			0.1		$\mu\text{s}$
<b>Total Standby Current (Note)</b>	$V_{IN} = 40\text{V}$		8	10		8	10	mA

## PRINCIPLES OF OPERATION

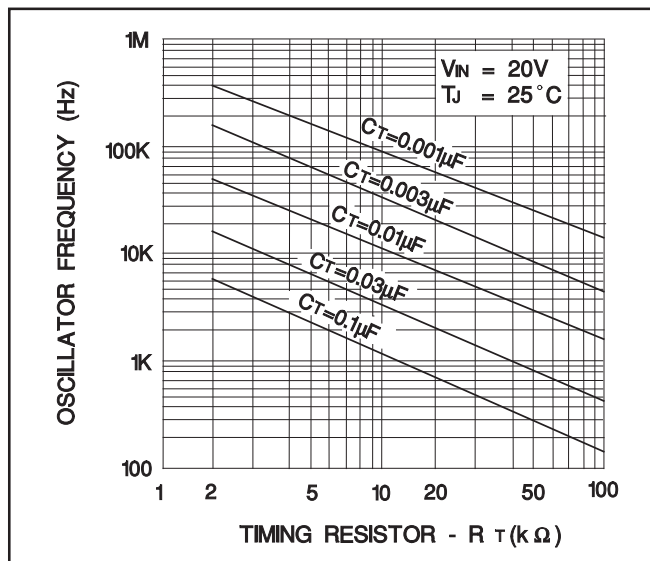
The UC1524 is a fixed-frequency pulse-width-modulation voltage regulator control circuit. The regulator operates at a frequency that is programmed by one timing resistor ( $R_T$ ), and one timing capacitor ( $C_T$ ),  $R_T$  establishes a constant charging current for  $C_T$ . This results in a linear voltage ramp at  $C_T$ , which is fed to the comparator providing linear control of the output pulse width by the error amplifier. The UC1524 contains an on-board 5V regulator that serves as a reference as well as powering the UC1524's internal control circuitry and is also useful in supplying external support functions. This reference voltage is lowered externally by a resistor divider to provide a reference within the common-mode range of the error amplifier or an external reference may be used. The power supply output is sensed by a second resistor divider network to generate a feedback signal to the error amplifier. The amplifier output voltage is then compared to the linear voltage ramp at  $C_T$ . The resulting modulated pulse out of the high-gain comparator is then steered to

the appropriate output pass transistor ( $Q_1$  or  $Q_2$ ) by the pulse-steering flip-flop, which is synchronously toggled by the oscillator output. The oscillator output pulse also serves as a blanking pulse to assure both outputs are never on simultaneously during the transition times. The width of the blanking pulse is controlled by the value of  $C_T$ . The outputs may be applied in a push-pull configuration in which their frequency is half that of the base oscillator, or paralleled for single-ended applications in which the frequency is equal to that of the oscillator. The output of the error amplifier shares a common input to the comparator with the current limiting and shutdown circuitry and can be overridden by signals from either of these inputs. This common point is also available externally and may be employed to control the gain of, or to compensate, the error amplifier or to provide additional control to the regulator.

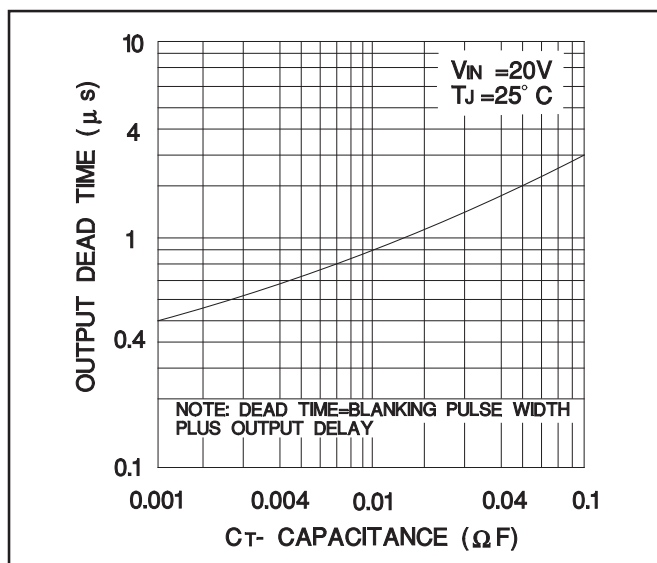
TYPICAL CHARACTERISTICS



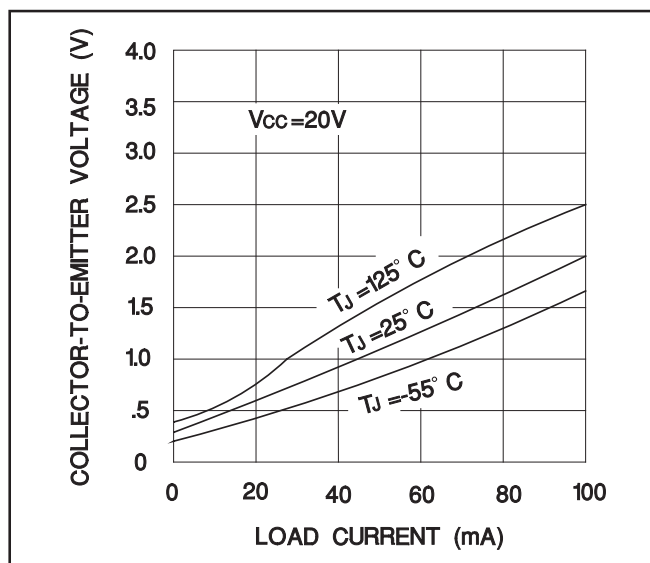
Open-loop voltage amplification of error amplifier vs frequency.



Oscillator frequency vs timing components.



Output dead time vs timing capacitance value.



Output saturation voltage vs load current.

**APPLICATION INFORMATION**

**Oscillator**

The oscillator controls the frequency of the UC1524 and is programmed by  $R_T$  and  $C_T$  according to the approximate formula:

$$f' = \frac{1.18}{R_T C_T}$$

where  $R_T$  is in  $k\Omega$   
 $C_T$  is in  $mF$   
 $f$  is in  $kHz$

Practical values of  $C_T$  fall between 0.001mF and 0.1mF. Practical values of  $R_T$  fall between 1.8k $\Omega$  and 100k $\Omega$ . This results in a frequency range typically from 120Hz to 500kHz.

**Blanking**

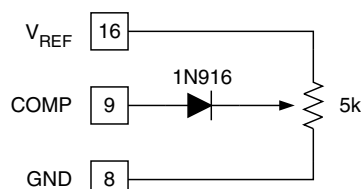
The output pulse of the oscillator is used as a blanking pulse at the output. This pulse width is controlled by the value of  $C_T$ . If small values of  $C_T$  are required for frequency control, the oscillator output pulse width may still be increased by applying a shunt capacitance of up to 100pF from pin 3 to ground. If still greater dead-time is required, it should be accomplished by limiting the maximum duty cycle by clamping the output of the error amplifier.

amplifier. This can easily be done with the circuit in Figure 1:

**Synchronous Operation**

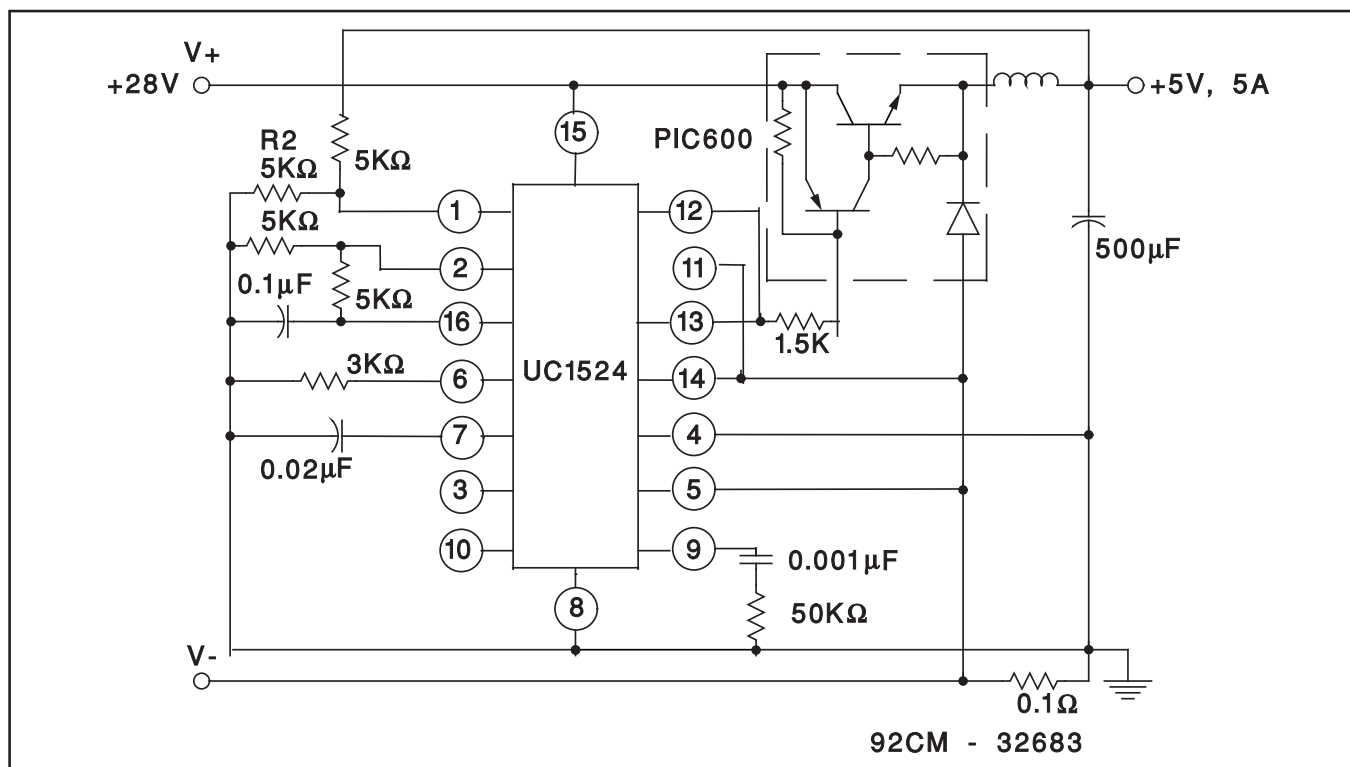
When an external clock is desired, a clock pulse of approximately 3V can be applied directly to the oscillator output terminal. The impedance to ground at this point is approximately 2k $\Omega$ . In this configuration  $R_T$   $C_T$  must be selected for a clock period slightly greater than that of the external clock.

If two or more UC1524 regulators are to operated synchronously, all oscillator output terminals should be tied together, all  $C_T$  terminals connected to single timing capacitor, and the timing resistor connected to a single  $R_T$  terminal.



**Figure 1. Error amplifier clamp.**

The other  $R_T$  terminals can be left open or shorted to  $V_{REF}$ . Minimum lead lengths should be used between the  $C_T$  terminals.



**Figure 2. Single-ended LC switching regulator circuit.**

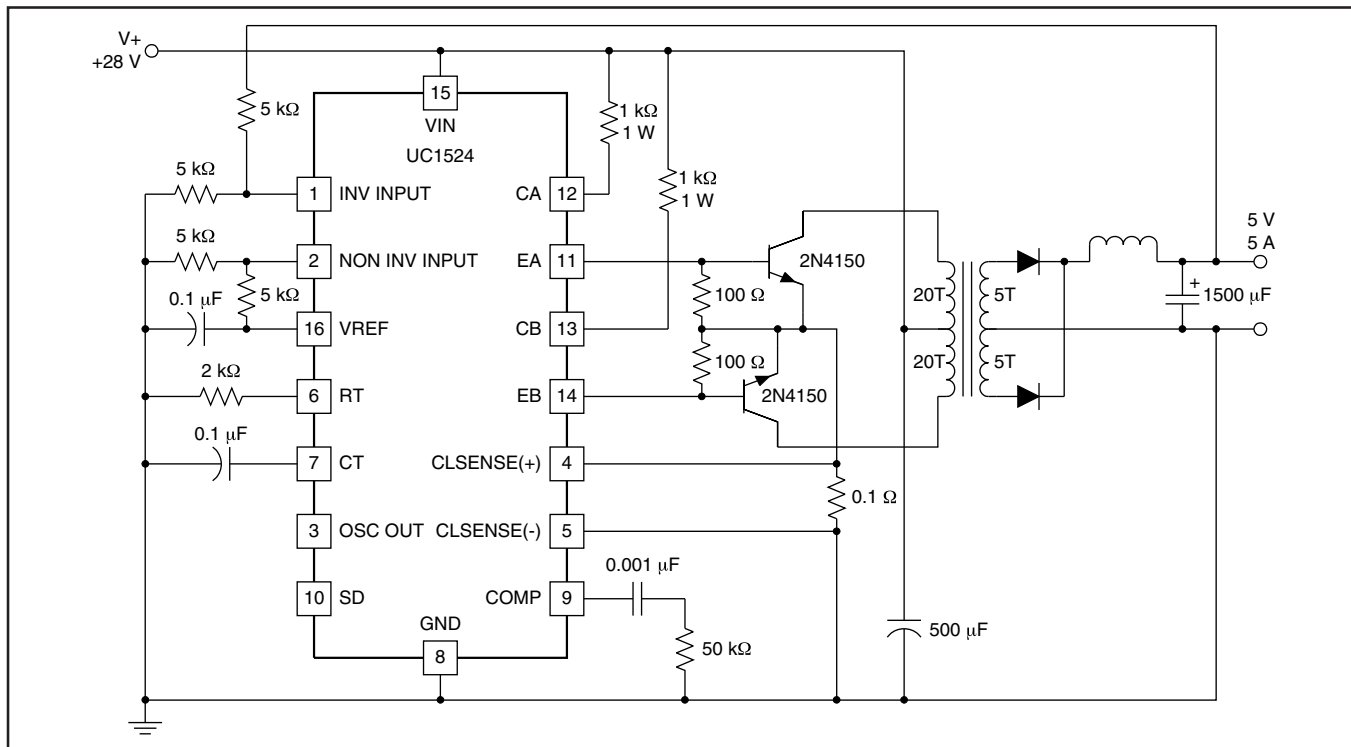


Figure 3. Push-pull transformer coupled circuit.

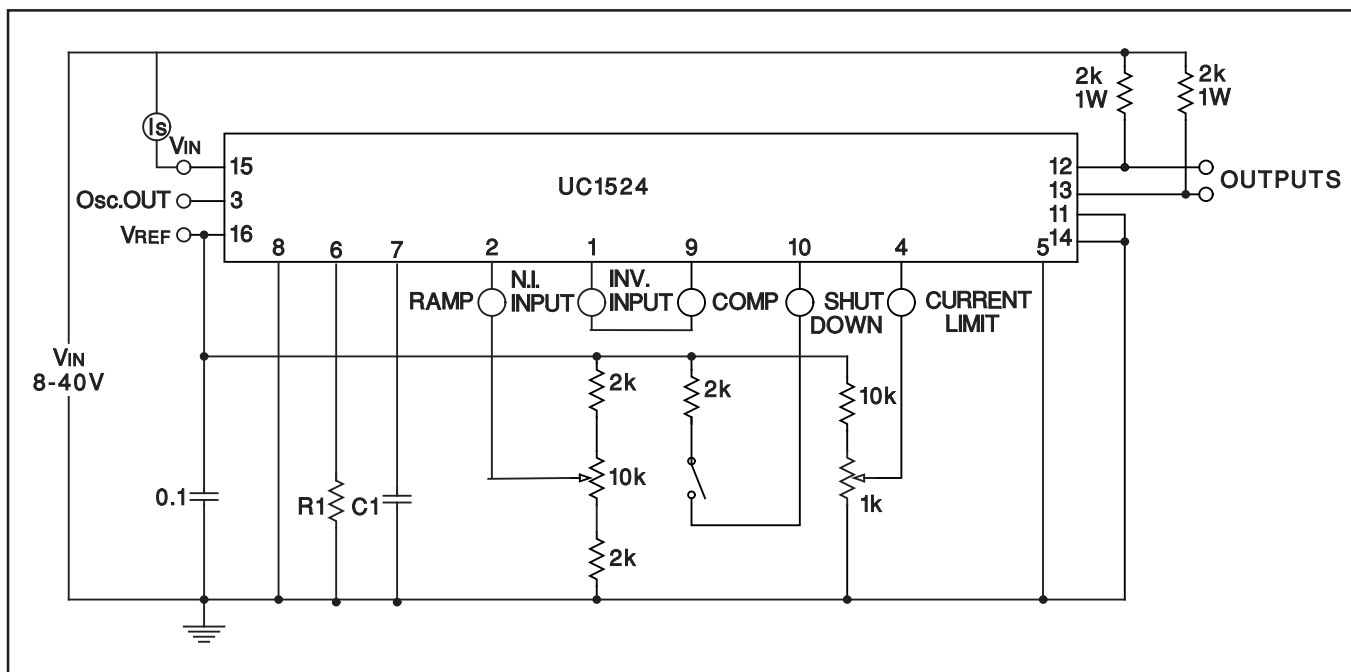


Figure 4. Open loop test circuit.

**PACKAGING INFORMATION**

Orderable Device	Status <sup>(1)</sup>	Package Type	Package Drawing	Pins	Package Qty	Eco Plan <sup>(2)</sup>	Lead/Ball Finish	MSL Peak Temp <sup>(3)</sup>
UC1524J	OBSOLETE	CDIP	J	16		None	Call TI	Call TI
UC1524J/80937	OBSOLETE	CDIP	J	16		None	Call TI	Call TI
UC1524J883B	OBSOLETE	CDIP	J	16		None	Call TI	Call TI
UC2524DW	ACTIVE	SOIC	DW	16	40	None	CU NIPDAU	Level-2-220C-1 YEAR
UC2524DWTR	ACTIVE	SOIC	DW	16	2000	None	CU NIPDAU	Level-2-220C-1 YEAR
UC2524J	OBSOLETE	CDIP	J	16		None	Call TI	Call TI
UC2524N	ACTIVE	PDIP	N	16	25	None	CU SNPB	Level-NA-NA-NA
UC3524D	ACTIVE	SOIC	D	16	40	None	CU NIPDAU	Level-1-220C-UNLIM
UC3524DTR	ACTIVE	SOIC	D	16	2500	None	CU NIPDAU	Level-1-220C-UNLIM
UC3524DW	ACTIVE	SOIC	DW	16	40	None	CU NIPDAU	Level-2-220C-1 YEAR
UC3524DWTR	ACTIVE	SOIC	DW	16	2000	None	CU NIPDAU	Level-2-220C-1 YEAR
UC3524J	OBSOLETE	CDIP	J	16		None	Call TI	Call TI
UC3524N	ACTIVE	PDIP	N	16	25	None	CU SNPB	Level-NA-NA-NA

<sup>(1)</sup> The marketing status values are defined as follows:

**ACTIVE:** Product device recommended for new designs.

**LIFEBUY:** TI has announced that the device will be discontinued, and a lifetime-buy period is in effect.

**NRND:** Not recommended for new designs. Device is in production to support existing customers, but TI does not recommend using this part in a new design.

**PREVIEW:** Device has been announced but is not in production. Samples may or may not be available.

**OBSOLETE:** TI has discontinued the production of the device.

<sup>(2)</sup> Eco Plan - May not be currently available - please check <http://www.ti.com/productcontent> for the latest availability information and additional product content details.

**None:** Not yet available Lead (Pb-Free).

**Pb-Free (RoHS):** TI's terms "Lead-Free" or "Pb-Free" mean semiconductor products that are compatible with the current RoHS requirements for all 6 substances, including the requirement that lead not exceed 0.1% by weight in homogeneous materials. Where designed to be soldered at high temperatures, TI Pb-Free products are suitable for use in specified lead-free processes.

**Green (RoHS & no Sb/Br):** TI defines "Green" to mean "Pb-Free" and in addition, uses package materials that do not contain halogens, including bromine (Br) or antimony (Sb) above 0.1% of total product weight.

<sup>(3)</sup> MSL, Peak Temp. -- The Moisture Sensitivity Level rating according to the JEDEC industry standard classifications, and peak solder temperature.

**Important Information and Disclaimer:** The information provided on this page represents TI's knowledge and belief as of the date that it is provided. TI bases its knowledge and belief on information provided by third parties, and makes no representation or warranty as to the accuracy of such information. Efforts are underway to better integrate information from third parties. TI has taken and continues to take reasonable steps to provide representative and accurate information but may not have conducted destructive testing or chemical analysis on incoming materials and chemicals. TI and TI suppliers consider certain information to be proprietary, and thus CAS numbers and other limited information may not be available for release.

In no event shall TI's liability arising out of such information exceed the total purchase price of the TI part(s) at issue in this document sold by TI to Customer on an annual basis.

## IMPORTANT NOTICE

Texas Instruments Incorporated and its subsidiaries (TI) reserve the right to make corrections, modifications, enhancements, improvements, and other changes to its products and services at any time and to discontinue any product or service without notice. Customers should obtain the latest relevant information before placing orders and should verify that such information is current and complete. All products are sold subject to TI's terms and conditions of sale supplied at the time of order acknowledgment.

TI warrants performance of its hardware products to the specifications applicable at the time of sale in accordance with TI's standard warranty. Testing and other quality control techniques are used to the extent TI deems necessary to support this warranty. Except where mandated by government requirements, testing of all parameters of each product is not necessarily performed.

TI assumes no liability for applications assistance or customer product design. Customers are responsible for their products and applications using TI components. To minimize the risks associated with customer products and applications, customers should provide adequate design and operating safeguards.

TI does not warrant or represent that any license, either express or implied, is granted under any TI patent right, copyright, mask work right, or other TI intellectual property right relating to any combination, machine, or process in which TI products or services are used. Information published by TI regarding third-party products or services does not constitute a license from TI to use such products or services or a warranty or endorsement thereof. Use of such information may require a license from a third party under the patents or other intellectual property of the third party, or a license from TI under the patents or other intellectual property of TI.

Reproduction of information in TI data books or data sheets is permissible only if reproduction is without alteration and is accompanied by all associated warranties, conditions, limitations, and notices. Reproduction of this information with alteration is an unfair and deceptive business practice. TI is not responsible or liable for such altered documentation.

Resale of TI products or services with statements different from or beyond the parameters stated by TI for that product or service voids all express and any implied warranties for the associated TI product or service and is an unfair and deceptive business practice. TI is not responsible or liable for any such statements.

Following are URLs where you can obtain information on other Texas Instruments products and application solutions:

<b>Products</b>		<b>Applications</b>	
Amplifiers	<a href="http://amplifier.ti.com">amplifier.ti.com</a>	Audio	<a href="http://www.ti.com/audio">www.ti.com/audio</a>
Data Converters	<a href="http://dataconverter.ti.com">dataconverter.ti.com</a>	Automotive	<a href="http://www.ti.com/automotive">www.ti.com/automotive</a>
DSP	<a href="http://dsp.ti.com">dsp.ti.com</a>	Broadband	<a href="http://www.ti.com/broadband">www.ti.com/broadband</a>
Interface	<a href="http://interface.ti.com">interface.ti.com</a>	Digital Control	<a href="http://www.ti.com/digitalcontrol">www.ti.com/digitalcontrol</a>
Logic	<a href="http://logic.ti.com">logic.ti.com</a>	Military	<a href="http://www.ti.com/military">www.ti.com/military</a>
Power Mgmt	<a href="http://power.ti.com">power.ti.com</a>	Optical Networking	<a href="http://www.ti.com/opticalnetwork">www.ti.com/opticalnetwork</a>
Microcontrollers	<a href="http://microcontroller.ti.com">microcontroller.ti.com</a>	Security	<a href="http://www.ti.com/security">www.ti.com/security</a>
		Telephony	<a href="http://www.ti.com/telephony">www.ti.com/telephony</a>
		Video & Imaging	<a href="http://www.ti.com/video">www.ti.com/video</a>
		Wireless	<a href="http://www.ti.com/wireless">www.ti.com/wireless</a>

Mailing Address: Texas Instruments  
Post Office Box 655303 Dallas, Texas 75265